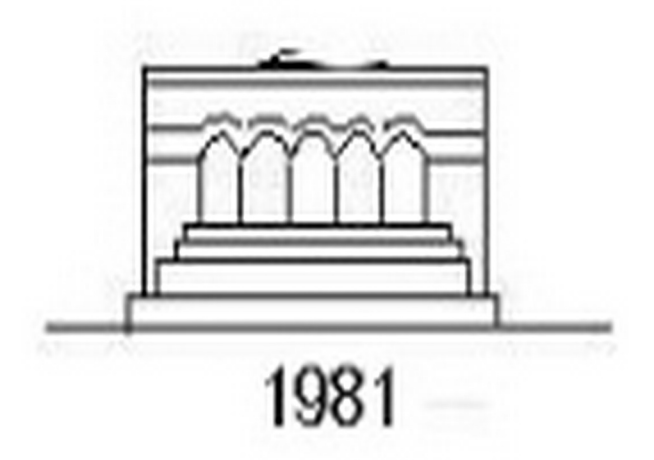
## ՄԵԽԱՆԻԿԱ

# МЕХАНИКА

### MECHANICS



#### А. А. ВАБЛОЯН, Н. О. ГУЛКАНЯН

#### ПЛОСКАЯ ЗАДАЧА ДЛЯ СОЕДИНЕНИЯ ИЗ ТРЕХ ПОЛУПОЛОС ИЗ РАЗЛИЧНЫХ МАТЕРИАЛОВ\*

1. Рассмотрим плоскую контактирю задачу для У-образной области, составленной из двух материалов (1 и 11) при наличии одной оси симметрки МА (фиг. 1). Предполагается, что между составляющими материалами имеет место полное сцепление, а на граних заданы внешние нагрузки,

В силу наличия симметрии достаточно рассмотреть только ваштрихованную часть области. Обозначим упругие постоянные и области I через  $v_1$ ,  $E_1$  а в области  $\Pi$  — через  $v_2$ ,  $E_2$ .

Введем в рассмотрение дле полярные системы координат 🔼 🦡 (п = - 1, 2) с полисами соотпетственно в точках О, и О, [1, 2].

Как известно, плоская задача сводится к определению бигармонической функции Эйри, которая для рассматриваемой задачи ищется в виде

суммы двух "местных" решений, то есть

$$F = \sum_{n=1}^{2} F_n (r_n, \varphi_n)$$
 (1.1)

При этом напряжения и перемощения в соответствующих координатах выразятся через функцию напряжений Эпри по следующим фор-:мвкум

$$a_r^{(a)}(r_a, \overline{\tau}_a) = \frac{1}{r_a} \frac{\partial F}{\partial r_{a_1}} + \frac{1}{r_a^2} \frac{\partial F}{\partial z_a^2}$$

$$a_q^{(a)}(r_a, \overline{\tau}_a) = \frac{\partial^2 F}{\partial r_a^2} \qquad (1.2)$$

$$a_q^{(a)}(r_a, \overline{\tau}_a) = -\frac{\partial}{\partial r_a} \left( \frac{1}{r_a} \frac{\partial F}{\partial \overline{\tau}_a} \right)$$

$$a_q^{(a)}(r_a, \overline{\tau}_a) = -\frac{\partial}{\partial r_a} \left( \frac{1}{r_a} \frac{\partial F}{\partial \overline{\tau}_a} \right)$$

$$a_q^{(a)}(r_a, \overline{\tau}_a) = -\frac{\partial}{\partial r_a} \left( \frac{1}{r_a} \frac{\partial F}{\partial \overline{\tau}_a} \right)$$

оследующим фор-

$$\frac{\partial}{\partial r_n} \left( \frac{1}{r_n} \frac{\partial F}{\partial z_n} \right)$$
 $\frac{\partial}{\partial r_n} \left( \frac{1}{r_n} \frac{\partial F}{\partial z_n} \right)$ 
 $\frac{\partial}{\partial r_n} \left( \frac{1}{r_n} \frac{\partial F}{\partial z_n} \right)$ 

Работа доложена на Вессоюзной конференции по теории упругости в г. Ереване x 1979 r.

$$\frac{\sigma v^{(n)}}{\partial r_n} = \frac{v_n^{(n)}}{r_n} + \frac{1}{r_n} \frac{\sigma u_r^{(n)}}{\partial z_n} = \frac{2(1 - v_k)}{E_k} e^{-\frac{1}{2}(r_n)}$$

$$\frac{\sigma}{\sigma} = \begin{cases} \varphi_1 & \text{при } n = 1 \\ z_n = z \text{ при } n = 2 \end{cases}$$

Здесь

а «k» принимает значение 1 для герхнего материала (область I) и значение «2» для пижнего материала (область II).

На оси симметрии должны быть выполнены условия

На границе рассматриваемой области заданы условия:

$$f_{n_1}(r_n, \theta_{n_1}) = f_{n_1}(r_n), \quad f_{n_1}^{(1)}(r_1, \dots) = g_{n_1}(r_1)$$

$$f_{n_2}(r_1) = f_{n_2}(r_1), \quad f_{n_2}^{(1)}(r_1, y_{n_2}) = g_{n_2}(r_1)$$

$$(1.5)$$

Потребуем, чтобы каждая из функций  $I_{-}(r_n)$  на линин  $O_1O_2$  удовлетворяла условиям полного сцепления двух материалов, то есть

$$s_{\tau_n}^{(1)}(r_n, 0) = (r_n, 0), \quad t_{\sigma_n \tau_n}^{(1)}(r_n, 0) = t_{\sigma_n \tau_n}^{(1)}(r_n, 0) 
u_{r_n}^{(1)}(r_n, 0) = u_{r_n}^{(2)}(r_n, 0), \quad v_{\tilde{\tau}_n}^{(1)}(r_n, 0) = v_{\tilde{\tau}_n}^{(2)}(r_n, 0) 
(n - 1, 2)$$
(1.6)

Функции  $F_n(r_n, \gamma_n)$  (n=1, 2) ищем в виде интеграла Меллина

$$F_n(r_n, \overline{\varphi}_n) = \int_{-1}^{c_n \div} \Phi_n(s, \overline{\varphi}_n) r_n^{1-} \qquad (n = 1, 2) \qquad (1.7)$$

где

$$-1 + \varepsilon < c_n < 0, \quad 0 < \varepsilon < 1$$

При атом

$$(s, \overline{z}_n) = \int_0^\infty \left( r_n, \overline{c}_n \right) r_n^{4-2} dr_n \tag{1.8}$$

Функции 🔍 (s, 🕍 представим и ниде

$$Φ_{n1}(s, φ_n)$$
 is οδλαςτικ ! (1.9)
$$Φ_{n2}(s, φ_n)$$
 is οδλαςτικ !!

Из (1.8) и (1.9) следует, что функции  $\Phi_{\pi \nu}(s, \phi_n)$  должны удовлетворять уравнению

$$\Phi_{nk}^{(1)} = 2(s^2 - 1)\Phi_{nk}^* + (s^2 - 1)^2\Phi_{nk} = 0$$
 (1.10)

решение которого имеет вид

$$\Phi_{nk}(s, -_n) = A_{nk}\cos(s - 1)\varphi_n - B_{nk}\sin(s - 1) = +$$

$$+ C_{nk}\cos(s - 1)\varphi_n - D_{nk}\sin(s - 1)\varphi_n$$
(1.11)

Если принять, что между коэффициентами  $A_{\rm nR},~B_{\rm nL},~C_{\rm m}$  и  $D_{\rm nR}$  существуют связя

$$A_{n1} + C_{n1} = A_{n2} + C_{n2} = (s-1)^{-1} (\delta_2 C_{n2} - \delta_1 C_{n1})$$

$$(s-1) B_{n1} + (s+1) D_{n1} = (s-1) B_{n2} + (s+1) D_{n2} = \delta_1 D_{n1} - \delta_2 D_{n2}$$

где

$$\delta_k = \frac{4}{E_1}, \qquad = \frac{1+4}{E_2} - \frac{1+4}{E_2} \qquad (k = 1, 2)$$
 (1.13)

то условия контакта (1.6) будут удовлетворены тождественно.

Удовлетворяя граничным условиям (1.5), условиям симметрии (1.4) и введя новые неизвестные функции  $X_{ij}$  (s),  $Y_{ij}$  (s)

$$s(s-1) \oplus_{1k} (s, \theta_{1k}) = a^s X_{1k}, \qquad s \oplus_{nk} (s, \theta_{nk}) = a^s Y_{nk} (s)$$
$$s(s-1) \oplus_{21} (s, \theta_{21}) = a^s X_{21}$$

$$\frac{1}{4(s-1)} \left[ \Phi_{22} \left( s, \, \theta_{22} \right) + (s-1)^2 \Phi_{22} \left( s, \, \theta_{22} \right) \right] = \alpha^s X_{22} \left( s \right) \quad (n, k-1, 2) \quad (1.14)$$

после ряда преобразований для их определения получим следующую систему интегральных уравнений:

$$X_{nk}(s) + (1)^{-1}(z, s) + (2)^{-2}(z, s) + (3)^{-1}(z, s) + (4)^{-2}(z, s) + (5)^{-1}(z, s) + (5)^{-1}($$

Эдесь ядра интегральных уравнении имеют вид

$$K_{sk}^{(q)}(\xi, s) = \frac{\Re(s + 1 - \xi - s)}{2^{-\gamma}\Delta_{k}(\xi)} k_{sk}^{(q)}(\xi, s) \quad (q = 1, 2, ..., 8)$$
 (1.16)

(n, k = 1, 2) (n + p = k | m = 3)

где B (x, y) — эйлсров интеграл первого рода, а функции ( s) определяются формулами

$$k_{pk}^{(1)}(s,s) = a_{nk}N_{pk} + (-1)^{n-k}\beta_{nk}N_{pk} - (-1)^{m}a_{pk}\cos(s-1) + (-1)^{n}b_{pk}\sin(s-1)\beta_{nk}$$

$$k_{pk}^{(1)}(s,s) = a_{nk}N_{pk} - (-1)^{n-k}\beta_{nk}M_{nk}^{*} - (-1)^{m}b_{pk}^{*}\cos(s-1)\beta_{nk}$$

$$- (-1)^{n}a_{pk}^{*}\sin(s-1)\beta_{nk}$$

$$k_{pk}^{(3)}(s,s) = -a_{nk}^{*}Q_{pm}^{*} + (-1)^{m}a_{pk}\sin(s-1)\beta_{nk}$$

$$k_{pk}^{(4)}(s,s) = a_{nk}^{*}P_{nm}^{*} + (-1)^{n-k}\beta_{nk}^{*}Q_{pm}^{*} + (-1)^{m}b_{pm}\cos(s-1)\beta_{nk} - (-1)^{n}a_{pm}^{*}\sin(s-1)\beta_{nk}$$

$$+ (-1)^{n}a_{pm}^{*}\sin(s-1)\beta_{nk}$$

$$+ (-1)^{n}a_{pm}^{*}\sin(s-1)\beta_{nk}$$

$$+ (-1)^{m}b_{pk}^{*}\cos(s-1)\beta_{nk}$$

$$+ (-1)^{m}b_{pk}^{*}\cos(s-1)\beta_{nk}$$

$$k_{pk}^{(6)}(s,s) = (-1)^{n-k}\beta_{nk}^{*}N_{pk}^{*} + a_{nk}^{*}M_{nk}^{*} + (-1)^{n}b_{pk}\sin(s-1)\beta_{nk}$$

$$- (-1)^{m}a_{pk}\cos(s-1)\beta_{nk}$$

$$k_{pk}^{(7)}(s,s) = (-1)^{n-k}\beta_{nk}^{*}Q_{pm}^{*} - a_{nk}P_{pm}^{*} - (-1)^{n}a_{pm}^{*}\sin(s-1)\beta_{nk}$$

$$- (-1)^{m}b_{pm}^{*}\cos(s-1)\beta_{nk}$$

$$k_{pk}^{(7)}(s,s) = (-1)^{n-k}\beta_{nk}^{*}Q_{pm}^{*} - a_{nk}P_{pm}^{*} - (-1)^{n}a_{pm}^{*}\sin(s-1)\beta_{nk}$$

$$- (-1)^{m}b_{pm}^{*}\cos(s-1)\beta_{nk}$$

$$k_{pk}^{(6)}(s,s) = (-1)^{n-k}\beta_{nk}^{*}Q_{pm}^{*} - a_{nk}P_{pm}^{*} - (-1)^{n}a_{pm}^{*}\sin(s-1)\beta_{nk}$$

$$- (-1)^{m}b_{pm}^{*}\cos(s-1)\beta_{nk}$$

В этих формулах «p» и «k» принимают значения 1 и 2, кроме сочетания  $p=1,\ k=2,\ q=1$ —4, для этих значений параметроп имеем

 $+(-1)^{m}a_{nm}^{+}\cos(s-1)\beta_{nk}$ 

$$k_{12}^{-1}(z, s) := -M_{12}(z) \sin(s+1) \beta_{2z} - N_{12}(z) \cos(s-1) \beta_{2z}$$

$$k_{12}(z, s) = -N_{12}(z) \sin(s+1) \beta_{2z} - M_{12}(z) \cos(s+1) \beta_{2z}$$

$$k_{12}(z, s) = Q_{11}^{-1}(z) \sin(s+1) \beta_{2z} - P_{11}(z) \cos(s+1) \beta_{2z}$$

$$k_{12}(z, s) = Q_{11}^{-1}(z) \sin(s+1) \beta_{2z} - P_{11}(z) \cos(s+1) \beta_{2z}$$

$$k_{12}(z, s) = Q_{11}^{-1}(z) \sin(s+1) \beta_{2z} - Q_{11}(z) \cos(s+1) \beta_{2z}$$

$$k_{12}(z, s) = Q_{11}^{-1}(z) \sin(s+1) \beta_{2z} - Q_{11}(z) \cos(s+1) \beta_{2z}$$

Здесь

$$\begin{split} M_{11}(\varsigma) &= \delta_1 \delta_2 \, \gamma_{1k}^{\,\dagger} + a_{12} \, z_1 + (-1)^a \, \delta_k \, (d_{1m} - \delta_m^2) \cos \left( \varsigma - 1 \right) \, \theta_{1k} \\ M_{21}(\varsigma) &= z_1 + a_{21} [S^{+}(z_1, \theta_{22}) + \delta_2 \sin 2\theta_{21} - \delta_1 S^{+}(\zeta_1, \theta_{22}) \\ &\qquad \qquad \times \cos \left( \varsigma - 1 \right) \, \theta_{21} \\ M_{21}(\varsigma) &= d_{21} \sin \left( \varsigma - \varepsilon_1 \right) \, \theta_{32} \end{split}$$

$$\begin{split} \mathcal{M}_{22}\left(\xi\right) &= \delta_{1}\delta_{2} \left[ - \left(\xi + 1\right)\cos\left(\xi + 1\right)\theta_{22} + \cos\left[\xi\left(\theta_{22} - 2\theta_{21}\right) - \theta_{22}\right] + \\ &= \cos\left[\xi\theta_{22} - \theta_{22} + 2\theta_{21}\right] \right] + x_{22}^{-}d_{21} + 4\Delta_{21}a_{2}\cos\left(\xi + 1\right)\theta_{22} \\ \mathcal{N}_{1k}\left(\xi\right) &= \delta_{1}\delta_{2}\delta_{1k} - d_{1-\delta_{1}} - \left( - 1\right)^{k}\delta_{k}\left(d_{1m} - \delta^{2}\right)\sin\left(\xi + 1\right)\theta_{1k} \\ \mathcal{N}_{21}\left(\xi\right) - - \delta_{1}\delta_{2}\mu_{21} - \beta_{21}^{-}\left[S^{-}\left(\xi, \theta_{22}\right) + \delta_{2}\sin2\xi\theta_{22}\right] + \delta_{1}S^{-}\left(\xi, \theta_{22}\right)\sin\left(\xi + 1\right)\theta_{21} \\ \mathcal{N}_{21}\left(\xi\right) &= \delta_{1}\delta_{1}\left[S^{-}\left(\xi, \theta_{21}\right)\cos\left(\xi + 1\right)\theta_{22} - C_{21}\sin\left(\xi + 1\right)\theta_{22}\right] - \\ &= -d_{23}\beta_{22} - 4\delta_{2}\Delta_{21}\sin\left(\xi + 1\right)\theta_{22} \\ \mathcal{N}_{12}\left(\xi\right) &= -d_{21}\cos\left(\xi + 1\right)\theta_{22} \\ \mathcal{N}_{12}\left(\xi\right) &= -d_{21}\cos\left(\xi + 1\right)\theta_{22} \\ \mathcal{N}_{12}\left(\xi\right) &= \delta_{1}\left\{\left(\delta_{1} - 1\right)\mu_{21} + \left(1 \pm \xi\right)x_{21} + \xi\lambda_{21} + \xi\lambda_{21}\right\} \\ \mathcal{N}_{22}\left(\xi\right) &= \delta_{2}\left\{\cos\left(\xi + 1\right)\theta_{22} + \left(1 - \delta_{1}\right)\cos\left(\xi + 1\right)\theta_{22} \\ &= \cos\left[\xi\left(\theta_{22} + 2\theta_{21}\right) + \theta_{22}\right] - \cos\left[\xi\theta_{22} + \left(\theta_{22} - 2\theta_{23}\right)\right]\right\} \\ \mathcal{N}_{22}\left(\xi\right) &= \delta_{2}\left\{S^{-}\left(\xi, \theta_{21}\right)x_{22} - C_{21}\mu_{21} - \delta_{1}\phi_{22}\right\} \\ \mathcal{Q}_{1k}\left(\xi\right) &= \left(-1\right)^{k}\delta_{k}\left[\left(-1\right)^{m}\delta_{m}x_{1k} - x_{1k}C_{1m} - S^{-}\left(\xi, \theta_{1m}\right)\beta_{1k}\right] \\ \mathcal{Q}_{21}\left(\xi\right) &= \delta_{1}\left\{\left(\xi - 1\right)\sin\left(\xi + 1\right)\theta_{22} + \sin\left[\xi\left(\theta_{22} + 2\theta_{21}\right) + \theta_{22}\right] - \\ &= \sin\left[\xi\theta_{22} + \theta_{22} - 2\theta_{21}\right] + \delta_{1}\sin\left(\xi + 1\right)\theta_{22} + \\ &= \sin\left[\xi\theta_{22} + \theta_{22} - 2\theta_{21}\right] + \delta_{1}\sin\left(\xi + 1\right)\theta_{22} + \\ \mathcal{Q}_{21}\left(\xi\right) &= -\delta_{2}\left\{\left(\xi - 1\right)\sin\left(\xi + 1\right)\theta_{22} + \sin\left[\xi\left(\theta_{22} + 2\theta_{21}\right) + \theta_{22}\right] - \\ &= \sin\left[\xi\theta_{22} + \theta_{22} - 2\theta_{21}\right] + \delta_{1}\sin\left(\xi + 1\right)\theta_{22} + \\ \mathcal{Q}_{21}\left(\xi\right) &= -\delta_{2}\left\{\left(\xi - 1\right)\sin\left(\xi - 2\theta_{21}\right) + \delta_{1}\sin\left(\xi + 1\right)\theta_{22} + \\ \mathcal{Q}_{21}\left(\xi\right) &= -\delta_{2}\left\{\left(\xi - 1\right)\sin\left(\xi - 2\theta_{21}\right) + \delta_{1}\sin\left(\xi + 1\right)\theta_{22} + \\ \mathcal{Q}_{21}\left(\xi\right) &= -\delta_{2}\left\{\left(\xi - 1\right)\sin\left(\xi - 2\theta_{21}\right) + \delta_{1}\sin\left(\xi + 1\right)\theta_{22} + \\ \mathcal{Q}_{21}\left(\xi\right) &= -\delta_{2}\left\{\left(\xi - 1\right)\sin\left(\xi - 2\theta_{21}\right) + \delta_{1}\sin\left(\xi - 1\right)\theta_{22} + \\ \mathcal{Q}_{22}\left(\xi\right) &= -\delta_{2}\left\{\left(\xi - 1\right)\sin\left(\xi - 2\theta_{21}\right) + \delta_{2}\left(\xi\right) + \delta_{2$$

При этом

$$\begin{aligned} a_{1k}(\xi) &= 4\delta_k \Delta_{1m} a_{1k} + (-1)^m \delta_1 \delta_2 \{S_-(\xi, \theta_{1m}) \beta_{1k} - C_{1m} a_{1k} \} \\ b_{1k}(\xi) &= -4\delta_k \Delta_{1m} \beta_{1k} - (-1) - [S_-(\xi, \theta_{1m}) a_{1k} + C_{1m} \beta_{1k}] \\ a_{21}^{-1}(\xi) &= a_1 \{S_-^{+}(\xi, \theta_{22}) a_{21} - a_2 \{(S_-^{-}(\xi, \theta_{2m} - \theta_{21}) - (\xi, \theta_{22})) \cos(\xi - 1) \theta_{21} + S_-^{-}(\xi, \theta_{21}) \mu_{21} + C_{21}^{-} \mu_{21}] \} \\ b_{21}^{-1}(\xi) &= a_1 - \xi_{21} S_-^{+}(\xi, \theta_{22}) - a_2 \{(S_-^{-}(\xi, \theta_{22} - \theta_{21}) - (\xi, \theta_{22} - \theta_{21}) - (\xi, \theta_{22}) \} \} \end{aligned}$$

$$a_{22}(\bar{z}) = \frac{\lambda}{2} \left\{ -\frac{\lambda}{2} \left[ C_{21} \sin{(\bar{z} + 1)} \frac{\delta}{\delta_{21}} + \mathcal{S}^* (\bar{z}, \delta_{21}) \cos{(\bar{z} + 1)} \frac{\delta}{\delta_{22}} \right] + 4 \left\{ -\frac{\lambda}{2} \sin^2{z} \frac{\delta}{\delta_{21}} + \lambda_{21} \right\} \sin{(\bar{z} + 1)} \frac{\delta}{\delta_{22}} \right\} + 4 \left\{ -\frac{\lambda}{2} \sin^2{z} \frac{\delta}{\delta_{21}} - \frac{\lambda}{2} \right\} \sin{(\bar{z} + 1)} \frac{\delta}{\delta_{22}} \right\} + 4 \lambda_{21} \alpha_{22}$$

$$b_{21}(\bar{z}) = -\frac{\lambda}{2} \left[ \frac{\lambda}{4} \left[ C_{21} \cos{(\bar{z} + 1))} \frac{\delta}{\delta_{22}} - C_{21} \right] + 4 \lambda_{21} \beta_{21}}{2 + 4 \left[ \frac{\lambda}{4} \sin^2{z} \frac{\delta}{\delta_{21}} - \lambda_{21} \cos{(\bar{z} + 1))} \frac{\delta}{\delta_{22}} \right]} + 4 \lambda_{21} \beta_{21}$$

$$b_{22}(\bar{z}) = \frac{\lambda}{2} \left[ \frac{\lambda}{4} \left[ C_{21} \cos{(\bar{z} + 1))} \frac{\delta}{\delta_{22}} - C_{21} \cos{(\bar{z} + 1)} \frac{\delta}{\delta_{22}} \right] + 4 \lambda_{21} \beta_{21}}{2 + 4 \left[ \frac{\lambda}{4} \sin^2{z} \frac{\delta}{\delta_{21}} - \lambda_{21} \cos{(\bar{z} + 1)} \frac{\delta}{\delta_{22}} \right]} + 4 \lambda_{21} \beta_{21}$$

$$c_{11}(\bar{z}) = \frac{\lambda}{4} \left[ \frac{\lambda}{4} \left[ \frac{\delta}{4} \right] - \frac{\lambda}{4} \cos{(\bar{z} + 1)} \frac{\delta}{\delta_{22}} \right] + 4 \lambda_{21} \beta_{21}}{2 + 4 \left[ \frac{\lambda}{4} \right] \sin^2{z} \frac{\delta}{\delta_{21}} + 4 \lambda_{21}} + 4 \lambda_{21}} + 4 \lambda_{21} \beta_{21} \beta_{21}} + 4 \lambda_{21} \beta_{22}} + 3 \lambda_{21} \beta_{21}} + 4 \lambda_{21} \beta_{22}} + 3 \lambda_{21} \beta_{21}} + 4 \lambda_{21} \beta_{21}} + 4 \lambda_{21} \beta_{22}} + 3 \lambda_{21} \beta_{21}} + 4 \lambda_{21} \beta_{22}} + 3 \lambda_{21} \beta_{21}} + 4 \lambda_{21} \beta_{22}} + 3 \lambda_{21} \beta_{21}} + 4 \lambda_{21} \beta_$$

$$f_{nk}(s) = a^{-1} \int_{a_k} f_{nk}(r_n) r_n^s dr_n$$

$$g_{nk}(s) = a^{-1} \int_{a_n b} f_{nk}(r_n) r_n^s dr_n \qquad (1.19)$$

При этом

$$f_{22}(s) - g_{22}(s) = 0$$

В формулах (1.17) функции  $\pi_{ab}$  и  $\theta_{ab}$  зависят от прументон (s,  $\theta_{ab}$ ), гас  $\theta_{ab} = \pi - \{\theta_{ab}\}$ , а функции  $M_{ab}$ ,  $N_{ab}$ ,  $P_{ab}$ ,  $Q_{ab}$ ,  $q_{ab}$ , зависят от вргумента  $\pi_{ab}$ .

После решения нитегральных уравнений старые неизнестные выразятеля через  $X_{\rm na}$ ,  $Y_{\rm nb}$  по формулам

$$\xi \Delta_{n}(\xi) C_{nk}(\xi) = a \qquad Y_{nk} M_{nk} + Y_{nk} N_{nk} - X_{nm} Q_{nm} + Y_{nm} P_{-1}^{-1} \\
\xi \Delta_{n}(\xi) D_{nk}(\xi) = a \qquad Y_{nk} M_{nk} + X_{nm} P_{-1} - Y_{nm} Q_{nm}^{-1} ] \qquad (1.20)$$

$$\xi (\xi - 1) \Delta_{n}(\xi) [A_{nk}(\xi) + C_{nk}(\xi)] = a \sum_{k=1}^{n} (-1)^{k} [X_{nk} a_{nk}^{-} - Y_{nk} a_{nk}^{-}]$$

$$\xi \Delta_{n}(\xi) [(\xi - 1) B_{nk} - (\xi - 1) D_{nk}] = a^{k} \sum_{k=1}^{n} (-1)^{k+1} [X_{nk} b_{nk}^{+} - Y_{nk} a_{nk}^{-}]$$

которые получаются из решения систем (1.12) и (1.14),

Контактные напряжения на отрезке  $O_1O_2$  ( $\tau_1=\tau_2=0$ ,  $r_1-r_2=a$ ) в силу (1.12) и (1.11) будут определяться по формулам:

$$\sigma_{eq} = \frac{1}{2\pi i} \sum_{p,k}^{2} \frac{(-1)^{n}}{r_{p}} \left\{ \left[ X_{pk} \left( \xi \right) a_{pk}^{-} \left( \xi \right) + Y_{pk} \left( \xi \right) b_{pk}^{-} \right] \left( \frac{a}{r_{p}} \right) \frac{d\xi}{\Delta_{p} \left( \xi \right)} \right.$$

$$\sigma_{eq} = \frac{1}{2\pi i} \sum_{p,k} \frac{(-1)^{n}}{r_{p}} \left[ \left[ Y_{pk} a^{*} - X_{pk} b_{pk}^{+} \right] \left( \frac{a}{r_{p}} \right) \frac{d\xi}{\Delta_{p} \left( \xi \right)} \right.$$

$$\sigma_{eq}^{(k)} = -\sigma_{k} - \frac{2}{\pi i} \sum_{p=1}^{2} \int_{0}^{2} C_{pk} \left( \xi \right) r_{p}^{-k-1} d\xi .$$
(1.22)

Из (1.22) и (1.20) можно вычисанть скачок пормального напряжения

$$c_1 z_1^{(1)} - c_2 a_1^{(2)} = (4 - b_1 + b_2) z_2$$

Интегралы, пходящие в пыражения напряжений, можно вычислить с помощью теоремы о пычетах 11 интегральных урапиений (1,15) видно, что неизнестные функции  $X_{ns}$  (s) и  $Y_{-}$  (s) имеют полюсы в точках s=-n (n=1,2,...). Кроме этого, подыптегральные функции имеют полюсы в точках S=1 ,  $r_{AB}$  ( $r_{PO}$ ) =0.

Если окрестности точек O, и O, свободны от внешнен нагрузки, то напряжения пыразятся через степенные ряды

гле суммирование по q производится по всем  $\epsilon_{pq}$  корням целых функций  $\Delta_p(\xi)$ , для которых Re = 0. Регулярные функции  $R_4 = R_4 (r_1, r_2) (r_1 + r_2)$   $\alpha$ , k = 1 - 4) появляются из-ээ конечности линии контакта.

При получения (1.23) были использованы значения

$$a_{1k}(-1) = 0$$
,  $b_{1k}(-1) = 0$ ,  $\Delta_1(-1) = 0$ 

Исключением неизвестных  $X_{pri}$ ,  $Y_{pri}$ ,  $Y_{pri}$  система сингулярных интегральных ураниений (1.15) сводится к двум независимым системам интегральных ураниений второго рода относительно неизвестных функций  $X_{np}$ ,  $X_{nm}$ ,  $Y_{nk}$ ,  $Y_{nm}$  с непрерывными ядрами

$$X_{nh}(s) [1 + Y_{nh}(s)] = Y_{nh}(s) I_{nh}^{(2)}(s) + X_{nm}(s) I_{nh}^{(3)}(s) + Y_{nm}(s) I_{nh}^{(4)}(s) + \int_{\mathbb{R}^{n}} \{X_{nh}(z), X_{nh}(z), X_{nh}^{(4)}(z), S\} + \int_{\mathbb{R}^{n}} \{X_{nh}(z), X_{nh}^{(4)}(z), X_{nh}^{(4)}(z), S\} + \int_{\mathbb{R}^{n}} \{X_{nh}(z), X_{nh}^{(4)}(z), X_{nh}^{(4)}(z), X_{nh}^{(4)}(z), S\} + \int_{\mathbb{R}^{n}} \{X_{nh}(z), X_{nh}^{(4)}(z), X_{nh}^{(4)}(z), X_{nh}^{(4)}(z), S\} + \int_{\mathbb{R}^{n}} \{X_{nh}(z), X_{nh}^{(4)}(z), X_{$$

$$+ Y_{nm}(z) K_{nk}^{(4)}(z, s) \} dz = f_{nk}(s) - (z, s) + L_{p}$$

$$L_{p}$$

$$L_{p}$$

$$K_{nk}^{(1)}(z, s) + K_{nk}^{(1)}(z, s) + g_{pm}(z) K_{nk}^{(1)}(z, s) \} dz \quad (1.2)$$

$$K_{nk}(s) \chi_{nk}^{(5)}(s) + Y_{nk}(s) \{1 + \chi_{nk}^{(6)}(s)\} - (z, s) + \chi_{nm}(s) \chi_{nk}^{(6)}(s) + (z, s) \}$$

$$+ \int [X_{nk}(s) K_{nk}^{(5)}(z, s) + Y_{nk}(z) K_{nk}^{(6)}(z, s) + \chi_{nm}(z) K_{nk}^{(7)}(z, s) + \chi_{nm}(z) K_{nk}^{(7)}(z$$

PAC

$$\frac{1}{4} (z, s) = \frac{1}{4} \frac{(s+1)}{2\pi^{2}} \left( z - 1 \right) \int_{L_{n}}^{\infty} \frac{\Gamma(z-1) \Gamma(1-z) \Gamma(1-z)}{\Delta_{n}(z) \Delta_{p}(z)} K_{nk}^{(q)}(z, s) dz \\
4 \Delta_{1}(s) \Delta_{n}(s) /_{nk}^{(q)}(s) = - s, s = 1, 2, ..., 8 \right) (1.25)$$

$$= s_{1} = k_{nk}^{(q)}(z, z) = - s, s = 1, 2, ..., 8 \\
= k_{nk}^{(q)}(z, z) k_{nk}^{(q)}(z, z) = - s, s = 1, 2, ..., 8 \\
= k_{nm}^{(q)}(z, z) k_{nk}^{(q)}(z, z) = - s, s = 1, 2, ..., 8 \\
= k_{nm}^{(q)}(z, z) k_{nk}^{(q)}(z, z) + k_{nk}^{(q-4)}(z, z) k_{nk}^{(q)}(z, s) + k_{nk}^{(q)}(z, k_{n$$

$$k_{nk}^{(s)}(z, \xi) = k_{nk}^{(s)}(z, \xi) + k_{nk}^{(s)}(z, \xi) + k_{nk}^{(s)}(z, \xi) + k_{nk}^{(s)}(z, \xi) + k_{nk}^{(s)}(\xi, s) + k_{nk}^{(s)}(z, \xi) + k_{nk}^$$

При атом была использована формула Пуанкаре-Бертрана перестановки сингулярных интегралов

$$\int_{-t}^{t} \int_{-t}^{t} dt \qquad (t, t) + \int_{-t}^{t} \frac{\varphi(z, z_1) dz}{(z - t)(z_1 - z)}$$

Свободные члены в (1.24) ограничены по модулю. При соблюдении услоний  $\theta_{11} = \theta_{12} > \pi$ ,  $\theta_{21} = \pi s$  (1.25) и (1.17), а также на снойств функций H(x, y) следует, что

$$L_p L_p \qquad (p-1) \qquad (1.26)$$

то есть уравнения (1.24) являются фредгольмовыми.

Система интегральных уравнений (1.15) может быть сведена также к решению бесконечной системы минеиных уравнении.

Для этого представим неизвестные функции  $X_{\pi \kappa}(s)$  и  $Y_{\kappa \kappa}(s)$  в виде оидов по функциям  $\widehat{H}_{\tau}(s)$ 

$$X_{nk}(s) = \sum_{q=0}^{\infty} x_{nk}^{(s)} \tilde{H}_{q}(s) \quad (n, k=1, 2)$$

$$Y_{nk}(s) = \sum_{q=0}^{\infty} y_{nk}^{(q)} \tilde{H}_{q}(s) \quad (s \in L_{n})$$
(1.27)

где  $H_s$  (s) — функции, связанные с многочленами Чебышева - Эрмита [4] следующим образом:

$$H_{q}\left(\frac{1.28}{2}\right), \quad s = c + ig$$

Подставляя (1.26) в (1.15), после некоторых преобразований для определения неизпестных коэффициентов разложений (1.27), получим следующую бесконечную систему линейных алгебранческих уравнении:

$$\begin{aligned} x_{nk}^{(i)} + \sum_{q=0}^{i} \left[ A_{pk, lq}^{(5)} x_{nl}^{(q)} + A_{pk, lq}^{(6)} y_{nm}^{(q)} + A_{pk, lq}^{(6)} y_{nm}^{(q)} \right] &= F_{nk, l} \\ y_{nk}^{(l)} + \sum_{q=0}^{i} \left[ A_{pk, lq}^{(5)} x_{nl}^{(q)} + A_{pk, lq}^{(6)} y_{nm}^{(q)} + A_{pk, lq}^{(7)} x_{pm}^{(q)} - A_{pk, lq}^{(8)} y_{nm}^{(q)} \right] &= G_{nk, l} \\ n_{1} k - 1, 2; \quad n - p = 3; \quad k - m = 3; \quad l = 0, 1, 2, \dots \end{aligned}$$

где коэффициенты при исизвестных и свободные члены определяются соответственно по формулам

$$A_{nk,l}^{(o)} = \frac{(-2)^{-1}}{(!)^{\frac{1}{2}}} \int \frac{B(s-1)}{s} ds = \frac{(-2)^{-1}}{(!)^{\frac{1}{2}}} \int \frac{B(s-1)}{s} ds$$

$$C_{nk,l} = \frac{(-2)^{-1}}{(!)^{\frac{1}{2}}} \int \frac{a}{s} (s) H_{l}(s) a^{-s} e^{(s-1)^{2}} ds$$

Заметим, что как коэффициенты, так и спободные члены бесконечной системы — действительные числа.

Использованием оценки (1.26) нетрудно доказать, что бесконечные системы являются ква инополне регулярными.

При искоторых значениях углов на общего решения задачи могут быть получены решения для бесконечной плоскости с двумя горизонталь-

ными трещинами и одной вертикальной (или, наоборот), для полуплоскости с двумя симметрично расположенными полубеско-нечными трещинами, для полосы с полубесконечной трещиной, для T-образного тела и др.

Отметим, что аналогичные задачи другим методом рассмотрены Нуллером Б. М. [5]. Ворович И. И. [6] предл. жил приближенный метод для решения таких задач. Некоторые частные случан рассмотрены Боджи Д. Б. [7]. Чобаняном К. С. [8] экспериментальным методом исследована вадача для составной полосы без трещины.

- 2. Рассмотрим некоторые частные случан-
- 1) Если принять, что  $E=\infty$ , то есть припять, что нижний магериал абсолютно жесткий, то получим решение плоской задачи для бесконечного треугольника (фиг. 2), когда на линии O(O) даданы пулсвые перемещения, а на боковых ребрах перхиего материала заданы папряжения. При втом

$$\lambda_0 = 0, \quad \lambda_1 = 4(1 + \nu_1)^{-1}$$

$$a_{\mu 2} = 0 = (2\mu) = F_{\mu 2} = 0$$

$$K_{\mu 1}^{(3)} = K_{\mu 1}^{(4)} = 0$$

Решение втой залачи сводится к решению системы из четырех сингуаярных уравнений относительно неизвестных  $X_{\rm el}$  и  $Y_{\rm el}$  (p=1,2)

$$X_{p1}(s) + \int \frac{B(s+1, \bar{z})}{2\pi i d_{p^{*}}(\bar{z})} X_{p1}(z, s) + Y_{p1}(\bar{z}) K_{p1}^{(2)}(\bar{z}, s) dz = \int_{p_{1}}(s) dz = \int_{p_{1}}(s$$

3ACCD

$$K_{\rho 1}^{(1)}(\xi, s) = (s) + (-1)^{n} \tilde{\beta}_{\rho 1}^{\pm}(\xi) \, \tilde{\beta}_{n 1}^{\pm}(s)$$

$$K_{\rho 1}^{(2)}(\xi, s) = [(-1)^{n} \tilde{\beta}_{\rho 1}^{\pm}(s) \, \tilde{\alpha}_{\rho 1}(\xi) + (\xi) \, \tilde{\alpha}_{n 1}(s)]$$

$$K_{\rho 1}^{(2)}(\xi, s) = (-1)^{n} \tilde{\beta}_{\rho 1}^{\pm}(\xi) \, \tilde{\beta}_{n 1}(s) + \tilde{\alpha}_{\rho 1}^{\pm}(\xi) \, \tilde{\alpha}_{n 1}(s)$$

$$(2.2)$$

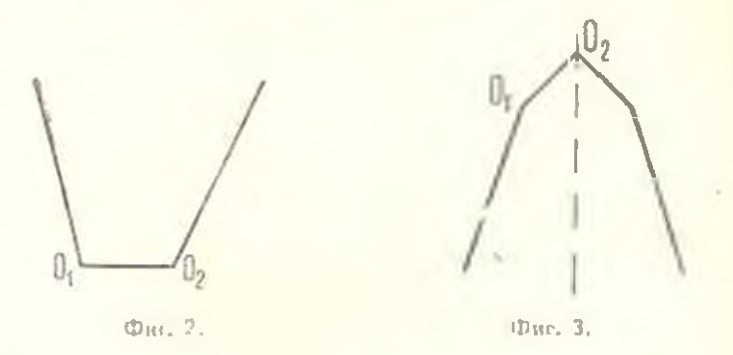
Суммирование в этом случае по индексу «4» при пычислении наприжений (1.23) производится по кориям 5 го трансцендентного уравнения

$$d_{\mu} = (Re : < 0)$$

2) Пусть  $E_i = \infty$ , тогда

$$\begin{aligned}
\sigma_1 &= 0, & \sigma_n &= -4(1 + v_0)^{-1} \\
Q_{n1}(z) &= P_{n1}(z) &= a_{-1}(z) &= b_{n1}(z) - 0 \\
&= K_{n1}^{(8)} &= 0
\end{aligned} (2.3)$$

В этом случае получим решение для бесконечного симметричного четырехугольника (фиг. 3), на бокопых гранях которого задяны напряжения, а на ломаной части границы — нулевые перемещения.



Решение атой задачи сводится к решению системы уравнений:

$$X_{12}(s) + \int_{t_{1}}^{B} \frac{B(s+1, \frac{z}{s}-s)}{2\pi i S^{+}(\bar{z}, \, \delta_{22})} [X_{22}(\bar{z}) \, K_{22}^{(1)}(\bar{z}, \, s) + \frac{1}{2\pi i S^{+}(\bar{z}, \, \delta_{22})} ] d\bar{z} = f_{12}(s)$$

$$+ Y_{22}(\bar{z}) \, K_{22}(\bar{z}) \, K_{22}^{(5)}(\bar{z}, \, s) + \frac{1}{2\pi i S^{+}(\bar{z}, \, \delta_{22})} [X_{22}(\bar{z}) \, K_{22}^{(5)}(\bar{z}, \, s) + \frac{1}{2\pi i S^{+}(\bar{z}, \, \delta_{22})} ] d\bar{z} = g_{12}(s)$$

$$+ Y_{22}(\bar{z}) \, K_{22}^{(6)}(\bar{z}, \, s) ] d\bar{z} = g_{12}(\bar{z})$$

$$+ Y_{22}(\bar{z}) \, K_{22}^{(6)}(\bar{z}, \, s) ] d\bar{z} = 0$$

$$+ X_{22}(\bar{z}) + \int_{L_{1}}^{B} \frac{(s+1, \, \bar{z}-s)}{2\pi i d_{12}} [X_{12}(\bar{z}) \, K_{12}^{(5)}(\bar{z}, \, s) + Y_{12}(\bar{z}) \, K_{12}^{(6)}(\bar{z}, \, s)] d\bar{z} = 0$$

$$+ X_{23}(\bar{z}) + \int_{L_{1}}^{B} \frac{(s+1, \, \bar{z}-s)}{2\pi i d_{12}} [X_{12}(\bar{z}) \, K_{12}^{(5)}(\bar{z}, \, s) + Y_{12}(\bar{z}) \, K_{12}^{(6)}(\bar{z}, \, s)] d\bar{z} = 0$$

где ядра имеют вид

$$K_{12}^{-1}(s, s) = \alpha_{12}(s) \alpha_{22}(s) + \beta_{12}^{-1}(s) \beta_{22}(s)$$

$$K_{12}^{-1}(s, s) = -\alpha_{12}(s) \cos(\xi + 1) \theta_{22} + \beta_{12}^{-1}(s) \sin(\varsigma + 1) \theta_{23}$$

$$S) = -\beta_{12}^{-1}(s) \alpha_{22}^{-1}(\xi) + \alpha_{12}^{-1}(s) \beta_{22}^{-1}(\xi)$$

$$K_{22}^{-1}(s, s) = \beta_{12}(s) \cos(\varsigma + 1) \theta_{22} + \alpha_{12}^{-1}(s) \sin(\xi + 1) =$$

$$K_{12}^{-1}(s, s) = \beta_{12}(\xi) \cos(\varsigma + 1) - \alpha_{12}(\varsigma) \sin(\varsigma + 1) \beta_{22}$$

$$K_{12}^{-1}(s, s) = \beta_{12}(\xi) \sin(\varsigma + 1) + \alpha_{12}^{-1}(\xi) \cos(\varsigma + 1) \beta_{22}$$

$$K_{12}^{-1}(s, s) = \beta_{12}(\xi) \sin(\varsigma + 1) + \alpha_{12}^{-1}(\xi) \cos(\varsigma + 1) \beta_{22}$$

$$K_{12}^{(5)}(z, s) = \beta_{22}(s) \, x_{12}^{(7)}(z) + x_{22}^{(7)}(s) \qquad (z)$$

$$S^{+}(z, \theta_{22}) = S^{+}(z, \theta_{22}) + \lambda_{2} \sin 2z \, \theta_{22}$$

Стметим, что, как и в общем случае, системы сингулярных интегральных уравнений (3.1) и (2.4) исключением неизвестных могут быть сведены к двум неизвестным регулярным интегральным уравнениям Фредгольма, каждое из которых содержит по дна уравнения, а также могут быть сведены к бесконечным системам.

3) При  $E_1 - E_2$  и  $v_1 = v$  имеем случан одинаковых материалов, при втом  $\delta_1 = \delta_2$  . . . . . . В атом случае ныражения ядер сингулярных интегральных уравнений (1.15) сильно упрощаются. Все пеличины в выражениях чдер, зависящие от  $\xi$ , заменяются следующими величинами:

$$\begin{split} \Delta_{1}(\zeta) &= 4 \{ \sin^{2} \xi \, (\theta_{11} - \theta_{12}) - \varepsilon^{2} \sin^{2} (\theta_{11} - \theta_{12}) \} \\ \Delta_{2}(\xi) &= S^{2} \, (\varepsilon, \, \theta_{22} - \theta_{21}) \end{split}$$

$$M_{1k}(\xi) &= -Q_{1k}(\xi) = -2 \sin \left[ \theta_{1k} + \xi_{1m} \right] \sin \xi \, (\xi_{1m} - \theta_{1k}) + \\ -2\xi \sin \left( \xi_{1m} + \theta_{1m} \right) \sin \left( \theta_{1k} - \theta_{1m} \right) \\ M_{21}(\xi) &= -Q_{21}(\xi) = 2 \sin \left( \xi_{1m} - \xi_{1m} \right) \\ M_{22}(\xi) &= -Q_{22}(\xi) = 2 \sin \left( \theta_{22} - \xi_{11} \right) \sin \left( \theta_{22} - \theta_{21} \right) + \\ +2\xi \sin \left( \varepsilon \theta_{22} + \theta_{21} \right) \sin \left( \theta_{22} - \theta_{21} \right) \\ N_{1k}^{\pm}(\xi) &= P_{1k}(\xi) = 2 \sin \varepsilon \left( \theta_{1m} - \xi_{1k} \right) \cos \left( \theta_{1m} + \xi_{1k} \right) + \\ 2\xi \sin \left( \theta_{1m} - \theta_{1k} \right) \cos \left( \theta_{1m} + \xi_{1k} \right) \\ N_{21}(\xi) &= P_{21}(\xi) = 1^{1/2} (\xi) \\ N_{22}^{2}(\xi) &= P_{22}^{2}(\xi) = 2 \sin \varepsilon \left( \theta_{21} - \theta_{22} \right) \cos \left( \xi_{1m} + \xi_{1k} \right) + \\ +2\xi \sin \left( \xi_{1m} - \theta_{1k} \right) \cos \left( \xi_{1m} + \xi_{1k} \right) \\ N_{21}(\xi) &= P_{22}^{2}(\xi) = 2 \sin \varepsilon \left( \theta_{21} - \theta_{22} \right) \cos \left( \xi_{1m} + \xi_{1k} \right) + \\ +2\xi \sin \left( \xi_{1m} - \theta_{1k} \right) \cos \left( \xi_{1m} + \xi_{1k} \right) \\ N_{21}(\xi) &= P_{22}(\xi) = -\cos \left( \xi_{1m} + \xi_{1k} \right) \\ N_{21}(\xi) &= P_{22}(\xi) = \cos \left( \xi_{1m} + \xi_{1m} \right) \\ N_{21}(\xi) &= -\cos \left( \xi_{1m} + \xi_{1m} \right) \\ N_{21}(\xi) &= -\cos \left( \xi_{1m} + \xi_{1m} \right) \\ N_{21}(\xi) &= -\cos \left( \xi_{1m} + \xi_{1m} \right) \\ N_{21}(\xi) &= -\cos \left( \xi_{1m} + \xi_{1m} \right) \\ N_{21}(\xi) &= -\cos \left( \xi_{1m} + \xi_{1m} \right) \\ N_{21}(\xi) &= -\cos \left( \xi_{1m} + \xi_{1m} \right) \\ N_{21}(\xi) &= -\cos \left( \xi_{1m} + \xi_{1m} \right) \\ N_{21}(\xi) &= -\cos \left( \xi_{1m} + \xi_{1m} \right) \\ N_{21}(\xi) &= -\cos \left( \xi_{1m} + \xi_{1m} \right) \\ N_{21}(\xi) &= -\cos \left( \xi_{1m} + \xi_{1m} \right) \\ N_{21}(\xi) &= -\cos \left( \xi_{1m} + \xi_{1m} \right) \\ N_{21}(\xi) &= -\cos \left( \xi_{1m} + \xi_{1m} \right) \\ N_{21}(\xi) &= -\cos \left( \xi_{1m} + \xi_{1m} \right) \\ N_{21}(\xi) &= -\cos \left( \xi_{1m} + \xi_{1m} \right) \\ N_{21}(\xi) &= -\cos \left( \xi_{1m} + \xi_{1m} \right) \\ N_{21}(\xi) &= -\cos \left( \xi_{1m} + \xi_{1m} \right) \\ N_{21}(\xi) &= -\cos \left( \xi_{1m} + \xi_{1m} \right) \\ N_{22}(\xi) &= -\cos \left( \xi_{1m} + \xi_{1m} \right) \\ N_{23}(\xi) &= -\cos \left( \xi_{1m} + \xi_{1m} \right) \\ N_{24}(\xi) &= -\cos \left( \xi_{1m} + \xi_{1m} \right) \\ N_{25}(\xi) &= -\cos \left( \xi_{1m} + \xi_{1m} \right) \\ N_{25}(\xi) &= -\cos \left( \xi_{1m} + \xi_{1m} \right) \\ N_{25}(\xi) &= -\cos \left( \xi_{1m} + \xi_{1m} \right) \\ N_{25}(\xi) &= -\cos \left( \xi_{1m} + \xi_{1m} \right) \\ N_{25}(\xi) &= -\cos \left( \xi_{1m} + \xi_{1m} \right) \\ N_{25}(\xi) &= -\cos \left( \xi_{1m} +$$

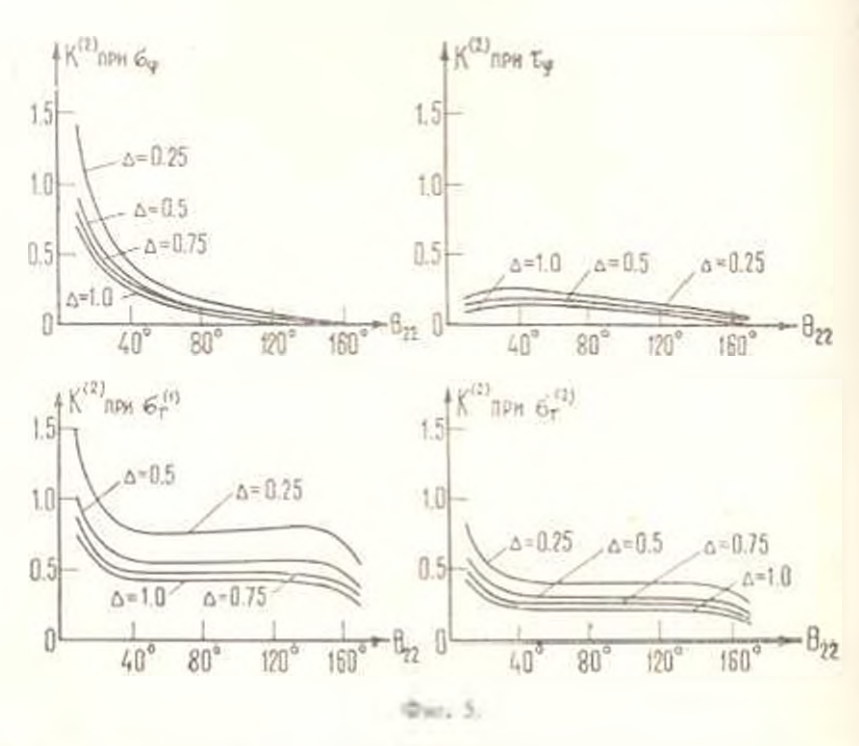
$$a_{22}(z) = -\left[C_{21}\sin\left(z-1\right) - S_{11}\cos\left(z-1\right)\right] - 4\sin^{2}z\theta_{21}\sin\left(z-1\right) - 4S_{11}^{21}\cos\left(z-1\right) - 4S_{21}^{21}\cos\left(z-1\right) - S_{22}^{21}S_{21} - 4S_{21}\cos\left(z-1\right) - S_{22}^{21}\cos\left(z-1\right) - \left[S_{21}^{21}a_{22} - S_{22}C_{21} + 4S_{21}\sin\left(z-1\right)\theta_{22}\right]$$

$$b_{22}(z) = C_{21}\cos\left(z+1\right)\theta_{22} - S_{21}\sin\left(z-1\right) - 4\sin^{2}\theta_{22}\cos\left(z+1\right)\theta_{23}$$

3. В качестие числового примера рассмотрим бесконечную составную полосу с полубесконечной трешиной, когда материалы соединены под углом (фис. 4), а также составлые области, представленные на фиг. 8—11.

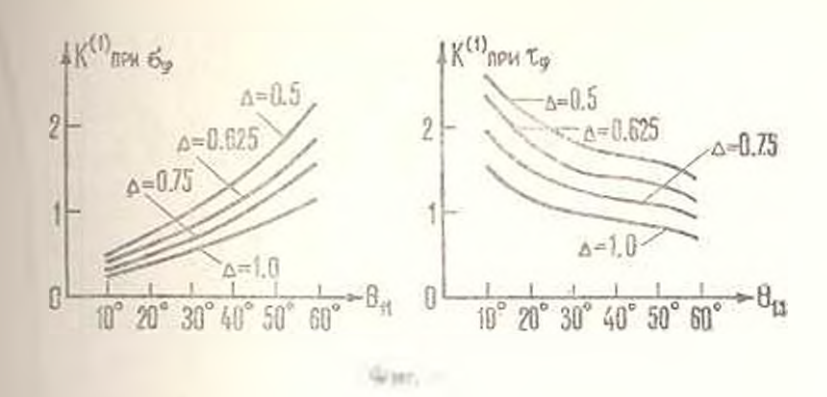


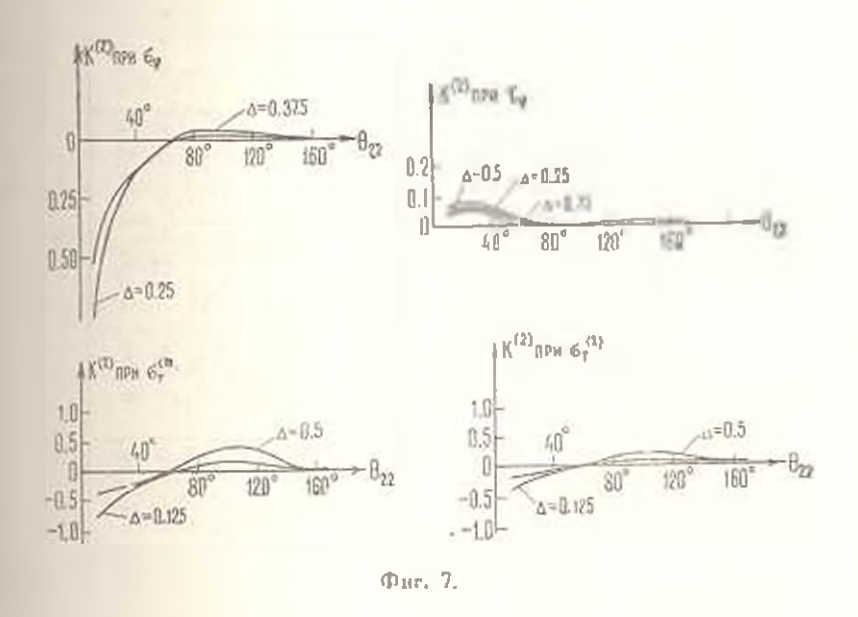
Фил. 4.

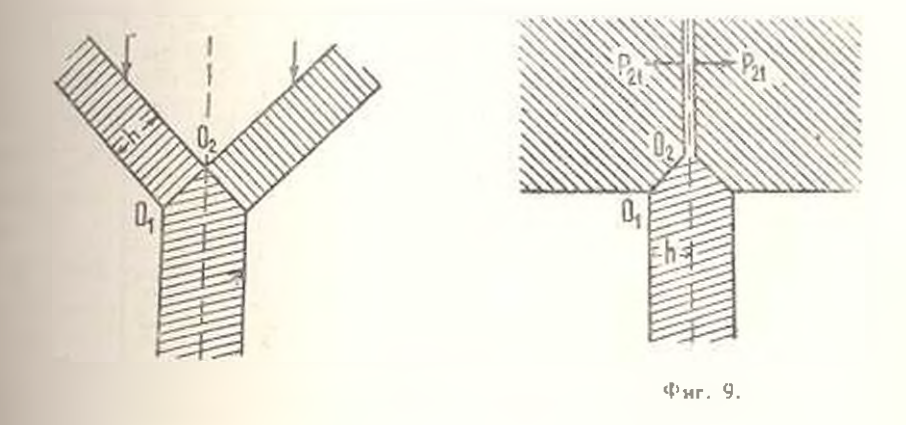


Расчеты выполнены на ЭВМ «ЕС 1022» Для всех областей принято E/E = 2,  $v_1 = 0.33$ ,  $v_2 = 0.25$ , а также принято, что внешине нагруаки приложены в виде сосредоточенных сил, действующих на расстоянии «с» от ближайшего угла, то есть

$$f_{nk}(r_n) = f_{nk}^i \delta(r_n - c), \quad g_{nk}(r_n) = Q_{nk} \delta(r_n - c)$$







011	¥11	₹ <sub>21</sub>	η <sub>11</sub>
10"	0.9125	0.4823	60
20°	0.8777	0.4655	7ú
307	0.8793	0.4497	80%
40	0.9043	0.4356	90.
5U°	0.9430	0.4243	1007

Дъжи фиг.	0,1	- 40	-4:1	Na	ŧ	121
8	90	135	90-	40	1,458	0.434
ų	135	135	135	15	0,557	0,429
10	120	1801	en.	7/0	0.50	1.429
10	1000	2004	60-	70	0.491	0.422
10	80	220°	100	50-	0 469	0,430
11	150	12-)	30°	60°	0_571	4.411

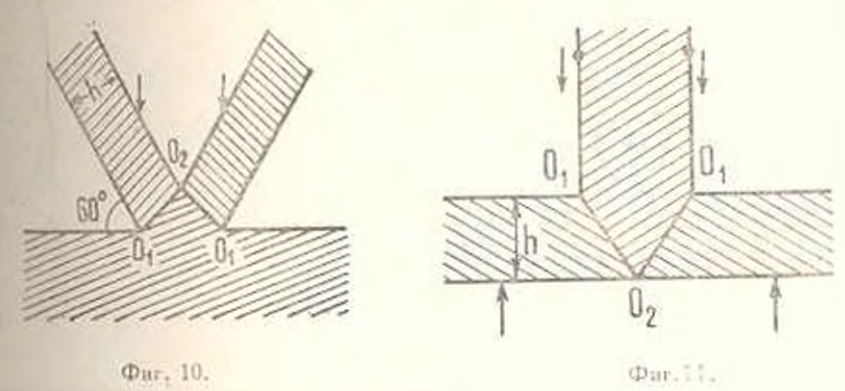
Таблица 1

111	721	0,11	*11	1,1	911	In.	Jm
9821	0.4170	110		U. 4451	160°	_	0.4971
-	0.4144	120	_	0.4582	170	-	0.4996
_	0.4166	130	_	0.4709			
_	0.4231	140	_	0.4822			
_	0.4330	150"	_	0.4912			

#### Таблица ?

КО при				Кот при			
4.	- a	2(1)	3(2)	4,	50	z <sub>x</sub> (1)	$z_p^{(I)}$
0.288	-0,155	0,175	-0.109	-0.100	0.127	-0.193	0,104
U.165	0.022	0,145	0.085	0.206	0.137	0.421	0.226
0.227	- 0.078	-0.420	-0.227	U.025	0,162	0.132	0_068
-0.182	- 0.095	-0.493	-0.250	0.020	0.181	0,071	0.037
-0.144	-0_087	-0.544	-0.283	0.006	0.201	0.095	0.003
-0.148	0,061	U.126	0.074	-3.899	0.267	-6.03	-3.308

В таба. 1. приведены значения наименьших по модулю корнен — н  $\xi_{21}$  (для которых | Re = | < 1) ссответственно функций  $\Delta_1$  (;) и  $\Delta_2$  для волосы с полубесконечной трешиной (фиг. 4), а в таба. 2 для областей, изображенных на фиг. 8—11.



Для различных точек приложения внешних нагрудок (то есть различных  $\Delta=c/h$ , см. фиг. 4-11) а зависимости от угла наклона линии соединения материалов первые коэффициенты в разложениях (1.23), то есть ковффициенты интенсивности концентрации напряжении  $\mathcal{K}=(p=1,\ 2)$  у полюсов  $O_1$  и  $O_2$ .

Результаты вычислений для бесконечной полосы приведены на фиг. 5—7, при атом фиг. 5 соответствует случаю приложения нагрузох, когда  $P_{*1} = -1$ , а остальные нагрузки ранны нулю, фиг. 6 и 7 — случаю, когда  $Q_{11} = 1$ ,  $Q_{12} = -1$ , а остальные силы ранны нулю.

Из фиг. 5 видно, что коэффициент концентрации K у полюса  $O_2$  при  $\mathbf{z}^{(1)}$  и  $\mathbf{z}^{(2)}$  в пределах изменения угла  $\mathbf{J}_{22}$  от 60 до  $140^\circ$  практически остается постоянным. Из фиг. 6 имеем, что коэффициент концентрации  $K^{(1)}$  у полюса  $O_1$  при  $\mathbf{z}_e$  при изменении угла  $\mathbf{J}_{11}$  от  $10^\circ$  до 60 минимальное значение принимает при  $\mathbf{J}_{11} = 10^\circ$ , а  $K^{(1)}$  при  $\mathbf{J}_{11} = 60^\circ$ .

Заметим, что в обоих случаях значения коэффициентов  $K^{(p)}$  (p=1,2) при удаления точки приложения внешних нагрузок, то есть при унеличении отношения  $\Delta=c/h$ , до эначения  $\Delta=1$ , по абсолютному значению уменьшаются. Из фиг. 7 следует, что коэффициенты пондентрации  $K^{(1)}$  при  $\sigma_{\phi}$  и получаются минимальными, когда  $\theta_{22}$  принимет значения, большие 60, а коэффициенты концентрации  $K^{(1)}$  при  $\sigma_{\phi}^{(1)}$  и  $\sigma_{\phi}^{(2)}$  получают минимальные значения при изменении угла  $\theta_{22}$  в пределах от  $50^{\circ}$  до  $70^{\circ}$  и спыше  $130^{\circ}$ .

В табл. 2 приведены значения атих же коэффициентов для областен, выбраженных на фиг. 8—11, для  $\Delta=1$ .

Отметим, что аналогичным, как п данной статье, образом можно рассмотреть несимметричные задачи.

Институт механики АН Армянской ССР

#### ՏԱՐԲԵՐ ՆՏՈՒԹԵՐԵՑ ԵՐԵՐ ԿԵՍԱՇԵՐՏԵՐԻ ՄԻԱՑՈՒԹՅԱՆ ՀԱՄԱՐ ՀԱՐԲ ԽՆԳԵՐ

#### It do do not encod

արարկվում է նարի կոնսակատարա խնուր է արիրույիի համար, որը բաղկացած է երկու տարբեր նյուներեց արժնարիայի մեկ MN է է է առանցբի առկայության դեպրում ւ Ենիադրվում է, որ մրացված նյուների միր տեղի ունի լրիվ ամրակցում, ըսկ եզբային պայմանները արված են լարուն և իում իրում ձև կոնտակատին լարում երբ արանց արտաքայան ներում նդակիությունները առանձնացված են։

Physical the Mary a ophiculation

### A PLANE FROBLEM FOR A COULDING OF THREE SEMISTRIPS OF DIFFERENT MATERIALS

#### A A BABLOYAN, N. O. GULKANIAN

#### Summary

A plane contact problem for Y shape region, composed of two materials, with one axis of symmetry, is considered. A complete coupling is assumed between the composing materials and boundary conditions are given in stresses. Formulas for contact stresses with singled out particularities are obtained. Numerical examples are presented.

#### AHTEPATYPA

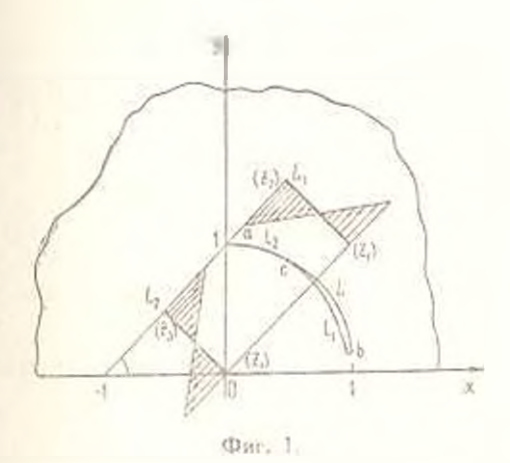
- Бай тоям А. А., Гузковки И В простив гадача теории угр по ти дат области, се ставлениом на двух услочимх гомпьев. Доя: № Армя жем ССР. 1976, т. 1.XII. № 3.
- 2, Баб поли А. А. Плиская кому тома для для двух усеченных алиньев. Дока М. Арминской ССР, 1977, т. LXV № 5.
- 3. Уфляна Я. С. Петет воздание и, со, по вечен и пененах теории перугости. А., па-«Наука», 1965.
- 4. Лосков Н. Н. Станов при при при при при в 11 1 и нажно теальтей. мит., 1953.
- 5. Hu stee: 5 M. O. com. | one | cont. | BEHHAP, 1978, s. 124.
- 6. Голиятие теории понтавливах задач в СССР. М. -Паказ. 1976.
- 7 Водин В. Плоская статичества радоча о напри:
  на границе раздела двух материалов Прика меж тр XSMF, 1971, т. 38, сер. Е. N. 4
- B. Yofanun J. C. Michaelle, allem V. (T. Che and S. 1971) (Indiam No. 102).

Pillenthia.

#### Б. Я. КАНТОР, Е. А. СТРЕЛЬНИКОВА, А. А. ФИЛЬШТИИ КИМ

#### КОНТАКТНАЯ ЗАДАЧА ТЕОРИИ УПРУГОСТИ ДЛЯ АНИЗОТРОПНОЯ ПОЛУПЛОСКОСТИ, ОСЛАБЛЕННОЙ КРИВОЛИНЕЙНЫМ РАЗРЕЗОМ

1. Постановка задачи. Пусть свободная (лащемленная) виклотропная полуплоскость, ослабленная криволиненным разрезям L, находится под лействием усилий, распределенных вдоль двух параллельных отрезков L, и L (фис. 1).



Будем предполагать, что L — простая разомкнутая дуга Ляпунона [9] с кондами а и b, не имеющая общих точек с границей полуплоскости Внешние усилия, действующие в полуплоскости, будем учитывать потенциалами  $\Phi_{10}(z_1)$  и  $\Phi_{20}(z_2)$ ; берега разреза L считаем свободными от нагрузок.

Допустим, что на части I, разреза L происходит раскрштие, а на участке I. — смынание берстоп. При этом I, и I, заранее не заданы,

Требуется описать поле напряжений в окрестности трещины и определять участок контакта

Рассмотрим спачала краевую задачу в предположении, что участки и и нявестны. Участок I, является зоной раскрытия, поэтому граничные условия на нем можно записать в виде

$$N' = N = 0, \quad T' = T' = 0 \tag{1.1}$$

Здесь N и T — соответственно нормальное и касательное усилия и. L. верхинй знак относится к левому, нижний — к правому берегам разреза при двяжении от начала разреза (точка а) к концу (точка а).

Краевые условия на 13 при отсутствии сил трения определяются из условий контакта

$$N' = N''$$
,  $T' = T$  0.  $u_* = 1 = 0$ ,  $u_* = u$  cos  $i \pm v$  sin  $i = 1, 2$ 

Здесь и , с — соответствующие компоненты вектора смещении, т — угол между положительным направлением нормали к леному берету в точке I и осню flx.

Согласно [10], напряження и смецения в анизотропной пластинке выражаются через аналитические функции  $\Phi_i(z_i)$  и  $\Phi_i(z_i)$  в виде

$$z_{1} = 2\operatorname{Re} \left\{ p_{1}^{2} \Phi_{2}(z_{1}) + p^{2} \Phi_{2}(z_{2}) \right\}$$

$$z_{2} = 2\operatorname{Re} \left\{ \Phi_{1}(z_{1}) + \Phi_{2}(z_{2}) \right\}$$

$$2\operatorname{Re} \left\{ q_{1} \Phi_{1}(z_{1}) + q_{2}(z_{2}) \right\}$$

$$u = 2\operatorname{Re} \left\{ s_{1} \varphi_{1}(z_{1}) + s_{2} \varphi_{2}(z_{2}) \right\}$$

$$v = 2\operatorname{Re} \left\{ q_{1} \varphi_{1}(z_{1}) + q_{2} \varphi_{2}(z_{2}) \right\}$$

$$(1.3)$$

$$s_1 = a_{11} + \cdots + a_{12} = a_{24} + \cdots + a_{14} + \cdots + a_{16} + \cdots + a$$

$$\Phi_{+}(z) = \varphi_{+}(z_{+}), \quad z_{+} = x - p_{+}y_{+} \quad i = 1, 2$$

Здось и., п. — харантеристические числа.

Можно похадать, что комплексные потенциалы Ф, (22) для анизотропной полуплоскости, находящейся под дейстинем сосредоточенной

силы  $P(P\cos w, P\sin w)$ , приложенной в точке  $\varepsilon_0$ , представляются следующим образом:

$$v_{*}(x_{*}) = \frac{A_{*}}{z_{*} - z_{*0}} + \sum_{i=1}^{2} z_{i} = \frac{\overline{A}_{i}}{z_{*} - \overline{z}_{*0}} 
 z_{*0} = \operatorname{Re} z_{0} - p_{*} \ln z_{0}, \quad i = 1, 2$$
(1.4)

Зассь константы 💼 в случае жесткого защемления имеют вид

$$\gamma_{21} = \frac{p_1 q_1 - q_1 p_2}{p_2 q_1 - p_1 q_2}, \qquad \gamma_{21} = \frac{p_1 q_1 - p_1 q_1}{p_2 q_1 - p_1 q_2}, \qquad \gamma_{22} = \frac{p_1 q_2 - p_2 q_1}{p_2 q_1 - p_1 q_2}, \qquad \gamma_{23} = \frac{p_1 q_2 - p_2 q_1}{p_2 q_1 - p_1 q_2}.$$

и в случае спободного края определяются формулами

$$7_{11} = \frac{\mu_{8} - \mu_{1}}{\mu_{1} - \mu_{2}}, \quad 7_{12} = \frac{\mu_{8} - \mu_{9}}{\mu_{1} - \mu_{2}}, \quad 7_{21} = \frac{\mu_{9} - \mu_{2}}{\mu_{1} - \mu_{2}}, \quad \cdots \quad \frac{\mu_{1} - \mu_{2}}{\mu_{1} - \mu_{2}}.$$

Постоянные A (v = 1, 2) выражаются через P и  $\omega$  при помощи системы четырех линенных алгебранческих уравнении (два условия однозначности смещении и два статических условия).

Функции  $\Phi_1(z_1)$  и  $\Phi_2(z_2)$ , определяющие напряжения в полуплоскости г разрезом, представим, используя (1, 4), п виде

$$\Phi_{1}(z_{1}) = \Phi_{10}(z_{1}) + \frac{1}{2\pi i} \int_{t}^{t} \frac{p(t)}{t_{1} - z_{1}} dt_{1} \\
- \frac{\gamma_{11}}{2\pi i} \int_{L}^{t} \frac{\overline{p(t)} dt_{1}}{t_{1} - z_{1}} - \frac{\gamma_{12}}{2\pi i} \int_{L}^{t} \frac{\overline{q(t)} dt_{2}}{\overline{t_{2}} - z_{2}} dt_{2} \\
\Phi_{2}(z_{2}) = \Phi_{20}(z_{2}) + \frac{1}{2\pi i} \int_{L}^{t} \frac{q(t)}{t_{2} - z_{2}} dt_{2} \\
- \frac{\gamma_{23}}{2\pi i} \int_{L}^{t} \frac{\overline{p(t)} dt_{1}}{\overline{t_{1}} - z_{2}} - \frac{2\pi i}{2\pi i} \int_{L}^{t} \frac{\overline{q(t)} dt_{2}}{\overline{t_{2}} - z_{1}} \\
\lim z_{2} > 0, \quad t_{2} = \operatorname{Re} t + y \cdot \lim t_{1}, \quad t \in L, \quad z = 1, 2 \quad (1.5)$$

Функции  $\Phi_1(z_1) - \Phi_{10}(z_1)$ ,  $\Phi_2(z_2) - \Phi_{20}(z_2)$ , определяемые равенствами (1.5), автоматически обеспечивают выполнение условий u = v = 0 на границе полуплоскости в случае жесткого защемления и  $a_1 = a_2 = 0$  в случае свободного края.

2. Основная система уравнении. Краевым условиям на берегах разреза (1.1), (1.2), учитывая соотношения (1.3), можно придать вид

$$a(\psi) \Phi_{1}^{-}(t_{1}) + b(\psi) \Phi_{1}(t_{1}) + \Phi_{2}(t_{2}) = 0, \quad t \in t_{1}$$

$$\operatorname{Re} \{\Phi_{1}^{+}(t_{1}) \{(1 - \mu_{1}) \sin 2 - 2\mu_{1} \cos 2\psi\} + \Phi_{2}^{+}(t_{2}) [(1 - \mu_{2}^{2}) \sin 2\psi - 2\mu_{1} \cos 2\psi] = 0$$

$$\operatorname{Re} \{(s_{1} \cos \psi + q_{1} \sin \psi) [\tau_{1}^{+}(t_{1}) - \tau_{1}^{-}(t_{2})] + (s_{2} \cos \psi + q_{2} \sin \psi) [\tau_{2}^{+}(t_{2}) - \tau_{2}^{-}(t_{2})] \} = 0$$

$$a(\psi) [\Phi_{1}^{+}(t_{1}) - \Phi_{1}^{-}(t_{1})] + b(\psi) [\Phi_{1}(t_{1}) - \Phi_{2}^{-}(t_{1})] + [\Phi_{2}^{+}(t_{2}) - \Phi_{2}^{-}(t_{2})] = 0, t \in t_{2}$$

$$a(\psi) - a_{0} \frac{a_{1}(\psi)}{a_{2}(\psi)}, \quad b(\psi) = b_{2} \frac{a_{1}(\psi)}{a_{2}(\psi)}$$

$$a_{1}(\psi) - \mu_{1} \cos \psi - \sin \psi, \quad a_{2}(\psi) - \mu_{2} \cos \psi - \sin \psi$$

$$a_{2} = \frac{\mu_{1} - \mu_{2}}{\mu_{2} - \mu_{2}}$$

$$a_{3} = \frac{\mu_{1} - \mu_{2}}{\mu_{2} - \mu_{3}}$$

$$a_{4} = \frac{\mu_{1} - \mu_{2}}{\mu_{2} - \mu_{3}}$$

$$a_{5} = \frac{\mu_{1} - \mu_{2}}{\mu_{2} - \mu_{3}}$$

$$a_{7} = \frac{\mu_{1} - \mu_{3}}{\mu_{2} - \mu_{3}}$$

$$a_{8} = \frac{\mu_{1} - \mu_{3}}{\mu_{2} - \mu_{3}}$$

$$a_{1} = \frac{\mu_{1} - \mu_{3}}{\mu_{2} - \mu_{3}}$$

$$a_{2} = \frac{\mu_{1} - \mu_{3}}{\mu_{2} - \mu_{3}}$$

$$a_{1} = \frac{\mu_{1} - \mu_{3}}{\mu_{2} - \mu_{3}}$$

$$a_{2} = \frac{\mu_{1} - \mu_{3}}{\mu_{3} - \mu_{3}}$$

$$a_{2} = \frac{\mu_{1} - \mu_{3}}{\mu_{3} - \mu_{3}}$$

$$a_{3} = \frac{\mu_{1} - \mu_{3}}{\mu_{3} - \mu_{3}}$$

$$a_{4} = \frac{\mu_{1} - \mu_{3}}{\mu_{3} - \mu_{3}}$$

$$a_{5} = \frac{\mu_{1} - \mu_{3}}{\mu_{3} - \mu_{3}}$$

$$a_{7} = \frac{\mu_{1} - \mu_{3}}{\mu_{3} - \mu_{3}}$$

$$a_{7} = \frac{\mu_{1} - \mu_{3}}{\mu_{3} - \mu_{3}}$$

$$a_{8} = \frac{\mu_{1} - \mu_{3}}{\mu_{3} - \mu_{3}}$$

$$a_{1} = \frac{\mu_{1} - \mu_{3}}{\mu_{3} - \mu_{3}}$$

$$a_{2} = \frac{\mu_{1} - \mu_{3}}{\mu_{3} - \mu_{3}}$$

$$a_{3} = \frac{\mu_{1} - \mu_{3}}{\mu_{3} - \mu_{3}}$$

$$a_{4} = \frac{\mu_{1} - \mu_{3}}{\mu_{3} - \mu_{3}}$$

$$a_{5} = \frac{\mu_{1} - \mu_{3}}{\mu_{3} - \mu_{3}}$$

$$a_{7} = \frac{\mu_{1} - \mu_{3}}{\mu_{3} - \mu_{3}}$$

$$a_{8} = \frac{\mu_{1} - \mu_{3}}{\mu_{3} - \mu_{3}}$$

$$a_{8} = \frac{\mu_{1} - \mu_{3}}{\mu_{3} - \mu_{3}}$$

$$a_{8} = \frac{\mu_{1}$$

Верхини внак относится к левому, нижний — к правому берегам разреза. Заметив, что разность первого и второго предельных равенств (2.1) представляет собой пятое равенство, получим, после подстановки предельных эначений функций (1.5), сиязь между искомыми функциями p(t) и q(t), именно

$$q(t) = -a(-)p(t) - b(+)p(t), t \in l_1 \cup l_2 = L$$
 (2.2)

Получим теперь представления комилексных потенциалов  $\Phi_{\rm st}(z)$  (v=1,2), определяющих напряжения в анизотронной полуплоскости, находишенся под действием усилии, распределенных идодь отрезков  $L_{\rm st}$  и  $L_{\rm st}$ .

Обозначив концы отрезков L, и L через  $\mathcal{Z}_{\alpha} = \pi/2$ , 4, соответственно, положим

$$z_k = \text{Re}z_i + v_k \text{Im } z_i, \quad k = 1, 2, i = 1, 4$$

Тогда ураннения отрезков L, можно записать в виде

$$\varepsilon_{k}, (p) = 0.5 \left[ (z_{k}, z_{i} - z_{k}, z_{i-1}) \, p - (z_{i} + z_{k}, z_{i-1}) \right]$$
  
 $k = 1, 2, \quad i = 1, 2, \quad -1 \quad 0.3 \le 1$ 

Пусть вдоль  $L_i$  действует распределенная нагрузка  $p_i(\beta)$ , определяемая формулой

$$p_1(3) = \frac{9_0 - 9}{1 - 9_0}, \quad p_0 = \text{const}, \quad 1 < p_0 < 1$$

Предположим, что вдоль L действует распределенная нагрузка  $p_2(\S) = p_1(\S)$ . Для нахождения  $\Phi_+(z_*)$ ,  $\gamma = 1,2$  проинтегрируем выражения

$$\sum_{i=1}^{n} (-1)^{i} \left[ n_{k}(1) \left( \frac{A_{k}}{z_{k} - t_{ki}(\hat{p})} + \sum_{n=1}^{n} \gamma_{kn} \frac{A_{n}}{z_{k} - t_{ni}(\hat{p})} \right) \right], \quad k = 1, 2$$
 (2.3)

по в в пределах от — 1 до 🛨 1. Получим

$$\Phi_{k0}(z_k) = \frac{s_0}{2(1+\beta_0)} \sum_{i=1}^{2} (-1)^{i+1} \left[ \frac{A_k}{M_k^2} [z_k - t_{k_i}(\beta_0)] \ln \frac{z_k - t_{k_i}(1)}{z_k - t_{k_i}(-1)} \right] + \sum_{n=1}^{2} \frac{\tilde{\tau}_{kn}A_1}{\tilde{M}_n^2} z_k - t_{n_i}(\gamma_0) \ln \frac{z_k}{z_k} - t_{n_i}(-1) \right] + k - 1, 2 - 24$$

Вдесь  $A_i$  (k=1,2) определяются из системы четырех линейных алгебранческих уравнений  $\{10\}$ ,  $s_i$  — данна отрезка  $L_i$ ,  $M_k$  определяются формулами

$$M_k = 0.5 (z_{k2} - z_{k1}) = 0.5 (z_{k3} - z_{k4}), k = 1, 2$$

Таким образом, предельные значения функций (1.5) имеют вид

$$\Phi_{10}(t_{10}) = \Phi_{10}(t_{10}) \pm \frac{1}{2} p(t_0) + \frac{1}{2 - i} \int \frac{p(t) dt_1}{t_1 - t_{10}} - \frac{\tau_{11}}{2 - i} \int \frac{p(t) dt_1}{t_1 - t_{10}} - \frac{\tau_{12}}{2 - i} \int \frac{p(t) dt_1}{t_2 - t_{20}}$$

$$= \frac{1}{2} a_1 t_1 + \frac{1}{2\pi i} \int_{L} \frac{dt_1}{t_1 - t_2} dt_2$$

$$= \frac{\gamma_{21}}{2\pi i} \int_{L} \frac{\overline{p(t)} dt_1}{t_{10}} = \frac{\gamma_{22}}{2\pi i} \int_{L} \frac{q(t) dt_2}{t_2}$$
(2.5)

где  $\Phi_{10}$  ( $I_{10}$ ) (v = 1,2) определяются формулами (2.4).

Используя равенства (2.2) и (2.5), принедем красвые условия (2.1) к системе сингулярных интегральных уравнений

$$\operatorname{Re}\left\{\frac{\overline{b_{10}(t_0)}}{\overline{z_1}}\right\} \underbrace{\frac{p(t)}{t_2-t_{20}}}_{L} dt_{2} + \int_{L} G_1(t,t_0) dt_{2} = h_{1}(t_0)$$

$$\operatorname{Re}\left\{\frac{\overline{b_{20}(t_0)}}{\pi t}\right\} \underbrace{\frac{p(t)}{t_2-\overline{t}_{20}}}_{L} dt_{2} + \int_{L} G_2(t,t_0) dt_{2} = h_{1}(t_0)$$

$$t_0 \in l_{3}$$

$$\operatorname{Re}\left\{a(t_0)p(t_0) + \int_{L} G_2(t,t_0) dt_{3}\right\} = 0, t_0 + l_{2} \qquad (2.6)$$

Злесь

$$b_{1}, (\psi_{0}) = -2 \left( \mu_{1} \cos \psi_{0} - \sin \psi_{0} \right) \left( \mu_{1} \sin \psi_{0} - \cos \psi_{0} \right)$$

$$b_{2}, (\psi_{0}) = \left( \mu_{1} \cos \psi_{0} - \sin \psi_{0} \right)^{2}; \quad \tau = 1, 2$$

$$\alpha \left( \psi_{0} \right) = \left( \mu_{1} - \mu_{2} \right) \left( \mu_{1} - \mu_{2} \right) \left( \cos \psi_{0} + \mu_{1} \sin \psi_{0} \right) \left( \mu_{1} \cos \psi_{0} - \sin \psi_{0} \right)$$

$$2\pi i G_{k} \left( t_{1} t_{0} \right) = \frac{1}{t_{1}} \frac{1}{t_{10}} \frac{\eta_{2}}{\eta_{2} - \eta_{2}} \frac{\eta_{2}}{t_{2}} \frac{1}{t_{2}} \frac{1}{t_{20}}$$

$$+ \frac{\mu_{1} - \mu_{0}}{\mu_{2} - \mu_{2}} \frac{\overline{u}_{2} \left( \psi_{0} \right)}{\overline{t_{2}} - \overline{t_{20}}} \frac{\overline{b}(\psi_{0})}{\overline{b}(\psi_{0})} \frac{\overline{b}(\psi_{0}) - \overline{b}(\psi_{0})}{\overline{t_{2}} - \overline{t_{20}}} \frac{\eta_{2} \cos \psi_{2} - \sin \psi_{0}}{\eta_{1} \cos \psi_{2} - \sin \psi}$$

$$+ \sum \overline{b}_{k}, \left( \psi_{0} \right) \sum_{n=1}^{\infty} \left( -1 \right)^{n} \frac{\left( \psi_{0} - \psi_{0} \right)}{t_{n} - \overline{t_{20}}} + 2\operatorname{Re} \left[ b_{k}, \left( \psi_{0} \right) - \frac{\eta_{1} - \mu_{2}}{\overline{u_{2}}} - \frac{1}{t_{20}} \right]$$

$$G_{2}\left( t_{1}, t_{2} \right) = \left\{ \left( \mu_{1} - \mu_{2} \right) \left( \mu_{1} - \overline{\mu_{2}} \right) \left( \cos \psi_{0} \right) + \frac{\eta_{1} \sin \psi_{0}}{\overline{u_{2}}} \right\} \frac{1}{t_{2} - t_{20}} \left[ \frac{1}{t_{2} - t_{20}} + \frac{1}{t_{2}} \right]$$

$$N_{k}\left( t_{0} \right) = -\operatorname{Re} \left\{ \sum_{n=1}^{\infty} b_{k}, \left( \psi_{0} \right) + \mu_{k}, \left( t_{n0} \right) \right\} \right\} \left\{ k = 1, 2 \right\}$$

Теорема. Если L — простая разомкнутая дуга Аяпунова, кривизна которой удовлетворяет условию Гельдера, а функции  $b(\psi)$   $b_{+}(\psi)$ ,  $b_{-}(\psi)$ 

 $\alpha(\psi)$  дважды непрерывно дифференцируемы па L, го система сингулярных интегральных уравнений (2.6) разрешима при любой правой части, удовлетворяющей на L условию Гельдера всюду, кроме конечного числа точек: причем решение определяется с точностью до одной вещественной постоянной.

Доказательство. Воспользуемся методами, изложенными в [11]. Приведем систему (2.6) к виду

$$A(t_0)\varphi(t_0) + \frac{B(t_0)}{z_1} \int_{t}^{\infty} \frac{dt}{t-t_0} dt + \frac{1}{z_1} \int_{t}^{\infty} \Omega(t,t_0) \varphi(t) dt = N(t_0)$$

Здесь

$$B(t_0) = \left\{ \begin{pmatrix} \frac{\beta}{\beta_1} & -\beta \\ \frac{\beta}{\beta_1} & -\beta_1 \end{pmatrix}, \quad t_0 \in l_1; \quad \begin{pmatrix} -\beta \\ 0 & 0 \end{pmatrix}, \\ N(t_0) = \left\{ N_1(t_0), \quad t_0 \in l_1; \quad N_2(t_0), \quad t_0 \in l_2 \right\} \\ \beta = \overline{b_{12}(\psi_0)} \ \overline{b(\psi_0)}, \qquad \overline{b_{23}(\psi_0)} \ \overline{b(\psi_0)}, \quad \alpha = \alpha(\psi_0)$$

Обозначив S = A + B, D = A - B и проверив, что  $\det S \neq 0$ ,  $\det D \neq 0$  всюду на L, устанавливаем, что рассматриваемая система относится к нормальному типу. Поэтому (2.6) можно свести к неоднородной задаче сопряжения Гильберта

$$\Phi^*(t_0) = g(t_0) \Phi^*(t_0) - b(t_0)$$
 (2.7)

rae

$$g(t_0) = S^{-1}(t_0) D(t_0), b(t_0) = S^{-1}(t_0) N(t_0)$$

Обозначим  $c_1 - a_1$   $c_2 = c_1$   $c_3 = b$  (ан b — концы разреза L, c — точка перехода участка раскрытия  $l_1$  в участок контакта — Будем искать решения (2.7) в классе  $h(c_2)$ , то есть органиченные в  $c_2$  и пеограниченные в точках  $c_1$  и  $c_2$ . Для выясления вопроса о разрешимости (2.7) в классе  $h(c_2)$  найдем частные и суммарный индексы этой задачи. Суммарный индекс вычислим по формуле [11]

$$\frac{1}{2^{-1}} = \frac{\det x_0 \det x_0 \det x_0}{\det x_0 \det x_0}$$

где  $\det x_i = (z-z_0)^m (z-z_0)^m$ ;  $p_{ik}$ —характеристические числа матриц  $q^{-1}(c,-0)$   $g(c_i-0)$ ;  $i=1,3,\ k=1,2.$  Получим x=1. С другой стороны, x=y,  $x_2$ . Определим — наинизший порядок исчезающих на бесконечности решений однородной задачи сопряжения, соответствующей (2.7). Произведем конформное отобряжение плоскости с раз-

резли L на плоскость с разрезом l пдоль некоторого отрезка вещественной оси. При этом  $l_1$  и  $l_2$  перейдут в отрезки  $l_1$ ,  $l_2$  соответстненно  $(l_1 \cup l_2 - l)$ . Введем в рассмотрение функцию  $\Psi(z)$ , положив  $\Psi(z) = \Phi(l)$ . Каг показано в [9], на l будут справедливы равенста  $\Psi(t) = \Phi'(t)$ ,  $\Psi'(t) = \Phi(t)$ , вспользовав которые придем к следующей граничной задаче:

$$\gamma \Phi^{+} + \Psi^{+} = - (\gamma \Phi^{-} + \Psi^{-}) 
\delta \Phi^{+} + \Psi^{+} = - (\gamma \Phi^{-} + \Psi^{-}), \ t \in I 
\gamma \Phi^{+} + \Psi^{-} = - (\delta \Phi^{-} + \Psi^{-}), \ t \in L$$
(2.8)

Здесь ,  $\delta$ —непрерывные на I и ограниченные на бесконечности функции. Положим теперь  $\Omega^+ = \gamma \Psi^- + \Psi^-$ ,  $\Xi^- = \bar{\epsilon} \Phi^- + \Psi^-$ . Тогда условия (2.8) вапншутся в виде:

$$\Omega = -\Omega^-, \quad t \in l_1; \quad \Omega = \Omega^-, \quad t \in I_2 \quad \Xi = -\Xi, \quad t \in I_1 \quad (2.9)$$

Однако (2.9) нельзя решать как задачу сопряжения, нбо  $\Omega(z)$ .  $\Xi(z)$  могут иметь особенности в конечной части плоскости. Выразив  $\Psi$  через  $\Psi_{i} = 0$  и подставив в (2.8), придем и двум неодпородным краевым задачам для функции  $\Psi(z)$  с неизвестными разрывными правыми частими:

$$\Phi' = -\Phi^{-}, \quad t \in I_{t}, \quad \Phi^{-} = -\Phi^{-} = \frac{2!}{2!}, \quad t \in I_{2}$$
 (2.10)

$$\Phi^{+} = -\Phi^{-}; \quad t \in I_{1}; \quad \Phi^{+} = \Phi^{-} - \frac{2\bar{z}}{\bar{z} - \gamma}; \quad t \in I_{2}$$
 (2.11)

Решения (2.10) и (2.11) отыскиваются в классе  $h(c_1)$ . Для задачи (2.10) точка с является особенной, поэтому решение в ней необходимо ограничено. Индексы задач (2.10) и (2.11) равны 1 и 0 соответственно.

Исчезающее на бесконечности решение (2.10) я рассматриваемом ялассе двется формулой [9]

$$= \frac{X_0(z)}{2\pi i} \int_{l_2} \frac{2\Omega^- dt}{X_0(t)(7-3)(t-z)} + CX_0(z)$$
 (2.12)

в для вадачи (2.11) таким решением будет

$$\Phi(z) = \frac{X_{c}(z)}{2\pi i} \int_{t_{2}^{z}}^{c} \frac{2z^{-}dt}{X_{c}^{+}(t)(\gamma - z)(t - z)}$$
(2.13)

Здесь  $X_{*}(z)$ ,  $X_{*}(z)$  — канонические решения однородных задач. соответствующих (2.10) и (2.11), имеющие на бесконечности порядки—1 в 0 соответственно. Вычисляя интегралы типа Коши, фигурирующие в (2.12), (2.13) и приравнивая полученные правые части, придем к равенству

$$0 = \frac{2 \left[ \Omega(z) - \Xi(z) \right]}{\left[ (z) - \tilde{\alpha}(z) \right]} + CX_0(z) - X_0(z) \sum_{i=1}^n |G_i(z)| + X_0(z) \sum_{i=1}^m F_i(z)$$

где  $G_i(z)$ ,  $F_i(z)$ — главные части подынтегральных функций в (2.12), (2.13) в их полюсах. Отсюда

$$\Phi(z) = C_1 X_0(z) + \frac{1}{2} \left[ X_0(z) \sum_{i=1}^n G_i(z) - X_i(z) \sum_{i=1}^n F_i(z) \right]$$

Из полученного представления следует, что порядок на бескопечности решения  $\Phi(z)$  равен -1,  $\tau$ , e,  $\varkappa$ , -1. Поскольку  $\varkappa$   $-\varkappa$ ,  $+\varkappa$ ,  $-\varkappa$ , -1, -1, -1, -1, -1, -1, -1, -1, -1, -1, -1, -1, -1, -1, -1, -1, -1, -1, -1, -1, -1, -1, -1, -1, -1, -1, -1, -1, -1, -1, -1, -1, -1, -1, -1, -1, -1, -1, -1, -1, -1, -1, -1, -1, -1, -1, -1, -1, -1, -1, -1, -1, -1, -1, -1, -1, -1, -1, -1, -1, -1, -1, -1, -1, -1, -1, -1, -1, -1, -1, -1, -1, -1, -1, -1, -1, -1, -1, -1, -1, -1, -1, -1, -1, -1, -1, -1, -1, -1, -1, -1, -1, -1, -1, -1, -1, -1, -1, -1, -1, -1, -1, -1, -1, -1, -1, -1, -1, -1, -1, -1, -1, -1, -1, -1, -1, -1, -1, -1, -1, -1, -1, -1, -1, -1, -1, -1, -1, -1, -1, -1, -1, -1, -1, -1, -1, -1, -1, -1, -1, -1, -1, -1, -1, -1, -1, -1, -1, -1, -1, -1, -1, -1, -1, -1, -1, -1, -1, -1, -1, -1, -1, -1, -1, -1, -1, -1, -1, -1, -1, -1, -1, -1, -1, -1, -1, -1, -1, -1, -1, -1, -1, -1, -1, -1, -1, -1, -1, -1, -1, -1, -1, -1, -1, -1, -1, -1, -1, -1, -1, -1, -1, -1, -1, -1, -1, -1, -1, -1, -1, -1, -1, -1, -1, -1, -1, -1, -1, -1, -1, -1, -1, -1, -1, -1, -1, -1, -1, -1, -1, -1, -1, -1, -1, -1, -1, -1, -1, -1, -1, -1, -1, -1, -1, -1, -1, -1, -1, -1, -1, -1, -1, -1, -1, -1, -1, -1, -1, -1, -1, -1, -1, -1, -1, -1, -1, -1, -1, -1, -1, -1, -1, -1, -1, -1, -1, -1, -1, -1, -1, -1, -1, -1, -1, -1, -1, -1, -1, -1, -1, -1, -1, -1, -1, -1, -1, -1, -1, -1, -1, -1, -1, -1, -1, -1, -1, -1, -1, -1, -1, -1, -1, -1, -1, -1, -1,

$$\operatorname{Re} \left\{ (\mathfrak{p}_1 - \mathfrak{p}_1)(\mathfrak{p}_1 \cos \mathfrak{p}(b) - \sin \mathfrak{p}(b)) \right\}^{\frac{1}{2}} = 0 \quad (2.14)$$

Таки побралом, система уравнении (2.6) допускает единственное решение в классе (с. при дополинтельном условии (2.14), при этом пормальные и касательные напряжения будут ограничены в точке с и неограпичены в точк у а и b.

3 Решение контиктной задачи. Предлагается следующий путь решения поставлениой задачи. Вначале решается задача о равновесии свободной (защемленной) анизотровной полуплоскости, ослабленной криволинейным разрезом, берега которого не контактируют  $\pm 12$ ]. Если на L найдется зона 📇, в которой происходит «налегание» одного берега разреза на другой, что соответствует выполнению условия  $u^+ + u^- > 0$ , то  $R_i^{(1)}$  приикмастся в Гачестае первого приближения для участка контакта 📗 Затем решается коит ктная задача при заданном (1), что соответстлует решению системы уравнении (2.6), (2.14). При этом пычисляется контактное данление У, и выполняем точка на L. в которой У обращестся в нумь Эта точка может не совпасть с концом участка, выбранного в качестве предыдущего приближения для воны контакта. Используем ее для построения следующего приближения. Таким образом, приходим к итерационному процессу, который заканчинается при достижении нужной точности. Вычисления повыдали, что для достижения точности в 10 обычно требуется 3-4 итерации.

Для решения системы (2.6), (2.14) использован метод Мультонна [13], позволяющий спести се и системе линейных алгебраических уравнений. Метод реализован в программе на языке ФОРТРАН для ЭВМ «БЭСМ-6».

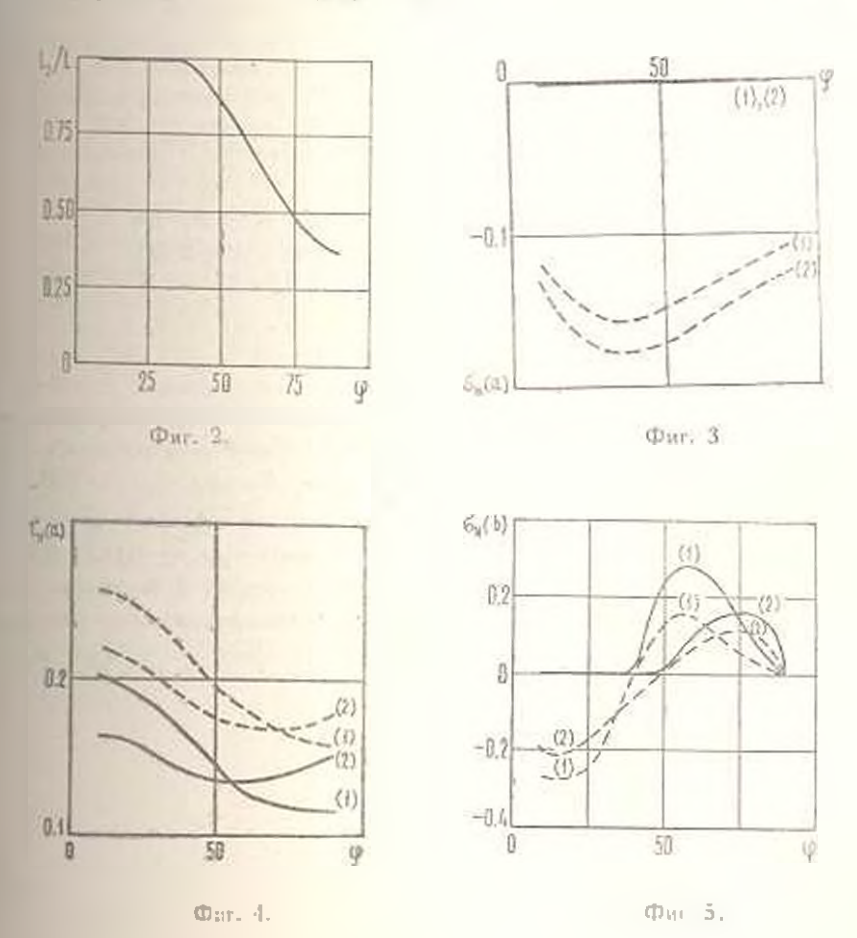
В инчестве примера рассмотрена пластина ил стеклопластика  $A\Gamma-4C$  ( $E_1=2.1 \cdot 10^5$  иг/см²,  $E_2=1.6 \cdot 10^7$  иг/мг.  $G=0.42 \cdot 10^9$  иг/см², 0.09, I=2.128 i, I=0.539 i), ослабленияя разревом и виде дуги малиса L:

$$x = R. \sin \frac{1}{2} \approx y = R. \cos \frac{1}{2} \approx 1$$

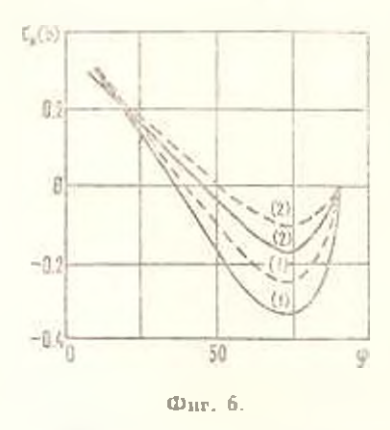
в условиях свободного края.

Контур разреда делится на 20 частей. Дальнейшее увеличение числа узлов не привело к существенному изменению редультатов.

Результаты расчетов приведены на фиг. 2—6. На фиг. 2 представлено изменение ширины зоны контакта берегов трешины. На фиг. 3. 4 изображены графики ковффициентов интенсивности нормальных  $z_N$  и касательных тупапряжений, вычисленных в вершине а. Графики тех же величин, относищихся и вершине b. даны на фиг. 5. 6. Здесь величины, нычисленные учета контакте берегов, изображены пунктирными линиями. Сплошимыми циниями даны те же величины, найденные с учетом частичного смыхания берегов. Кривые (1) на всех графиках отвечают отношению  $R_1R_2 = 0.5$ .



Как пидим, при малых углах охвата ф. берега трещины контакта по вс и длине. При этом ковффициенты интенсивности касательных важений отличны от нуля. Учет контакта берегов приводит к личителя уманываемно ковффициентов интенсивности в эоне сжатия. С ростов



личивается во и раскрытия и стиенно уменьшается RHOE (фиг. 2). Оказынается, что учет такта берегов приводит к увеличения в некоторых случаях почти коэффициентов интенсивности как мальных, так и касательных наприний. При подходе к границе полук скости ( -- т/2) наблюдается стрени ние коэффициентов интенсивности пряжений ю RVAID (dur. 5, 6), е ве менцинат модохина котрановедо болную поверхность.

Таким образом, учет контакта берегов важен при прогновиро развития трещины, так как при определенных нагрузках приводит и за ному изменению коэффициентов интенсивности напряжений.

Институт проблем чаванно троения АН УССР

Поступная 21 1 1

📂 3ա. ԿԱՆՏՈՐ, Ե. Ա. ՍՏՐԵԼՆԵԿՈՎԱ, Լ, Ա. ՆԵԼՇՏԵՆԱԿԻ

ԿՈՐԱԳԻՆ ԿՏՐՎԱԾՔՈՎ ԹՈՒԼԱՑՎԱՆ ԱՆԻԶՈ<mark>ՏՐՈՊ</mark> ԿԻՍԱՀԱՐԹՈՒԹՅԱՆ ՀԱՄԱՐ ԱՌԱՉԳԱԿԱՆՈՒԹՅԱՆ ՏԵՍՈՒԹՅԱՆ ԿՈՆՏԱԿՏԱՅԻՆ ԵՆԳԻՐ

U. of den den e of

Դիտարկվում է կորուգիծ կարմածրոմ քնուրացված անիզոտրոպ կիսանարրության Համար առաձգականության տեսության Հարքի խնդիրը ազատ եզբ կամ կոշտ ամրացման սրայմաններում։ Կոլոսով-Մուսիսիիչվիլու առաննցիալների ինտնգրալ ներկալացումների օգտագործումով գնտանվանակիրը թերվել է սինսուլյար ինտեղթալ Հավասարումների սիստեմի, որի լաժումով որոշվում է գտրումների քրչակայրում լարված-դեֆորմացվան վեճակը։ Տրվում է լարումների ինտենսիվության դործակիցների վրա կարվածի ճակը։ Տրվում է լարումների ինտենսիվության դործակիցների վրա կարվածի ափերի մասնակիցների միային վերաժունի մասնակիցների միային վերաժունիը մասնակիրների միային վերաժունիը

#### A CONTACT PROBLEM IN THE ELASTICITY THEORY FOR ANISOTROPIC SEMI-PLATE WEAKENED BY A CURVILINEAR CRACK

B Ya, KANTOR, E. A. STRELNICOVA, L. A. FILSHTINSKY

#### Summary

The plane problem of elasticity is studied for a semi-infinite free or clamped plate weakened by a curvilinear crack. Using an integral representation for complex potential of stress the above mentioned problem is reduced to a system of singular integral equations. The stressed-strained state is determined near the vertices of the crack by solving this system. The numerical analysis of an influence of the "overlapping" on the stress intensity factors is presented.

#### AHTEPATYPA

- 1. Kotter W. T. On the flexural rigidity of a beam, weakened by transverse saw culs. Proc. Koninkl, nederl. acad. wet., 1956, B. 59, 4, p. 354-374.
- 2. Гонови В. С. Мелкумин С. А. Контактная задача для полуплоскости с пертикальшым раврезом. Докл. АН Арм. ССР, 1970, 51, 3, с. 144—149.
- Тимови В. С. Мелкумян С. А. Об одной задаче для полуплоскости с пертикальным попечным равревом. Изв. АН Арм. ССР, Механика, 1972, 25, 3, с. 3—17.
- Толоян В. С., Мелкумян С. А. О симметричном пларливании двух жестких одинаковых штампон и упругую полуплоскость с вертикальным полубесконечным разрезом. Дохл. АН Арм. ССР, 1973, 57, 5, с. 282—288.
- 5. Панаскія В. В., Спарук М. П., Доцинция А. П. Распределение наприжений около треции в пластинах и оболочках. Киев. «Паукова думка». 1976, 444 с.
- Joaktmidis N. I., Theoraris P. S. System of curvelinear cracks in an isotropic clastic half-plate, Int. J. Fract. 1979, 15, No. 4, p. 299-309.
- 7. Р. М. О напряженном постоянии полуплоскости с палегающими трещи нами. 1980, 13 с. (Руконись деп. и ВИНИТИ 12 февраля 1980, № 539-80 Деп.).
- 8. Hatels N., Inchara S. Stress analysis of a semi-infinite plate with an oblique ech., 1980, 49, No. 1, p. 51 -62.
- 9. Маскелицинали Н. И. Сингулирные интегральные уравнения, М., «Наука» 1968,
- 10. Ленициева С. Г. Анизотронные пластинки. М., Гослехиздат, 1957, 464 с.
- 11. Венув Н. П. Системы спигулярных интегральных уравнений и некоторые граничные далачи, М. Наука: , 1970, 379 с.
- 12. Онямитинский Л. А. Упругое равновесие плоской внязотронной среды, ослабленной произвольными кряноличенными треминами. Предельный переход к изотро пой среде. Има. АН СССР, МТТ, 1976, № 5, с. 91—97
- 13. Казандия А. И. Математические мегоды двумерной теории упрусости. М., -Наука».
  1973, 304 с.

198

#### А. Г. БАГДОЕВ, Т. С. БЕЗИРГЕНЯН

#### ИССЛЕДОВАНИЕ АЭРИРОВАННОГО ПОТОКА НА ОТКРЫТИ ВОДОВОДЕ С ПССТОЯННЫМ ПРОДОЛЬНЫМ УКЛОНОМ ЛЕ

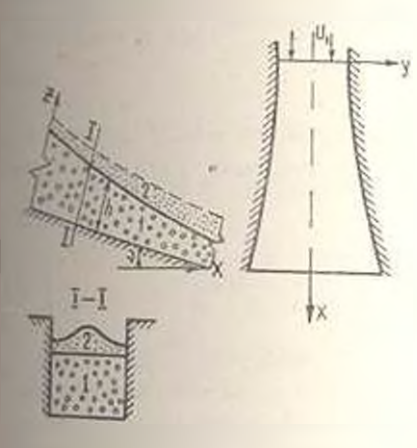
В работе в предположении, что в любом поперечном сечения рас сматринаемого участка открытого педовода с плоским наклониям вед где концентрация по глубине распределена равномерно, а смесь являет гомогенной, ныведены уравнения движения и неразрывности, уражихарактеристик. Предложен численный алгориты решения полученим инновых уравнений, на основании которого можно подечитать глубивы и рости аэрироцанного потока при заданном очертании боковых стал то есть решать прямуні задачу, не прибегая к существующим полуживыческим гидравлическим методам. Получено ураннение коротких воле, -сывающее пелименный процесс распространения слабых возмущения охрестности линенной характеристики. Приведенное решение этого урсы нения позволяет качественно и количественно исследовать волновую ну, что для однофизного потока проделано в [17]. Из полученного уразна ния коротких воли следует, что ГГА для илановых аврированных потовог не вмеет места. Показано, что в аврированном полоки стационарное вомывое движение всегда устойчиво. Для монохроматических полн, которы 🚱 разуются на свободной поверхности из-за наличия дисперсии и дисп пин, выпедено ураннение модуляций.

С возрастанием кинстичности потока (числа Фруда Fr.) он эвлетельно аарпрустся, так в быстро текущий иот обладает своиство сасывания воздуха и учет аэрации становится необходимым. Матемах ское условие возни повения аэрации описывается как потеря устоящеги нестационарного волнового движения [11, 12, 14]. К настоящем времени имеющиеся ф рмулы для расчета характеристик аэрированием токсе или получены из уравнении одномерного движения [10—14], ки носят эмпирический характер [12].

По гидродинамической теории изучение многофазных потоков в литратуре имеются дле группы работ. Первая группа работ относится к геметенным смесям [1, 2, 3, 8]. В таких многофазных потоках относительно перемещение (диффузионное движение) разноплотностных сред незименанное и им можно препебречь, так как и таких смесих разные фазм перемещаны на молскулярном уровие [6], например, случай смеси воды с гозовыми пудырыхами [19] ырыки настильно малы, что сида тяжести не изывает существенного относительного движения пудырыков воздука Вюрая группа работ относится к гетерогенным многофальным потокам [4—12], то есть к таким смесям, когда диффулионное династние разноцлова

ных сред значительно и им пренебречь нельзя, например, случай взвешанвых частиц в разных средах. Гетерогенные смеси, в отличие от гомогенных, хадантеризуются наличием в пих макроскопических неоднородностей [6].

1. Рассмотрим варированное движение потока несжимаемой жидкости на переходном участке открытого водовода с произвольно постоянным продольным уклоном дна (фир. 1). Для математического описания такого по-



Фиг. 1.

тока (смесь ноды и пузырков воздуха) обычно берется двухолойная модель, которая имест наибольшее распространение [11-14]. Согласно такой модели аэрированный поток разделяется на два слоя: верхний - воздухокапельный (воздушная пелена) и нижний водовоздушный (фиг. 1). За свободную поверхность принимается поверхность раздела двух слоев, на которой концентрация в отличие от работ [10-12, 14] предполагается переменной. Отметим, что все нижепроведсиные исследования отно-

сится к воздушному слою, толщина которого в несколько раз больше толщим воздухокапельного слоя, и в практических расчетах последним можпо пренебречь.

В рассматриваемом случае вполне можно допускать, что пузырьки гам изстолько малы, что они движутся вместе с жидкостью, и смесь можно считать единой сплошной средой.

Ураппения движения и неразрывности суспензии для водопоздушнослоя с учетом турбулентного трения запишутся в обычной форме.

$$u\frac{\partial u}{\partial x} - v\frac{\partial u}{\partial y} - w\frac{\partial u}{\partial z} = g\sin v - \frac{1}{z}\frac{\partial p}{\partial x} - T_x \tag{1.1}$$

$$u\frac{\partial v}{\partial x} + v\frac{\partial v}{\partial y} + w\frac{\partial v}{\partial z} = -\frac{1}{p}\frac{\partial p}{\partial y} - T_{v}$$
 (1.2)

$$u\frac{\partial w}{\partial x} + v\frac{\partial w}{\partial y} + w\frac{\partial w}{\partial z} = -g\cos y - \frac{1}{\varrho}\frac{\partial p}{\partial z} - \gamma, \qquad (1.3)$$

$$\frac{\partial (\rho h u)}{\partial x} = \frac{\partial (\rho h u)}{\partial y} = \frac{\partial (\rho h w)}{\partial z} = 0 \tag{1.4}$$

где u, v, w — осредненные по элементу объема смеси водовоздушного слоя объема скорости соответственно по координатным осям Ox, Oy, Oz (фиг. 1),  $\rho$ ,  $\rho$  — соответственно осредненные значения давления и плотности смеси.  $T_{-}$ ,  $T_{-}$ ,  $T_{-}$  — осредненные значения компонентов турбулентно-

го трения по координатным осям, v — уклон дна относительно горизонтальной плоскости, E — ускорение силы тяжести.

Величины, относящиеся к газовой фазе, обозначим индексом г, а к жидкой — индексом ж. Тогда

$$p = p_{s} \beta + (1 - \beta) p_{s} \sim (1 - \beta) p_{s}, \quad (p_{s} \ll p_{s})$$
 (1.5)

причем в дальнейшем для общности удержано слагаемое р.в.

Предполагая, что в смеси движение гада происходит изотермично [1], а пузырьки имеют сферическую форму, можем написать

$$\rho_i R^3 = \text{const} \tag{1.6}$$

Соотношение между Р<sub>п</sub> и Р аналогично соотношению между давлением в изолированием пузырьке, пульсирующем в безграничной жидкости, и давлением ядили от него [1, 2]

$$p = p = p_a R \frac{d^a R}{dt} + \frac{3}{2} p_a \left(\frac{dR}{dt}\right) - \frac{4p_a}{R} \frac{dR}{dt}$$
 (1.7)

где в — динамический коэффициент визкости жидкости.

Отметим, что в правон части уравнения (17) оставлены члены, характеризующие малую дисперсию и диссипацию, связанные с размерами пуамрьков. Учет этих слагаемых в (1.7) существенен в окрестности стационарной волны, отделяющей в плане область одномерного течения от двухмерного, где они описывают структуру решения (см. п. 4).

Условие прилипания газовых пузырьков к жидкости записывается в форме

$$\frac{\beta p}{(1-\beta)\gamma_{A}} = \text{const} \tag{1.8}$$

Система исходных дифференциальных и алгебранческих уравнений замкнута (посемь уравнений с восемью неизвестными: u, v, = h, o, p, β, R).

Проведем осреднение уравнений (1.1)—(1.4) на основе допущений мелкой воды (22— мало, и, и, и и в по и меняются незначительно). Отметим, что в случае, когда в по глубине потока меняется значительно, как например, в работе [10] (применяется степенная форма изменения в от 2), то осреднить исходяме уравнения не удается. В этом случае течение строго пространственное и такое течение не может быть описано обыкновенным дифферейциальным уравнением [10, 13]

Согласно сделанным допущениям, из уравнения (13) получаем

$$p = p_0 + g_7(h - z)\cos v \tag{1.9}$$

где р — осредненное диачение р по глубине, а м — неличина данления на поперхности раздела. Оно не равно атмосферному, так как над аарированным потоком находится область воздухокапельного потока, и котором давление больше атмосферного. (В дальнейшем с целью упрощения записи черточку опускаем)

Подставляя полученное выражение (1.9) для давления в уравнение (1.1). (1.2) и проведя осреднение по глубине, получаем

$$u \frac{\partial u}{\partial x} + v \frac{\partial u}{\partial y} = \frac{g \cos v}{gh} \frac{\partial}{\partial x} \left(\frac{gh^2}{2}\right) + g \sin v - T_x \tag{1.10}$$

$$\frac{\partial u}{\partial x} + v \frac{\partial u}{\partial y} = \frac{\partial u}{\partial h} - \frac{\partial u}{\partial y} \left(\frac{\partial h}{\partial y}\right) - T \tag{1.11}$$

После осреднения уравнения неразрывности его можно переписать в

$$\frac{\partial (guh)}{\partial x} = \frac{\partial (gvh)}{\partial y} = 0 \tag{1.12}$$

Подставляя выражение р на (1.9) в (1.8) и проведя осреднение по 2, находим

$$p_{s} = p_{0} + 1/2 \qquad \cos y + m \tag{1.13}$$

$$= R \frac{d^4R}{dt} + 3/2 \gamma_a \left(\frac{dR}{dt}\right) - \frac{4\mu_a}{R} \frac{dR}{dt}.$$

2. В случае конечных возмущений для расчета параметров аэриропанного потока можно применить известный из газовой динамики метод характеристик. С втой целью исключим из уравнении диижения и перазрывности производные по р. Логарифмируя и дифференцируя соотношения (1.5) и (1.8), получаем

$$\frac{dp_{i}}{dp_{i}} = \frac{3[(1-3)\rho_{si} + o3]}{p_{i}}$$

Так как слагаемые, входящие в правую часть уравнения (1.7), малы, то  $dp_{\cdot} - dp = dm \simeq 0$ . Следовательно,

$$\frac{1}{c^{2}} = \frac{d\rho}{dp} = \frac{\beta \{(1-3)\rho_{+} + \rho_{r}\beta\}}{\rho_{0} + 1/2\rho_{R}h\cos\nu}$$
 (2.1)

гле с — скорость распространения звука в смеси,

По формулы (2.1) следует, что скорость звука в жидкости с пузырьками газа значительно меньше, чем скорость звука в чистом газе.

После проведения некоторых преобразований систему уравнений (1.10)—(1.12) можно переписать в следующей форме:

$$u\frac{\partial u}{\partial x} - v\frac{\partial u}{\partial y} = v\sin v - 1/2 g\cos v (1 + A)\frac{\partial L}{\partial x} - \frac{gh\cos v}{2\pi e^2} A\frac{\partial m}{\partial x} - T$$
 (2.2)

$$u\frac{\partial u}{\partial x} + u\frac{\partial v}{\partial y} = -12 g \cos v (1 - A) \frac{\partial h}{\partial y} - \frac{g h \cos v}{2 \phi c^*} A \frac{\partial m}{\partial y} = T_v \quad (2.3)$$

$$A\left(u\frac{\partial h}{\partial x} + v\frac{\partial h}{\partial y}\right) = h\left(\frac{\partial u}{\partial x} + \frac{\partial v}{\partial y}\right) + \frac{h}{vc^2}A\left(u\frac{\partial m}{\partial x} + v\frac{\partial m}{\partial y}\right) = 0 \quad (2.4)$$

rac

$$A = (1 - gh\cos \sqrt{2c^2})^{-1}$$

Получениме эринения (2.2)—(2.4) существенно отличаются от известных плановых уравнений движения однофазного потока, приведенных п [15], не только слагаемыми, содержащими релаксационные и диссипатиные члены, но и выражением А, характеризующим двухкомпонентность среды

Отметим, что при выводе уравнений характеристик и вообще всюду, кроме малой окрестности вышеотмеченной волны, слагаемым m, пходищим в выражение p, вследствие малости радиуса пурырьков (в равновесном состоянии  $R \simeq 10^{-4}$  см) можно пренебречь по сравнению с  $1/2 \gamma g h$  cosy и положить  $p \simeq p$ . Умножая уравнение (2.2) на u, а уравнение (2.3) на v и складывая, с использованием уравнения неразрывности (2.4) получаем

$$\left(1 - \frac{u^2}{gh\cos v} - \frac{gh\cos v}{4e^2}\right) \frac{\partial u}{\partial x} - \frac{uv}{gh\cos v} \left(\frac{\partial u}{\partial y} - \frac{\partial v}{\partial x}\right)$$

$$\left(1 - \frac{v^2}{gh\cos v} - \frac{gh\cos v}{4e^2}\right) \frac{\partial v}{\partial y} = -\frac{u}{h} \operatorname{tg} v \quad T = T. \quad (2.5)$$

Оболначим

$$a_1 = 1 - \frac{u^2}{gh\cos v} - \frac{gh\cos v}{4c^2} \qquad \frac{uv}{gh\cos v}$$

$$a_2 = 1 - \frac{v^2}{gh\cos v} - \frac{gh\cos v}{4c^2} \qquad a_3 = -\frac{u}{h} \operatorname{tg} \cdot V \cdot T$$

Тогда, вводя величниу вихря  $\frac{\partial u}{\partial x} = \frac{\partial u}{\partial y}$ , с учетом сделанных обозначений уравнение (2.5) можем переписать в следующей форме:

$$a_0 \frac{\partial u}{\partial x} : 2a_1 \frac{\partial u}{\partial y} \quad a_2 \frac{\partial v}{\partial y} \quad -a_1 + a_2 \tag{2.6}$$

Считал на каждом шагу о известным [15] и записывая соотношения

$$\frac{\partial u}{\partial x} + y' \frac{\partial u}{\partial y} = \frac{du}{dx}, \quad \frac{\partial u}{\partial y} + y' \frac{\partial v}{\partial y} = \frac{dv}{dx} - \infty$$

ваоль кривой у = y(x), можно получить урапнение характеристик

$$y' = \frac{1}{\mathsf{Fr}_a - 1} \left[ \frac{uv}{\mathsf{r}} \pm V \, \overline{\mathsf{Fr}_a - 1} \right] \tag{2.7}$$

гле  $F_{1a} = V^2/c_a^2$  эффективное число для смеси,  $c_a = \sqrt{gh\cos \gamma}$  .  $\times \sqrt{1-gh}(1-p_0/p)$  — скорость распространения слабых возмущений в смеси, а  $F_{1a_1} = u^2/c_1^2$ . Отметим, что скорость распространения слабых возмущений в смеси меньше, чем и однофазном бурном течении весжимаемой жидкости по наклонной плоскости.

Как видно из уравнения характеристик (2.7), для того, чтобы характеристики первого и второго семейства были действительными, необходипо простаточно выполнение условия

$$V > \sqrt{\frac{gh\cos v}{1 - \frac{gh\cos v}{4e^2}}} = c_v = V_{vv}$$
 (2.8)

Отметим, что критическая скорость аэрированного потока приблизинавно в 6.6 раз меньше скорости возникновения аэрации [11, 12].

Следовательно, в аэрированном потоке семейства характеристик всегда пастантельны.

Уражиение совместности вдоль характеристик записывается в форме

$$\frac{du}{dx} - y = \frac{dv}{dx} = \mp \sqrt{\frac{Fr_a - 1}{Fr_{a_1} - 1}} = \pm \frac{a_3}{a_0}$$
 (2.9)

Для вычисления параметров течения по характеристикам выведем уравнение для изменения полного гидростатического напора аэрированноно потока. С этой целью перепишем уравнение движения в следующей форме:

$$\frac{\partial}{\partial x} \left( \frac{V^2}{2} - gx \sin y \right) + 1/2 g \cos y (1 + A) \frac{\partial h}{\partial x} = v\omega - T,$$

$$\frac{\partial}{\partial y} \left( \frac{V^2}{2} - gx \sin y \right) + 1/2 g \cos y (1 + A) \frac{\partial h}{\partial y} = -u\omega - T_y$$

Умножая первое уравнение на dx, а второс — на dy и складывая, получаем

$$d\left(\frac{\pi}{2}-gx\sin\nu\right)+1/2\,g\cos\nu(1+A)\,dh=-\frac{\pi}{2h}\,dW-T\cdot ds$$

гле  $\Psi$  — функция тока  $\left(u=1\right)$ л  $\frac{\partial\Psi}{\partial y}$ ,  $v=-1/\rho h \frac{\partial\Psi}{\partial x}\right)$ . T — вектор сил

трения  $\left(T=\lambda\,rac{v\cdot V}{2h}
ight)$  в квадратичной области сопротивления,  $\iota$  — коэф-

фициент Шези, ds — вектор вдоль касательной к линии тока (ds = |dx, dy).

Как следует из выражения (2.1) и (2.4),  $A = A(n, \beta)$ . Но легко показать, что  $\beta = \beta(n)$ . Следовательно, A = A(h), то есть смесь несжимаемой жидкости с газовыми пузырьками является баротропной. Таким образом, левая часть уравнения изменения гидродинамического напора является полным дифференциалом, то есть

$$dH = -\frac{m}{sh} d^{3}l^{2} - T \cdot ds \qquad (2.10)$$

где

$$H = \frac{V^{2}}{2g} - x \sin y + 1/2h \cos y \left[ 1 + 1/h \right] A(h) dh$$
 (2.11)

полный гидродинамический напор для аэрированного потока.

Вдоль линии тока уравнение (2.10) запишется в форме

$$dH = -T ds (2.12)$$

Таким образом, задача расчета параметров аэрированного потока при конечных позмущениях сводится к интегрированию системы обыкновенных дифференциальных уравнений (2.7), (2.9), (2.10), (2.11), (2.12), которое можно реализовать только численно, определяя на каждом шагу сначала напор 11 на (2.12), а затем х, у, ю, и, v, h соответственно из (2.12), (2.10), (2.9) и (2.11).

Изложенный метол карактеристик отличается от стандартного метода, известного в газовой динамике, тем, что задача интегрирования с тремя семействами характеристик сведена к задаче интегрирования с двумя семействами характеристик. Следует еще отметить, что полученные уравнения характеристик отличаются от известных в газовой динамике уравнений характеристик не только из-за двухфазности среды, но и из-за несостоятельности ГГА (см. п. 3).

3. Выведем из плановых уравнении движения и неразрывности (2.2) (2.4) нелинейное дифференциальное уравнение в частных производных, описывающее нелинейный процесс распространения стационарных возмущений в узкой области, охватывающей окрестность стационарной волны  $y = y_o(x)$ 

$$(y_0(x) = (\operatorname{Fr}_{a_{(0)}} - 1)^{-10}$$
  $\operatorname{Fr}_{a_{(0)}} = \frac{a_{(0)}}{gh_{(0)}\cos y} \frac{2A_{(0)}}{1 + A_{(0)}}$  число Фруда в одномерном аэрированном потоке).

Вводя лучевую переменную  $\varsigma = y - y(x)$  и переходя в уравнениях (2.2)—(2.4) от декартовых координат x, y к координатам x. Получаем

$$u\left(\frac{\partial u}{\partial x} - u \frac{\partial u}{\partial \xi}\right) + v \frac{\partial u}{\partial \xi} = a \sin v - 1/2 g \cos v (1 + A) \left(\frac{\partial h}{\partial x} - y_0 \frac{\partial h}{\partial \xi}\right) + u \frac{uh \cos v}{2c} A \frac{\partial m}{\partial \xi} - T$$

$$u\left(\frac{\partial u}{\partial x} - y_0 \frac{\partial v}{\partial \xi}\right) - v \frac{\partial v}{\partial \xi} = -1/2 g \cos v (1 + A) \frac{\partial h}{\partial \xi} - \frac{gh \cos v}{2(c^2)} A \frac{\partial m}{\partial \xi} - A$$

$$A\left[u\left(\frac{\partial h}{\partial x} - y_0 \frac{\partial h}{\partial \xi}\right) + v \frac{\partial h}{\partial \xi}\right] + h\left(\frac{\partial u}{\partial x} - y_0 \frac{\partial u}{\partial \xi} + \frac{\partial v}{\partial \xi}\right) + \frac{h}{A}\left(-y_0 \frac{mm}{2c} + \frac{mm}{2c}\right) = 0$$

Тах ках в окрестности динейной характеристики  $y=y_*(x)$  течение мало отдичается от одномерного, то решилие этих уравнении можем искать в форме

$$u = u_{i,01} + u, \qquad v = v, \qquad (3.1)$$

гле u, v, h — возмущенные значения u, v, h (малые добавки и необязательно. Чтобы все имели одинаковый порядок малости), а индексом (0) (как и имке) обозначены значения рассматриваемых параметров в одномерном движении.

Подставляя выражения u, v, h из (3.1) в преобразованные уравнения выплания и меразрывности, отбрасывая в первых двух из полученных уравнения члены  $u\dot{o}u/cx$ ,  $u\dot{o}v/\dot{o}x$ , а в третьем — члены

$$A_{(0)} \overline{u} \frac{\partial h}{\partial x}, \qquad A \frac{\partial h}{\partial x}, \qquad \overline{A} \overline{u} \frac{\partial h}{\partial x}, \qquad A u \frac{\partial h_{(0)}}{\partial x}$$

$$A_{0} \overline{u} \overline{v} \frac{\partial h}{\partial x} \qquad \overline{A} \overline{u} \overline{v} \frac{\partial h}{\partial x}$$

п приравнивал и них члены периого порядка малости о(и), с учетом уравпений одномерного движения получаем уравнение периого приближения (пеледствие их громоздкости эти уравнения не приводятся).

Уравиения движения одномерного движения в рассматриваемом случас вмеют вид

$$u_{(6)} \frac{du_{(6)}}{dx} = \gamma \sin \gamma - 1 \cdot 2 \cdot g \cos \gamma \cdot (1 + A_{(6)}) \frac{dh_{(6)}}{dx} = T_{x_{(6)}}$$
 (3.2)

$$A_{(0)}u_{(0)}\frac{dh_{(-)}}{dx} = h_{(0)}\frac{\partial u_{(0)}}{dx} = 0$$
 (3.3)

которые при отсутствии пузырьков ( $\beta=0,\ A_{(0)}=1$ ) сводятся к известному уравнению гидравлики одномерного движения.

Приравнивая в уравнениях первого приближения члены, содержащие производные  $\frac{\partial u}{\partial \xi}$ ,  $\frac{\partial v}{\partial \xi}$ ,  $\frac{\partial h}{\partial \xi}$  липейно, и интегрируя выписанные уравнения, получим алгебраические соотношения, из которых находим условия совместности

$$h = -2 \frac{u_{(0)}}{g \cos v} \frac{1}{1 + A_{(0)}} u, \qquad v = -\frac{u}{u_0}$$
 (3.4)

(Третье соотношение тождественно выполняется, так как опо двет уравнение линейной характеристики).

Заменяя в членах уравнений первого приближения, содержащих производные по х от h, v, а также в нелинейных членах h, v выражением (3.4), с использованием уравнений нулевого приближения находим

$$\frac{\partial \overline{u}}{\partial x} + \frac{\operatorname{Fr}_{u_{(0)}}^{2}}{2 \left(\operatorname{Fr}_{a_{(0)}} - 1\right)} \left(2 + 1/A_{0}\right) \left[1 + \frac{1 - 2p_{v}/p_{r_{(0)}}A_{(0)}}{c_{(0)}\left(2 + 1/A_{(0)}\right)\left(1 + 1/A_{(0)}\right)^{v}} \times \frac{\sqrt{\operatorname{Fr}_{a_{(0)}} - 1}}{\operatorname{Fr}_{a_{(0)}}^{2}} \left[\frac{u}{u_{(0)}} \frac{\partial u}{\partial z}\right] + \frac{1}{2\left(\operatorname{Fr}_{a_{(0)}} - 1\right)} \left[\frac{(4 + 3/A_{(0)})\operatorname{Fr}_{a_{(0)}} + 2}{(1 + 1/A_{(0)})\left(\operatorname{Fr}_{a_{(0)}} - 1\right)} \frac{1}{h_{(0)}} + \frac{1}{2}\left(\frac{3.5}{1}\right)\right]$$

$$+\frac{\operatorname{Fr}_{a_{(0)}}}{2A_{(0)}}\frac{d\ln\left(1+A_{(0)}\right)}{dx}-\frac{gh_{(0)}\cos^{3}}{2c_{0}^{2}}\operatorname{Fr}_{a_{(0)}}\left(\frac{1}{(1+A_{0})\sqrt{\operatorname{Fr}_{a_{(0)}}-1}}-A_{(0)}\right)\times$$

$$\times (1 - 2p_r/p_{r(0)}A_{(0)}) \frac{d \ln u_{(0)}}{dx} = \frac{3}{4} \frac{A_{(0)} u_{(0)}}{c_{(0)}^7 (1 + 1/A_{(0)}) p_{r(0)}} \frac{1}{(Fr_{a_{(0)}} - 1)^{1/2}} \times$$

$$\times \left(c_{*,(0)} - y_0/A_{(0)} \operatorname{Fr}_{a_{(0)}} + 2y_0A_{(0)}u_{(0)}^2\right) \left(\rho_n u_0 y_0 \sigma^2 u/\sigma^2 - 4\mu_n/R_0 \frac{\sigma^2 u}{\sigma_n^{22}}\right)$$

Если в уравнении (3.5) отбросить правую часть, то его решение запишется в виде

$$\bar{u} = f(\bar{z}) \exp\left\{-\int_{0}^{z} R(t) dt\right\}$$
 (3.6)

$$\bar{\varepsilon} = f(\zeta) \int_{x_{\text{op}}}^{\zeta} \frac{C}{\alpha_{\text{op}}} \exp\left\{-\int_{0}^{\zeta} R(t) dt\right\} + \zeta$$
 (3.7)

гле через Я и С соответственно обозначены коэффициенты при и и иди/ог

Полученное решение уравнения коротких воли (3.5) позволяет исследовать позникновение, развитие и затухание косых прыжков в зависимости от форм боковых очертаний рассматриваемого участка [17], то есть структуру порированного потока в окрестности динейной характеристики

$$g = b_b - \int \frac{dt}{V \operatorname{Fr}_{a_{(0)}} - 1}$$

4. Перепишем ураниение (3.5) в следующей форме:

$$\frac{\partial u}{\partial x} + R \overline{u} \frac{\partial u}{\partial \xi} + C \overline{u} = E \frac{\partial^3 u}{\partial x^2} + F \frac{\partial u}{\partial \xi^2}$$
 (4.1)

ясрез Е и <sup>F</sup> — соответственно обозначены коэффициситы при

После замены в (4.1) u через U по формуле  $u = e^{-i\pi t} U$  уравне-

$$\frac{\partial U}{\partial x} + Re^{-Cx}U\frac{\partial U}{\partial \xi} = E\frac{\partial^2 U}{\partial \xi^2} + F\frac{\partial^2 U}{\partial \xi^2}$$
 (4.2)

Решение (4.2) ищем в форме разложения монохроматических воли

$$U = U_1 e^{-t + \alpha x} + U_2 e^{2t + 2\alpha x} + U_2 e^{-2t^2 + 2\alpha x} + U_0$$
 (4.3)

гле  $U_1$ ,  $U_2$ ,  $U_3$  — комплексно-сопряженные амплитуды,  $\tau$  — основной разонал,  $\tau$  о — характеристика затухания, которая подлежит определению. В разложения (4.3) все функции, кроме айконала, предполагаются медленаменной метора функциями.

Обозначим  $\alpha = \partial \tau / \partial x$ ,  $\beta = \sigma = \sigma y$ .

Вычисляя производные U по  $\xi$  и x, подставляя их выражения в (4.2) в приравнивая в полученном уравнении члены при  $e^{at}$  ,  $e^{at}$  и свободные члены, соответственно получаем

$$\frac{U_1}{\sigma_X} + (i\alpha + \sigma + iE\beta^3 + F\beta^2) U_1 + Re^{-Cx} i (U_1^* U_2 e^{2\sigma x} + U_0 U_1) \beta +$$

$$+ (3E\beta - 2iF) \frac{U_1}{\sigma_X} - (3iE\beta + F) \frac{U_2}{\sigma_X} = 0$$
(4.4)

$$(2ia + 2a + 8Ei3^{3} + 4F\beta^{2}) U_{2} + iRe^{-Cx}U_{1}^{2}\beta = 0$$
 (4.5)

$$\frac{\partial U_0}{\partial x} + Re^{-Cx} \left( U_0 \frac{\partial U_0}{\partial z} + \frac{\partial}{\partial z} |U_1|^2 e^{2\alpha t} \right) = E \frac{\partial^3 U_0}{\partial z^3} - F \frac{\partial^2 U_0}{\partial z^2}$$
(4.6)

В уравнении (4.4) приравнивая нулю коэффициент при  $U_1$ , получаем дисперсионное соотношение

$$iz + z + iE\beta^3 + F\beta^2 = 0$$

отсюда  $z=-E_{\mathbb{P}^3}, z=-F\mathfrak{g}$  .

Подставляя выражения  $\alpha$  и  $\sigma$  в (4.5), получаем уравнение для выражения  $U_1$  через  $U_1$ 

$$2(3iE8 - F) = U_{-} - k_{1}e^{-C_{3}}U_{1}^{2}\beta \tag{4.7}$$

Предполагая, что в (4,6) дисперсионные и диссипативные члены ма-

$$\frac{\partial U_0}{\partial x} = -Re^{-C_0 + 2\pi \epsilon} \frac{\partial}{\partial z} |U_z|^2 \tag{4.8}$$

Следуя Уизему [18], прправниваем в (4.4) первые производные, так как по порядку каждый из них больше производной второго порядка, но их сумма того же порядка

$$\frac{\partial U_1}{\partial x} - (3E\beta - 2iF)\beta \frac{\partial U_1}{\partial \xi} = 0, \text{ otchas } \frac{\partial}{\partial x} = (-3E\beta - 2iF)\beta \frac{\partial}{\partial \xi}$$
 (4.9)

Считая [18], что  $U_a$  связано с основным волновым движением таким же соотношением, с использованием (4.8) получаем

$$U = \frac{Re^{-Cx - 2\pi x} \|U_1\|^2}{(3E\beta - 2iF)^2}$$
 (4.10)

Подставляя выражения  $U_{\bullet}$  и  $U_{\circ}$  соответственно из (4.7) и (4.10) в (4.4), окончательно получаем уравнение модуляций для комплексной амплитуды  $U_{\bullet}$ 

$$\frac{\partial U}{\partial x} + (3E\beta - 2iF)\beta \frac{\partial U_1}{\partial z} - (3iE\beta + F) \frac{\partial U_1}{\partial z^3} - \frac{\partial E}{\partial z^2} e^{-2(C + z)} \left[ (4 - i) + 3(1 - 2i) E^2 \right] |U_1|^2 = 0$$
(4.11)

Отметим, что на быстротоках подобные полны образуются из-за наличия дисперсии или на некотором расстоянии от яходного сечения. или всюду — при наличии волиистой стенки.

Институт механики АН Арминской ССР

НИИ водных проблем и гидротехники Арминской ССР

Поступная 16 VII 1979

## ԱԷՐԱՑՎԱԾ ՀՈՍԱՆՔԻ ՈՒՍՈՒՄՆԱՍԻՐՈՒԹՅՈՒՆԸ ՐԱՑ ՋՐԱՀՈՍԱՆՔԻ ՎՐԱ

## lk of the new teacher of

ատացված են գրի և դադի լուծույքի համար պլանային շարժման ավա տրովձերը։ Դուրս են բերված կարճ ալիթների ավասարումը։ Ցույց Լ որ ստացիոն<mark>ար ա</mark>էրացված հոսանթի ալիբային շարժումը ժիշտ կաև

# THE INVESTIGATION OF AERATION FLOW IN THE OPEN CANAL

### A. G. BAGDOEV, G. S. BESIRGENIAN

## Summary

The problem of propagation of nonlinear waves on the surface of steady accation flow with small depth is considered. In the assumption of uniform distribution of concentration in flow depth for homogenous gas-floid mixture the plane equations of motions are derived.

The equations of characteristics are obtained and a numerical method for solution of the equations is suggested. The equations of short waves, describing the nonlinear process of propagation of weak disturbances in the neighbourhood of a linear wave is derived.

It is shown that in steady aeration flow the wave motion is always stable.

#### **АНТЕРАТУРА**

- I. А. Век Вейгарден. Одномерные течения жидкостей с пузырыками газа. Реология
  сусмензий. М., изд. «Мир», 1975.
- 2 Вичелор Г. К. Волны сжатия в суспензии газовых пунырьков в жидкости. Мехашил. с6, пер. ин. статен, 1968, № 3.
- 3. Комрко Б. С. Движение смеси жидкогти с газовыми пузырыками Тр. международного симпозиума в Лепинграде, М., изд. -Наука», 1973.
- 4. Селов Л. И. Механика сплошной среды, т. 1, 2, М., изд. «Наука», 1970.
- Разматулин Х. А. Основы голодинамики взаимопропикающих движении сжимаемых сред. ПММ, 1956, т. 20, № 2.
- 6 Нигистулин Р. И. Основы механики гетерогенных сред М., изд. «Наука», 1978.
- 7. Баренблатт Г. И. О движении взяещенных частин в турбулентном потоже. ПММ 1953, т. XVII, вып. 3.
- Башлея А. Г. Пространственные нестационарные движения сплошной среды с ударными волнами. Ереван, изд. АП АрмССР, 1961.
- 9. Нерденский С. В., Куликовский А. Г. О движения жидкости, содержащей мелкие чистицы. Иас. АН СССР, Механика жидкости и газа, 1977, № 4.
- 10. Воинич-Сяноменикии Т. Г. Некоторые вопросы устойчивости потоков и их свободвой поверхности при течении с большими скоростями. Тр. координационных совещаний по гидротехнике, 1963, имп. VII.

- Войнич-Сяноженцкий Т Г О критериальном условии позниклювения аэрации плавно изменяющихся бурных потоков. Гр. 1 Закавказской конференции молодых научных специалистов. Ереван, 1960.
- 12. Войнич-Сяноженцкий Т. Г., Сакварелидве В. В. Критерии аврации плавноизменяющихся бурных потоков и их экспериментальная пронерка. Плавноизменяющееся исравномерное доижение аэрированных потоков. Тр. координационных совещании по гидротехнике. 1969, вып. 52.
- Картаслишвили Н. А. Волнообразование на быстротоких. Изв. АН СССР. ОТН. 1955. № 1.
- Рекомендации по гидравлическому расчету водопропускных трактов безнапорных водосбросов на аэрацию и полнообразование, под ред. Гунько Ф. Г. Исаченко Н. Б., А., ВНИИГ, 1978.
- 15. Емиев Б. Г. Диухмерные бурные потоки. М., над. «Энергия», 1961.
- Лайтхила М. Дж Высшие приближения. Сб. «Общая теория зародинамики больших своростей», М., 1962.
- Баглова Л. Г., Белиргенян Г. С. Исследование сверхкритического течения в открытом водоводе конфузорной формы с произвольным продольным уклоном. Изв. АН АрмССР, Механика, 1975, т. XXVIII, № 2.
- 18. У изем Дж. Б. Аннейные и пелинейные полны. М., «Мир», 1977.

Distilla-

### Ф. М. ПОЛАДЯН

# **КРУЧЕНИЕ КРИВОЙ РАЗНОСТЕННОЙ ТРУБЫ**ПРИ НЕЛИНЕЙНОЙ ПОЛЗУЧЕСТИ

Рисматривается задача о кручении круговой разностенной грубы, матернах исторой обладает свойством нелинейной паследственной ползучест [1].

Пусть польй стержень с круговой осью и постоянным полеречным сечением изходится под воздействием перерезывающих сил P и крутищих номентов PR (R — радиус оси стержия), приложенных на ториевых сечения (фиг. 1)

Решение такой задачи для упрочияющегося материала приведено в работах [2, 3]. Задача о кручении тонкостенных призматических стержней с учетом пелинейной ползучести исследована в [4].

§ 1. Основные уравнения задачи. Принимаем, что для материала стержив справедливы соотношения нелинейно-наследственной теории ползучести Н. X. Арутюняна [1]

$$2 G_{ij} = \mathbf{s}_{ij} - \int_{\mathbb{R}^{3}} \mathbf{s}_{ij} f(z_{0}) K(t, z) dz$$
 (1.1)

тде G=E,3, а E принимается постоянным, s. s. s. — символ Кровекера, s — среднее давление,  $f(s_0)$  — некоторая функция, характерызующая нелинейную записимость между напряжениями и деформацилин ползучести для данного материала.  $s_0$  — интенсивность касательных напряжений, K(t,s)=3G — G — G — G — мера подзучести при одноосном напряженном состоянии.

Воспользуемся торондальными ксординатами z,  $\theta$ ,  $x = p\cos \gamma$ ,  $y = \sin \gamma$ ,  $z = H \sin \rho$ , где  $\rho = a \sin x (\cosh x - \cos \theta)^{-1}$ ,  $H = a \times x (\cosh x - \cos \theta)^{-1}$ ; здесь  $0 \le x \le 1 = x \le 0$  (фиг. 2). Для компонентов деформации будем иметь [5]

$$2s_{\alpha} = \frac{\partial}{\partial \beta} \left( \frac{u_{\alpha}}{H} \right) + \frac{\partial}{\partial \alpha} \left( \frac{u_{\alpha}}{H} \right), \quad 2s_{\alpha\gamma} = \frac{\partial}{\partial \gamma} \left( \frac{u_{\alpha}}{H} \right) + \frac{\partial}{\partial \beta} \left( \frac{u_{\alpha}}{H} \right) \Big|_{C}$$

$$s_{\alpha\gamma} = \frac{\partial}{\partial \alpha} \left( \frac{u_{\alpha}}{H} \right) + \frac{1}{H^{2}} \left( \frac{\partial H}{\partial \alpha} u_{\alpha} + \frac{\partial H}{\partial \beta} u_{\beta} \right) \Big|_{C}$$

$$s_{\gamma\gamma} = \frac{1}{\sigma} \frac{\partial u_{\gamma}}{\partial \gamma} + \frac{1}{H^{2}} \left( \frac{\partial \gamma}{\partial \beta} u_{\gamma} + \frac{\partial \gamma}{\partial \beta} u_{\beta} \right)$$

$$(1.2)$$

Положим, что все компоненты напряжения, за исключением  $z_{\text{от}}$  и за любой момент времени t равны нулю, тогда из уравнений равновесия остается [5]

$$\frac{\partial}{\partial a} \left( H \rho^2 \sigma_{a\uparrow} \right) + \frac{\partial}{\partial b} \left( H \rho^2 \sigma_{b\uparrow} \right) = 0 \tag{1.3}$$

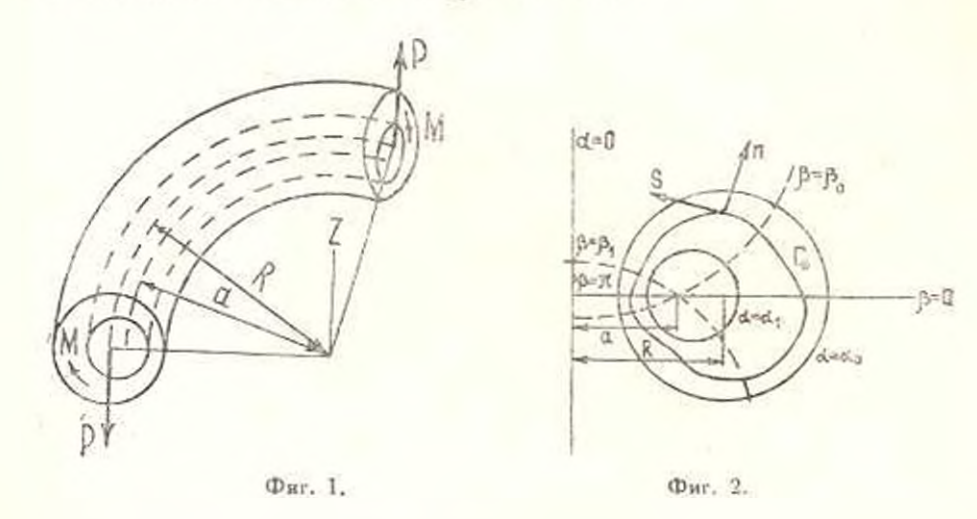
а на остальных следует, что напряженное состояние стержня не зависит от у, следовательно, тензор деформации также не зависит от у. Перемещения из (1.2) представим в виде

$$u_{\bullet} = u_{\bullet 0} + \int F_{\alpha} d_{1}^{\alpha} \bigg|_{(a,\beta)}, \quad F_{\alpha} = 2\rho \varepsilon_{\bullet 1} - \frac{\rho^{2}}{H} \frac{\partial}{\partial \alpha} \left(\frac{u_{1}}{\rho}\right) \bigg|_{(a,\beta)}$$

$$u_{1} = u_{10} + \int \left(\rho \varepsilon_{11} - \frac{1}{H} \frac{\partial \rho}{\partial \alpha} u_{\alpha} - \frac{1}{H} \frac{\partial \rho}{\partial \beta} u_{\beta}\right) d_{1}^{\alpha}$$

$$(1.4)$$

где  $u_{*0}$ ,  $u_{50}$ ,  $u_{70}$  — произвольные функции a,  $\beta$  и t.



Подставляя (1.4) в (1.2) и учитывая указанное обстоятельство, по-

$$\varepsilon_{\alpha\alpha} = \frac{1}{H} \frac{\partial u_{\alpha\beta}}{\partial \alpha} + \frac{1}{H^2} \frac{\partial H}{\partial \beta} u_{\beta\alpha} \Big|_{\{u,\beta\}}, \qquad 2\varepsilon_{\alpha\beta} = \frac{\partial}{\partial \alpha} \left( \frac{u_{\beta0}}{H} \right) + \frac{\partial}{\partial \beta} \left( \frac{u_{\alpha\beta}}{H} \right) \quad (1.5)$$

а относительно  $F_{\epsilon}$ ,  $F_{\beta}$  приходим к системе трех дифференциальных уравнений, решением которой будет

$$F_{0} = (D_{0} - D_{1}z) \frac{1}{H} \frac{\partial p}{\partial z} + (D - D_{1}r) \frac{1}{H} \frac{\partial z}{\partial z} \Big|_{\{0, \frac{\pi}{2}\}}$$
(1.6)

гле  $D_0$ ,  $D_3$ , D — произвольные функции от t.

Исключая из (1.4)  $u_{\rm f}$  и используя (1.6), получаем уравнение совместности деформаций

$$\frac{\partial}{\partial \alpha} \left( \frac{H}{\rho} s_{\beta \gamma} \right) - \frac{\partial}{\partial \beta} \left( \frac{H}{\rho} s_{\alpha \gamma} \right) = D \frac{H^2}{\rho^4}$$
(1.7)

Полагая в (1.5) равными нулю все компоненты деформации, кроме и получаем систему относительно ито, и решением которой будет

$$u_{20} = -\frac{N_{\bullet}}{H} \frac{\partial \varphi}{\partial x} - \frac{N_{\bullet}}{H} \frac{\partial z}{\partial z}$$
 (1.8)

13-

$$N_1 = \frac{A}{4} (p^2 - z^2) + \frac{B}{2} z z + \frac{C_1}{2} z - E_1 z$$

$$N_2 = \frac{A}{2} (z - \frac{B}{4} (p^2 - z^2)) + \frac{C_1}{2} z - E_2 z$$

ваесь  $A, B_i, C_i, E_i$  — произвольные функции от t

После подстановки (1.6) и (1.8) в (1.4) получаем выражения для перемещений  $u_{x_1}$   $u_{y_1}$   $u_{y_2}$ .

Вводя функцию папряжений

$$\sigma_{e_1} = -\frac{1}{H e^2} \frac{\partial \Phi}{\partial \theta}, \quad \sigma_H = \frac{1}{H e^2} \frac{\partial \Phi}{\partial \sigma}$$
 (1.9)

от (1.1) и (1.7) приходим к основному уравнению задачи

$$\frac{\partial}{\partial z} \left( \frac{1}{\rho^{3}} \frac{\partial \Phi}{\partial z} \right) + \frac{\partial}{\partial \beta} \left( \frac{1}{\rho^{3}} \frac{\partial \Phi}{\partial \beta} \right) -$$

$$- \int_{z}^{4} \left\{ \frac{\partial}{\partial z} \left[ \frac{f(z_{0})}{\rho^{3}} \frac{\partial \Phi}{\partial x} \right] + \frac{\partial}{\partial \beta} \left[ \frac{f(z_{0})}{\rho^{3}} \frac{\partial \Phi}{\partial \beta} \right] \right\} K(t, z) dz = DG \frac{H^{2}}{\rho^{3}} (1.10)$$

File

$$\sigma_0 = \frac{1}{H \rho^2} \sqrt{\left(\frac{\partial \Phi}{\partial \alpha}\right)^2 + \left(\frac{\partial \Phi}{\partial \beta}\right)^2}$$
(1.11)

Таким образом, задача приводится к определению функций Ф (с. р. t) из нелинейного интегро-дифферсициального уравнения (1.10) при граничных условиях

$$\Phi(\mathbf{a}_0, \, \mathbf{P}, \, t) = 0, \quad \Phi(\mathbf{a}_1, \, \mathbf{P}, \, t) = b(t)$$
 (1.12)

**где** b(t)—нензвестная функция t, а  $z = z_0$ ,  $z = a_1$  соответствуют линиям **висшнего** и внутреннего контура (фиг. 2).

Крутящий момент выражается формулой

$$M = \int_{\mathbb{R}_{0}} \{(p - R) = -1\}$$
 (1.13)

$$d\Omega = H^2 dz d\beta = d_1^* dz$$

Переходи от 3<sub>01</sub>, то к 3<sub>51</sub>, то и подставляя п (1.13), после применения формулы Грина-Остроградского получим

$$M = - \oint \Phi d \left( \frac{z}{z} \right) - R \oint \frac{\Phi}{z} dz + 2R \iint \frac{dz}{z} dz$$

Принимая Ф = 0 на внешном контуре, для двухскизной области получим

$$M = -R\Phi_1(t) \oint_{r_1} - +2R \int_{r_2} \sqrt{-}$$
 (1.14)

где  $\Phi_1(t)$  — значение  $\Phi$  на контуре  $\Gamma_0$ 

§ 2. Обобщение теоремы Бредта. Пусть Г, замкнутая кривая, целиком лежащая в поперечном сечении скручиваемого стержня. Область, ограниченную контуром Г, обозначим через (фиг. 2). Интегрируя обе части уравнения (1.10) в области и переходя к контурному интегралу, получим

$$\int_{\Gamma_n} \frac{1}{\rho^3} \left\{ \frac{\partial \Phi}{\partial n} - \int_{\Gamma_n} (t_n) \frac{\partial \Phi}{\partial n} K(t_n) d\tau \right\} ds = \frac{DG}{2} \int_{\Gamma_n} \frac{dz}{z^2}$$
 (2.1)

где п направление внешней нормали к контуру  $\Gamma_*$ , а s — дуга этого контура. Формула (2.1) представляет собой обобщение теоремы Бредта о циркуляции деформации сдвигов при кручении стержия с кривой оські при произвольном законе нелинейной связи между деформациями полнучести и напряжениями.

§ 3. Решение интегро-дифференциального уравнения (1.10). Положим, что

$$f(\sigma_0) = 1 + \lambda \sigma_0^2 \tag{3.1}$$

где A—физический параметр, характеризующий нелинейный закон ползучести. Решение уравнения (1.10) ищем в виде ряда

$$\Phi\left(\mathbf{x},\ \boldsymbol{\beta},\ t\right) = \sum_{n=0}^{\infty} \lambda^{n} \Phi_{n}\left(\boldsymbol{\alpha},\ \boldsymbol{\beta},\ t\right) \tag{3.2}$$

где  $\Phi_o$  соотпетствует случаю линейно-упругого материала. Подставляя (3.2) в (1.10) и (1.11), приходим к системе рекуррентимх дифференциальных уравнений

$$\frac{\partial^2 \Phi_n}{\partial \alpha^2} - \frac{\partial^2 \Phi_n}{\partial \beta^2} = \frac{3}{\rho} \frac{\partial \rho}{\partial \alpha} \frac{\partial \Phi_n}{\partial \alpha} - \frac{3}{\rho} \frac{\partial \rho}{\partial \beta} \frac{\partial \Phi_n}{\partial \beta} = i \hat{\tau} \hat{\tau} \hat{\tau}$$

$$(n = 0, 1, 2, ...)$$

$$g_{\theta}(t) = GD(t) + \int_{t}^{t} D(t) R(t, t) dt$$
 (3.4)

и 🛊 (x, f, t) при п 🧎 1 определяются соотяющениями

$$\varphi_{\epsilon}(\mathbf{a}, \beta, t) = \sum_{k} \int \mathcal{N}(t, z) \left( \mathbf{m}_{k} = \sum_{l=k} -\operatorname{qrad} \Phi_{k} \operatorname{qrad} \mathbf{m}_{n-1-k} \right) dz \qquad (3.5)$$

FAC

$$N(t, z) = K(t, z) + R(t, z) dz$$
 (3.6)

 $AR(t, \tau)$  — резольнента ядра  $K(t, \tau)$ . Если

$$C(t, z) = \gamma(z)[1 - z] \tag{3.8}$$

100

$$R(t, \tau) = \tau_0 - \eta'(\tau) + |\eta''(\tau) - \eta'^2(\tau) - \tau_0 \eta'(\tau)|e^{-\tau_0 t} dx$$
 (3.9)

rge

$$\tau_i(t) = \tau_0 \int_0^t [1 - 3G\varphi(\tau)] d\tau$$

**причем, согласно** [1]  $x(:): C_0 + A_1 = 1$ , гле  $C_0$ ,  $A_1$  и  $C_0$  некоторые **постоянные, хврактеризующие** свойство ползучести материала.

Вводя новую функцию Ч, (с. 8, 1) при помощи подставовки

$$\Phi_{\alpha}(\alpha, \beta, t) = (\cosh \alpha - \cos \beta)^{-12} \sinh^2 2 \Psi_{\alpha}(\alpha, \beta, t)$$

из (3.3) получим уравнение с разделяющимися переменными

$$\frac{\partial a^{2}}{\partial a^{2}} + \frac{\partial b^{2}}{\partial \beta^{2}} + cth = \frac{4}{sh^{2} \pi}$$

$$= \frac{H^{2} (ch_{2} - cos_{p})^{1/2}}{sh^{2} \pi} = (3.10)$$

Из (1.12) получим  $\Psi_n(a_0, p, t) = 0$  на внешней окружности, а на внутренней  $\Psi_n(a_1, p, t) = b_n (\cosh a_1 - \cos p)^{3/2} \sinh^{-1} a_1$ , где  $b_0 = b(t)$ ,  $b_1^1 = b_2 = a_1 = 0$ .

Введем функцию

$$Z_n^m(z, \beta) = P_n^m(\cosh z) Q_n^m(\cosh 3) - P_n^m(\cosh 3) Q_n^m(\cosh 3)$$

где  $P_n^m(x)$  и  $Q_n^m(x)$  — присоединенные сферические функции соотнетственно первого и иторого рода m-го порядка n-го индекса.

Решая урапнения (3.10), удовлетворяющие указанным выше условиям и переходя к  $\Phi_a$  ( $\alpha$ ,  $\beta$ , t), получим

$$\Phi_{\alpha}(x, \beta, t) = \frac{-\frac{1}{2\pi \sinh^2 x}}{2\pi \sinh^2 x} \frac{\sinh^2 x}{(\cosh x - \cos \beta)^{36}} \int (\cosh x_1 - \cos x) L(x, \beta; t) d\eta^{-1}$$

$$= \frac{\sinh^2 x}{2\pi \left(\cosh x - \cos x\right)} \left( \left(-\frac{\eta}{2}, t\right) \left(\cosh x - \cos x\right)^{3/2} \Gamma\left(x, -\frac{\eta}{2}, \eta\right) d^2 \right)$$
(3.11)

где

$$L(z, \beta; t_i) = \frac{Z_{-1/2}(z_{j_1}, z_{j_1})}{Z_{-1/2}(z_{j_1}, z_{j_1})} + 2\sum_{n=1}^{\infty} \frac{Z_{-1/2}(z_{j_1}, z_{j_1})}{Z_{-1/2}(z_{j_1}, z_{j_1})} \cos n(\beta - t_i)$$

а  $\Gamma(z, \theta; = \tau_i) = \phi$ ункция Грина для данной задачи, причем  $\Gamma(\alpha, \rho; = \gamma)$  —  $\tau$ ) при  $\varsigma \ll \alpha$ , где

$$B(-3; 1, \gamma) = \frac{10}{n} \frac{Z_{-1/2}^2(1, z_0)}{Z_{-1/2}^2(1, z_0)} \frac{Z_{-1/2}(z_0, z_1)}{Z_{-1/2}^2(z_0, z_1)} +$$

$$-2 \sum_{n=1}^{\infty} \frac{Z_{n-1/2}(1, z_0)}{(n^2 - 2/4)(n^2 - 1/4)} \frac{Z_{n-1/2}^2(z_0, z_1)}{Z_{n-1/2}^2(z_0, z_1)} \cos n (3 - \epsilon)$$

$$= 11 \Gamma(z_1, z_1, z_2) = B(-z_1; z_1, z_2) \text{ upg. } z \leq \epsilon$$

§ 4. Определение функции b(t). Для определения функции b(t) воспользуемся обобщенной теоремой Бредта (2.1), которая в данном случае принимает следующий пид:

$$\left(\frac{1}{a^3}\right)^{\frac{1}{a^3}} - \int_{a}^{a} \left(\frac{1}{a^3}\right)^{\frac{1}{a^3}} \left(\frac{1}{a^3}\right)^{\frac{1}{a^3}} \left(\frac{1}{a^3}\right)^{\frac{1}{a^3}} = \frac{1}{a^3} \left(\frac{1}{a^3}\right)^{\frac{1}{a^3}}$$
(4.1)

Если в общем решении (3.2) ограничиться перыми двумя приближениями, то из (3.11) получим

$$\Phi(z, \frac{a}{t}, t) = m_1 b + t + m_2 \varphi_0(t) + t + W(t, z) (n_1 b^3(z) + m_2 b^2(z) \varphi_0(z) + n_3 b(z) + (1 + m_2 b^2(z) \varphi_0(z) + n_3 b(z))$$
(4.2)

где

$$m_{1} = m_{1} (\alpha, \beta) = \frac{\sinh \alpha}{2\pi \sinh^{2} \alpha_{1} (\cosh \alpha - \cos \beta)} \left( \cosh \alpha_{1} - \cos \gamma_{1} \right) L (\alpha, \beta; \gamma_{1}) d\alpha$$

$$m_{2} = m_{2} (\alpha, \beta) = \frac{\sinh \alpha}{2\pi (\cosh \alpha - \cos \beta)^{3/2}} \left( \cosh \alpha - \cos \gamma_{1} \right)^{1/2} \Gamma (\alpha, \beta; \gamma_{1}) d\alpha$$

 $n_1 = n_2(2, \beta)$  определяются через  $m_1, m_2$ .

Пользуясь методом решения, изложенным выше и ограничиваясь только первыми двумя приближениями b(t) и  $\eta_{*}(t)$ , получим

$$b(t) = b_0(t) + ib_1(t) + O(\lambda^2), \quad \varphi_0(t) = \varphi_{00}(t) + i\varphi_{01}(t) + O(\lambda^2)$$

Подставляя (4.2) в (1.14). (4.1) и пользуясь (4.3), получим

$$b(t) = Z(t) + \left| Z(z) K(t, z) dz - \left| Z(z) + \left| Z(x) K(z, x) dx \right| \times R(t, z) dz + k_1 k_1 \left| g_*(t) - \left| g_*(z) K(t, z) dz \right| + O(t^2) \right|$$

FAC

$$Z(t) = k_{x}[k_{3}M(t) + ih(t)]$$

$$h(t) = \int N(t, z) (k_{4}b_{0} + k_{5}b_{0}^{2}\phi_{00} + k_{5}\phi_{0}^{2}\phi_{00} + k_{5}\phi_{00}^{2}) dz$$

$$g_{a}(t) = -\int N(t, z) Y(z) dz + \int (k_{3}b_{0} + k_{13}b_{0}\phi_{00} + k_{13}\phi_{00}) X(t, z) dz + \int (k_{3}b_{0} + k_{13}b_{0} + k_{13}b_{0}\phi_{00} + k_{13}\phi_{00}) X(t, z) dz$$

$$Y(t) = k_{13}b_{0} + k_{13}b_{0}\phi_{00} + k_{14}b_{0}\phi_{00} + k_{15}\phi_{00}$$

 $b_1(t)$ ,  $\phi_{00}(t)$  определяются из системы

$$b_0(t) - \int_0^t b_0(\tau) K(t, \tau) d\tau = k_{14} \left[ \varphi_{00} + \int_0^t \varphi_{00}(\tau) K(t, \tau) d\tau \right]$$

$$\varphi_{00}(t) = k_3 M(t) + k_{17} b_0(t)$$

постоянные и определяются через m<sub>ii</sub> m<sub>ii</sub>

§ 5. Исс. слование сходимости ряда (3.2). Для доказательства существования решения надо показать, что ряд (3.2), где коэффициенты  $\Phi$  ( $\alpha$ ,  $\beta$ , t) определяются из рекуррентных формул (3.11), сходится абсолютно и равномерно. Для этой цели оценим  $\Phi_a$  ( $\alpha$ ,  $\beta$ , t) в занисимости от  $\Phi$ . Зададимся фиксированным промежутком изменения времени  $\Phi_a$  ( $\alpha$ ,  $\alpha$ ) и положим

$$\max |K(t,\tau)| = K\tau, \quad \max |R(t,\tau)| = R\tau, \quad \tau_1 = \tau, \quad t \in T$$

Тогда из (3.6) следует, что

$$|N(t_{1},t)| \leq K_{T}(1 + R_{T}T) = N_{T}$$
 (5.1)

Вводя порму

$$||X|| = \max |X| + \sup \frac{|X(A) - X(B)|}{|AB|}$$

где A, B — произвольные точки внутри поперечного сечения стержия,  $0 < \delta < 1$ , при помощи априорных оценок Шаудера [6], которые в данном случае пишутся в виде

$$\|D^2\Phi_n\| \leqslant c_m, \forall_n\} \tag{5.2}$$

где  $c_*$  — некоторая постоянная, зависящая от формы области, получаем рекуррентную систему неравенств. Из (3.4), (3.5), (3.7), в силу (5.1) и (5.2) получим

$$\| \Phi_n \| \leqslant \gamma \sum_{k=0}^n \| \varphi_k \| q_{n-k}$$

где

$$p = \max_{\{a, \dots, a\}} \left\{ \int H^{-2} \left[ \int \frac{\partial}{\partial x} (H^{-2} + \frac{\partial}{\partial x}$$

Рассмотрим ряд с общим часном  $\iota'$  і л . Методом индукции можно показать, что  $\|\varphi_n\| \leqslant \|\varphi_0\| n$  ". Следовательно, ряд  $\sum_{n=0}^{\infty} |\varphi_n|$  и ряд (3.2) сходятся абсолютно и равномерно с радиусом сходимости  $\lambda = (364 \, \text{v} \|\varphi_0\|^2)$  ".

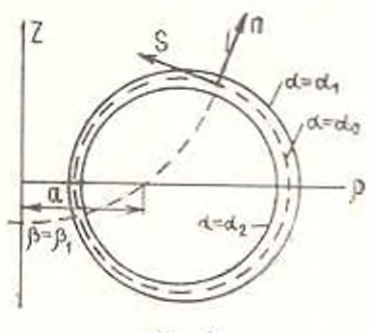
§ 6. Случай тонкостенной грубы. Рассмотрим тонкостенный разностенный стержень, сечение которого ограничено двумя неконцентрическими окружностями  $\alpha=\alpha$ , и  $\alpha=\alpha$ . (фиг. 3). Ввиду тонкостенности стержия положим, что касательные напряжения по ясей толщине стенки профиля

постоянны и направлены параллельно его средней линии. Отнесем сечение стержия к координатной системе (s, n), где s-координата, отсчитываемая вдоль средней линии профиля Г₀ от некоторой ее точки, а n-координа-

та, отсчитываемая по нормали к ней.  $\Gamma_0$  определяется через  $\alpha = \alpha_0$ , а систему  $(\alpha_1, \alpha_2)$  можно заменить системой  $(\alpha_1, \alpha_2)$ .

Ввиду тонкостепности стержня, как обычно. Ф принимаем линейной функцией от координаты. Полагая на внешлем контуре  $\Phi = 0$ , а на внутреннем  $\Phi_1(t)$ , найдем (2h(s)) толщипа стенки стержня)

$$\Phi = \frac{\Phi_1(t)}{2} \left[ 1 - \frac{2\pi}{h(s)} \right] \tag{6.1}$$



Фиг. 3.

Пренебрегая двойным интегралом в (1.14), получим

$$M(t) = 2\pi \cosh z_0 \sinh^{-3} z_0 \Phi_1(t)$$
 (6.2)

Пользуясь обобщенной формулой Бредта (2.1) и соотношениями (6.1) и (6.2), определяем

$$D(t) = \frac{a \sin^2 a_0}{2\pi^2 G \cot a_0} \int_{0}^{\infty} \frac{H}{r^3 h} \left[ M(t) - \int_{0}^{\infty} f(s_0) M(s) K(t, s) ds \right] d\beta \quad (6.3)$$

3zech

$$\sigma_0(t) = c$$
,  $(t) = \sinh^3 x_0 M(t) (2\pi \cosh x_0 c^2 h)^{-1}$   
 $h = h(3) = H(x_0, 3) (x_2 - x_0)$ 

Принимая M(t) = M — сопѕt и пользуясь (3.1) и (3.8), получим

$$D(t) = \frac{\sinh \frac{1}{2\pi a^2 G (a_0 - a_1)} \left[ (2 \cosh^2 a_0 - 3) + 3G \left( C_0 - \frac{A_1}{a_1} \right) [1 - e^{-\frac{1}{2}a(t - a_1)}] \times \right]}{\times \left[ (2 \cosh^2 a_0 + 3) + \lambda \left( \frac{\sinh a_0}{2\pi a^3 \cosh a_0} (a_0 - a_1) \right)^2 c^* \right]}$$
(6.4)

FAC

$$e^* = 2 \cosh^4 a_0 + 36 \cosh^4 a_0 + \frac{189}{2} \cosh^4 a_0 + \frac{105}{2} \cosh^2 a_0 + \frac{315}{64}$$

Рассмотрим задачу релаксации напряжений. В начальный момент стержню сообщим крутку  $D(\tau_1)$ , которая определяется формулой

$$D(\tau_1) = \sinh^2 z_0 (2 \cosh^2 z_0 + 3) M(\tau_1) [2\pi a^2 G(z_0 - z_1)]^{-1}$$
 (6.5)

Пользуясь обобщенной формулой Бредта (2.1), а также соотношениями (6.1), (6.2), (6.5) и принимая  $I(\sigma_n) = 1 + \lambda \sigma_n$  получим

$$\Phi_1(t) = \int \Phi_1(\tau) K(t, \tau) d\tau = \int \Phi_1^2(\tau) K(t, \tau) d\tau = g$$
 (6.6)

Гдė

$$\frac{7(16 \cosh^{6} \alpha_{0} + 120 \cosh^{4} \alpha_{0} + 90 \cosh^{2} \alpha_{0} + 5)}{8\pi a^{3} \sinh^{2} \alpha_{0} \cosh \alpha_{0} (2 \cosh^{2} \alpha_{0} + 3) (\alpha_{2} - \alpha_{1})}$$

$$\frac{GD(\tau_{1}) (\alpha_{2} - \alpha_{1}) a^{2} \sinh \alpha_{0}}{\cosh \alpha_{0} (2 \cosh^{2} \alpha_{0} + 3)}$$

Ограничиваясь первыми двумя приближениями, получим выражения крутящего момента

$$\frac{M(t)}{M(z_1)} = H_0(t, z_1) = I_1 \left[ H_1(t, z_1) - \int H_1(z, z_1) R(t, z_1) dz \right] + O(r_1)$$
 (6.7)

где

$$H_0(t, \tau_1) = 1 - 3G\gamma_0 \varphi(\tau_1) e^{-\tau_1} \int_C e^{-\tau_2} d\tau$$

$$H_1(t, \tau_1) = \int_{\tau_1}^t H_0(\tau_1, \tau_1) K(t, \tau_1) d\tau$$

$$r = \gamma_0 (1 + 3GC_0), \quad p = 3GA_1(0), \quad r_1 = r_*M(\tau_1) \sinh^3 \tau_0 (2\pi \cosh \sigma_0)^{-1}$$

Аналогичным образом, ограничиваясь в общем решении (3.2) первыми гремя приближениями, получим

$$\frac{M(t)}{M(z_1)} = H_0(t, z_1) + \left[ H_1(z_1 z_1) + (H_1(z_1 z_1) R(t, z_1) dz \right] + 2\lambda_1^2 \left[ H_2(t, z_1) + \int H_2(z, z_1) R(t, z_1) dz \right] + O(\lambda_1^3)$$
(6.8)

где

$$H_1(t, z_1) = \int \left[ H_0(z, z_1) H_1(z, z_1) + \int H_1(x, z_1) R(z, x) dx \right] K(t, z) dz$$

a R (t, s) определяется из (3.9).

Аля старого материала можно положить  $A_1=0$ . Гогда из уравнения (6.6) получим замкнутое решение

$$\frac{M(t)}{M(t_1)} = \frac{(g - x_1) x_1 - (g - x_1) x_2 e^{-x_1 (t - x_1)}}{g[g - x_2 - (g - x_1) e^{-x_2 (t - x_1)(t - x_1)}]}$$
(6.9)

где  $= 3GC_0 \gamma_0 t_*$ , а  $x_1$  и  $x_2$  - кории уравнения

$$\lambda_2 x^2 + \gamma_0 (1 + 3GC_0) x - g\gamma_0 = 0$$

Аналогичным образом, если принять (3.1), то решение получается в

$$\ln \left| \frac{\Phi_{1}(t) - \frac{1}{\Phi_{1}(t) + \frac{1}{2}\Phi_{1}(t) + \frac{1}{2}\Phi_{1}(t) + \frac{1}{2}\Phi_{1}(t) + \frac{1}{2}\Phi_{1}(t) - \frac{1}{2}\Phi_{1}$$

где

$$\xi = \sqrt[3]{-\frac{q}{2} + \sqrt{Q}} + \sqrt[3]{-\frac{q}{2} - \sqrt{Q}}, \quad Q = \left(\frac{p_1}{3}\right)^3 + \left(\frac{q}{2}\right)^2$$

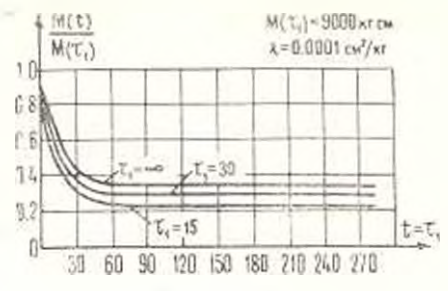
$$p_1 = a^6 \left(1 + 3GC_0\right) \sinh^4 a_0 (a_2 - a_1)^3 \left(2 \cosh^2 a_0 + 3\right) \left(3GC_0 hc^4\right)^{-1}$$

$$q = a^6 D(\tau_1) \left(a_2 - a_1\right)^3 \sinh^3 a_0 \left(3 \cosh a_0 C_0 hc^4\right)$$

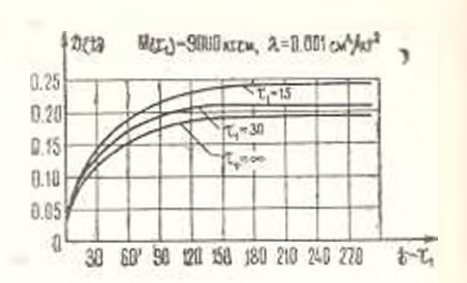
$$A_2 = -3GC_0 \gamma_0 c^4 \left\{ (a_2 - a_1)^2 a^4 \sin^2 a_0 \left(2 \cosh^2 a_0 + 3\right) \right\}^{-1}$$

На ЭВМ "ЕС—1022" при значении параметров сћ  $\alpha_0=3$ ,  $\alpha=61.8$  см,  $\alpha_2=\alpha_1-1.78$ ,  $\gamma_0=0.026-1/день$ ,  $3G=2\cdot10^\circ$  кг/см°,  $C_0=0.9\cdot10^{-1}$  см²/кг,  $A_1=4.82\cdot10$  см²,кг день дано решение задачи волзучести и о релаксации крутищего момента тонкостепного стержня. Вычисления показывают, что значения крутищих моментов, полученные при помощи формул (6.7) и (6.8), отличаются на 10, следовательно, в общем решении (3.2) уравнения (6.6) можно ограничиться первыми двумя приближениями. Кроме того, вычисления показывают, что значения крутищих моментов, полученные при помощи формул (6.9) и (6.10), почти сонпадают со значениями, полученными при помощи формулы (6.7) при больших значениях  $\gamma_1$ .

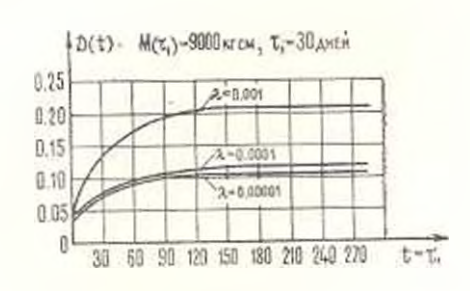
На фиг. 4 показано изменение крутящего момента по времени в записимости от возраста материала  $\tau$ , и продолжительности действия нагрузви  $l-\tau$ . На фиг. 5 и 6 показано изменение деформации ползучести при различных значениях  $\tau$ , и  $\lambda$ .







Dur. 5.



Dur. h.

За постановку задачи и постоянное внимание выражаю благодарность моему научному руководителю проф. М. А. Задояну.

Ереванский политехнический институт им. К. Маркса

Поступнаа 2 VI 1980

a ir. onthesum

## ԿՈՐ ՏԱՐԱՊԱՏ ԽՈՂՈՎԱԿԻ ՈՂՈՐՈՒՄԸ ՈՉ-ԳԾԱՏԻՆ ՄՈՎՔԻ ԳԵՊՔՈՒՄ

Ամփոփում

Ուսումնասիրվում է տարապատ կոր խողովակի ոլորումը ոչ-դծային ժառանդական սողջի հաչվառումով։ Օգտադործելով տորական կոորդինատ-հերը, կիսադարձային մեխոդով խնդիրը բերվում է ոչ-դծային ինտեզրո-ղի-ֆերենցիալ հավասարման՝ լարումների ֆունկցիայի նկատմամբ։ Այդ հավա-ֆերենցիալ հայաստելում է աստորձաների ֆունկցիայի նկատմամբ։ Այդ հավա-

Լուծված են սողքի և ռելաբսացիայի խնդիրները բարակապատ կոր խողովակի համար, և այդ դեպքերի համար կառուցված են դրաֆիկներ թվային օրինակների հիման վրա։

# THE TORSION OF A CURVILINEAR PIPE WITH DIFFERENT WALL THICKNESS LINDER NON-LINEAR CREEP

#### F. M. POLADIAN ...

### Summary

The torsion of a curvilinear pipe of different wall thickness with non-linear hereditary creep is investigated. By using the toroidal coordinates and the semi-reverse method the problem is reduced to the non-linear integro-differential equation with respect to the stress function.

The solution of this problem is sought in the form of a power series and the series convergence is shown. For a thin-walled curvilinear pipe the problem of creep and relaxation is solved and for these cases graphs are plotted on the basis of numerical examples.

### ANTERATVRA

- 1. Аругюнян Н. Х. Некоторые вопросы теории ползучести, М.—Л., ГИТТА, 1952.
- 2. Задови М. Л. Пластическое кручение неполного тора. Дока. All СССР, 1975. т. 223. № 2.
- 3. Задови М. А. Пластическое кручение сектора кольца. Изв. АП СССР, МГТ, 1977, № 1.
- Александрян Р. А., Аругюнян И. Х., Манукян М. М. Кручение тонкостенных стержней замкнутого профиля в условиях неустановившенся поляччести. ПММ. 1958, т. 22, в. 6.
- 5. Новожилов В. В. Теория упругости. М-А., Судстройнадат, 1962.
- 6. Кррант Р. Урарнения с частными производными. М., «Мир». 1965.

Մեխանիկա

XXXIV, № 2, 1981

Механика

#### С. Н. БОЯРЧЕНКО

## ВЫПУЧИВАНИЕ НЕОДНОРОДНОЙ ПО ТОЛЩИНЕ УПРУГОИ ПЛИТЫ

В трехмерной постановке исследуется устойчивость упругой плиты с переменным по толщине модумы упругости при комбинированном нагружении.

1. Рассмотрим плиту на несжимаемого неогуховского материала с модулем сдвига и, убывающим от торцов плиты к срединной поверхности д 0 по закону

$$\mu = \mu_0 \exp[r (|x_0| - h)]$$
  $(r > 0, n_0 = \text{const})$ 

где 🛂 — толшина плиты,

Докритическое состояние представляет собой конечную аффиниую деформацию, одна главная ось которой совпадает с осью х. Торцы плиты в этом состоянии незагружены. При указанных условиях уравнения нейтрального равновесия в перемешениях в мет; ике недеформированного тела имеют изд [1]:

Здесь т = 1. - набла-оператор отсчетной конфигурации,

 $i_k$  (k-1,2,3) — дипичные векторы, направленные по главным осям тензора  $U^*$ ; вектор  $w=i_a$  связан с нектором добавочного перемещения v соотношением  $w=v\cdot A^a$ , гле A — тензор поворота в докритическом состоянии; p, как и нектор w — неизвестная функция координат, появление которой обусловлено несжимаемостью материала;  $U^*$  — положительно определенный кнадратный корень из меры деформации Коши докритического состояния,

$$U^{\bullet} = i_1 i_1 i_1 + i_2 + i_1^{-1} i_2^{-1} i_3 i_3$$

Граничные условия при з. <u>...</u> h. выражающие отсутствие добавочтой нагрузки, имеют вид:

$$i_{1} \left( \nabla w + \rho U^{-1} + i_{1} - i_{2} U^{-1} \right) = 0 \tag{1.2}$$

Требуется отыскать соотношение между параметрами нагружения  $\lambda_1$  и  $\lambda_2$ , при котором краевая задача (1.1), (1.2) имсет нетривиальные решения. Пусть  $x_k$  (k=1,2,3) — декартовы координаты в недеформирован-

ном состоянии тела, оси которых направлены по ортам Введем безразмерные координаты  $\zeta_\kappa = x_\kappa/h$ , В координатах система уравнений (1.1) втносительно неизвестных  $u_\kappa$  и p примет вид:

$$\nabla^{2}u_{1} + i_{1} \partial_{1}p + t \operatorname{sgn}_{3}(\partial_{3}u_{1} + i_{1} i_{2} \partial_{1}u_{3}) = 0$$

$$\nabla^{2}u_{2} + i_{2}^{-1}\partial_{2}p + t \operatorname{sgn}_{3}(\partial_{3}u_{2} + i_{1}^{-1}i_{2} \partial_{3}u_{3}) = 0$$

$$\nabla^{2}u_{3} + i_{3}i_{2}\partial_{3}p + t \operatorname{sgn}_{3}(2\partial_{3}u_{3} + i_{1}i_{2}p) = 0$$

$$i_{1} \partial_{1}u_{1} + i_{2}^{-1}\partial_{2}u_{2} + i_{1} \partial_{3}u_{3} = 0$$
(1.3)

FAC

$$\begin{aligned}
\partial_k &= \frac{\partial}{\partial \zeta_k}; \quad \nabla = \partial_k \tilde{t_k} \\
t &= xh = \ln\left[\mu(h)/\mu(0)\right] 
\end{aligned} \tag{1.4}$$

Вместо (1.2) будем иметь при  $\zeta_1 = \pm 1$ 

$$\begin{aligned}
\sigma_{3}u_{1} + \lambda_{1}^{-1} r_{2}^{-1} \partial_{1}u_{3} &= 0 \\
\partial_{3}u_{2} + \lambda_{1}^{-1} \lambda_{2}^{-1} \partial_{2}u_{3} &= 0 \\
2\sigma_{3}u_{3} + \lambda_{1}\lambda_{2}p &= 0
\end{aligned} (1.5)$$

Решение краевой задачи (1.3), (1.5) будем искать в виде

$$u_{k} = f_{1}(\tau_{0}) \exp\{i(\alpha \tau_{1} + \beta \tau_{0})\} \quad (k = 1, 2, 3)$$

$$\rho = f_{1}(\tau_{0}) \exp[i(\alpha \tau_{1} + \beta \tau_{0})] \quad (1.6)$$

Тогда относительно функций  $f_*$  ( $\zeta_*$ ) ( $k=1,\ 2,\ 3,\ 4$ ) получим систему обыквоенных дифференциальных уравнении

$$f_{1} + t \operatorname{sgn} \zeta_{3} f_{1} - s f_{1} + i \alpha t \operatorname{sgn} \zeta_{3} \tilde{\epsilon}_{1}^{-1} \tilde{\epsilon}_{2}^{-1} f_{3} + i \alpha \tilde{\epsilon}_{1}^{-1} f_{4} = 0$$

$$f_{2} + t \operatorname{sgn} \zeta_{3} f_{2} - s f_{2} + i \beta t \operatorname{sgn} \zeta_{3} \tilde{\epsilon}_{1}^{-1} \tilde{\epsilon}_{2}^{-1} f_{3} + i \tilde{\epsilon}_{2}^{-1} f_{4} = 0$$

$$f_{3} + 2t \operatorname{sgn} \zeta_{3} f_{3} - s f_{3} + i \tilde{\epsilon}_{1}^{-1} \tilde{\epsilon}_{2}^{-1} \operatorname{sgn} \zeta_{3}^{-1} f_{4} = 0$$

$$i \alpha \tilde{\epsilon}_{1}^{-1} f_{1} + i \tilde{\epsilon}_{2}^{-1} f_{2} + i \tilde{\epsilon}_{1}^{-1} f_{3} = 0$$

$$(1.7)$$

rae  $s = \alpha^3 + \beta^2$ .

Характеристическое уранисние системы (1.7) имеет следующие корни:

а) при 5, > 0

$$n_{1,2} = -t/2 \pm 1$$
  $t^2/4$  s,  $n_1 = -t/2 \pm 1$   $T + X$ 

$$n_{5,6} = -t/2 \pm 1$$
  $T - X$ 

$$n_{1,2} = t/2 \pm 1 \ \overline{t^2 4 + s}$$
,  $n_{1,2} = t/2 \pm 1 \ \overline{T + X}$   
 $n_{2,6} = t/2 \pm 1 \ \overline{T - X}$ 

где

$$T = t^2/4 - s(1+z)/2, X = V s^2(1-z)^2 4 - t^2 sz$$

$$z = (2^2 + 3^2)^{-1} (1.8)$$

Обозначим решения в полуплоскости  $\zeta_1=0$  через  $u_k^+$ ,  $p^+$ , в позуплоскости  $\zeta_2<0$ — через  $u_k^-$ ,  $p^-$ . Заметим, что  $n_{ij}=n_{j+1}^+$ ,  $n_{jj+1}=n_{j+1}^+$ ,  $n_{j+1}=n_{j+1}^+$ , (l=1,2). Положим  $n_k=n_k^-$  ( $k=1,\ldots,6$ ). Будем предполагать, что среди  $n_k$  нет одимаковых корней. Случай кратных корней будет рассмотрен ниже.

Решения системы (1.3) будут иметь вид:

$$= [i_1 a^{-1} (A_1 e^{-i\tau} + A_2 e^{-i\tau}) + 2i_2 \sum_{i=2}^n A_i e^{-i\tau}] e^{i\pi i_1} e^{i\pi i_2}$$

$$u_i^{-1} (A_1 e^{-i\tau} + A_2 e^{-i\tau}) + 2i_3 \sum_{j=3}^n A_j e^{-i\tau}] e^{i\pi i_2} e^{i\pi i_3}$$

$$u_j = i^{-1} 2 \sum_{j=3}^n A_j e^{-i\tau} e^{i\pi i_2} e^{i\pi i_3}$$

$$p = \tilde{n}_3 i_2 sz \sum_{j=3}^n A_j [n_j] e^{-i\tau} e^{i\pi i_3}$$

$$(1.9)$$

TAC

$$[n] = (n_i + 2tn_i + s) (a_i - t)^{-1} n_j^{-1}$$

$$\vdots = \vdots, sen^{-1}, \qquad (1.10)$$

Константы  $A_1$  (k=1,...,6) сиязаны условиями неразрывности добавочных перемещений  $u_1$  и напряжений, действующих в срединной пло-скости плиты. Таким образом, при  $\Sigma_1=0$ 

$$u_1 - u_1, \quad u_2 = u_1, \quad u_3 = u_3$$

$$\partial_1 u_1 + i_1^{-2} i_2^{-1} \partial_1 u_1 = i_2 i_1 + i_2^{-1} \partial_1 u_2$$

$$\partial_2 u_2 + i_3^{-2} \partial_2 u_1 = i_3 i_2^{-2} \partial_2 u_1$$

$$2 \partial_1 u_3^{-1} + i_1 i_2 p = 2 \partial_1 u_1 + i_1 i_2 p \qquad (1.11)$$

Разобьем задачу на две независимых задачи, котпрые будем рассилиривать при  $\zeta_1>0$ 

А)  $u_{1,2}, p$  — четные функции,  $u_1$  — нечетная функция  $\zeta_1$ , то есть

$$u_{1,2} = [u_{1,2}(-1) + u_{1,2}(-1)]/2$$

$$u_3 = [u_3^{-1}(\zeta_3) - u_2^{-1}(-1)]/2; \quad p = [p^{-1}(\zeta_3) - p^{-1}(-1)]/2 \quad (1.12)$$

В)  $u_{1,2}, p$  — нечетные функции,  $u_3$  — четвая функции  $\frac{\pi}{3}$ , то есть

$$u_{1-2} = |u_{1-2}(\zeta_3) - u_{1-2}(-\zeta_3)|/2$$

$$u_3 = [u_3^+(\zeta_3) + u_3^-(-\zeta_3)]/2, \quad p = [p^-(\zeta_3) - p^-(-\zeta_3)]/2$$
 (1.13)

Задача (A) описывает симметричные, а задача (B) — антисимметричные твосительно срединной плоскости, или изгибные, формы бифуркации равновесия плиты.

Используя (1.9), (1.11)—(1.13), получим решения задач (А) и (В), оторые здесь ис приводятся в силу их громоздкости.

Удовлетворяя граничным условням (1.5) при  $c_0 = 1$ , пайдем для каждой из задач (A) и (B) уравнение для определения критического соотношения между  $\lambda_1$  и  $\lambda_2$ .

В задаче (А)

$$\sum_{i,j=1}^{n} \sum_{i=1}^{n} C_{i} [i, j] \exp(n_{i} + n_{i}) = 0$$
 (1.14)

FAC

$$C_{45} = n_{6} - n_{5}, \quad C_{46} = n_{5}, \quad C_{50} = n_{4} - n_{5}^{2}$$

$$C_{45} = n_{6} - n_{5}, \quad C_{46} = n_{5}, \quad C_{50} = n_{4} - n_{5}^{2}$$

$$[i, j] = (n_{1}^{2} - sz)(n_{2}^{2} + s)(n_{1} + t) - (n_{1}^{2} - sz)(n_{1}^{2} + s)(n_{1} - t)^{-1}$$

В задаче (В)

$$\sum_{i=3}^{5} \sum_{j=\pm 1}^{6} D_{i} \left[ i, j \right] n_{i}^{-1} n_{j}^{-1} \exp \left( n_{i} + n_{j} \right) = 0$$
 (1.15)

FAC

$$D_{31} = [n_8] - [n_5], \quad D_{35} = [n_4] - [n_6]$$

$$D_{35} = [n_5] - [n_4], \quad D_{45} = [n_6] - [n_3]$$

$$D_{45} = [n_3] - [n_5], \quad D_{45} = [n_4] - [n_3]$$

[л.] определяются (1.10).

Заметим, что, если

$$1 \le z \le 1 + 2t^2s^{-1} + 2ts^{-1/2} + t^2 + s$$

то кории п. и п., п. и п. будут комплексно-сопряженными. Нетрудно показать, что уравнения (1.14). (1.15) при атом не изменятся и коэффициенты их останутся действительными. При г = 0 уравнения (1.14) и (1.15) переходят, соответственно, в следующие уравнения:

$$(1+z)^2 \coth V sz = 4z^{3/2} \coth V s$$
  
 $(1+z)^2 \det V sz = 4z^{3/2} \det V s$ 

Положим  $y = n_1 + n_2 = n_4 - n_4$ . Тогда девые части уравнений (1.14), (1.15) можно рассматривать как функции  $F_1(n_1, n_2, y)$ ,  $F_1(n_1, n_2, y)$  от y. зависящие от  $n_2, n_3$  как от нараметров. Непосредственно проперяется, что y = 0 — двукратный корень уравнений (1.14), (1.15).

Пусть характеристическое уравнение системы (1.7) имеет кратные корни n, = n, n, = n (это единствению возможные кратные корни). Можно показать, что в этом случае уравнения для определения критического соотношения между  $h_1$  и  $h_2$  в задачах (A) и (B) будут эквивалентны уравнениям

$$\frac{\partial^{2}}{\partial y^{2}} F_{1}(n_{1}, n_{1}, y) \big|_{y=0} = 0$$

$$\frac{\partial^{2}}{\partial y^{2}} F_{2}(n_{2}, n_{4}, y) \big|_{y=0} = 0$$

Представляет интерес исследование устойчивости сильно неоднородной плиты, то есть решение задачи при больших значениях параметра t. Рассматривая возможные случан поведения функции z(t) при  $t \leftarrow \infty$ , получим, что единственно возможным является представление в виде ряда по степеням  $st \in \mathcal{A}$ ля вычисления коэффициентов ряда была составлена алгольная программа, которая, в частности, дает для обеих задач (A) и (B)

$$z(t) \sim 1 - 4st^{-2} - 12s^2t^{-1} - 88s^3t^{-6} - 856s^4t^{-6} + \dots$$

Значения переменной z зависят и от отношения толщины плиты к длине волны, возникающей в горизонтальной илоскости при потере устойчивости, которое входит в уравнения (1.14), (1.15) посредством параметра s. Можно показать, что, если s стремится к пулю при фиксированных параметрах t и h (что соотяетствует стремлению к бесконечности длины волны, возникающей  $\pi$  горизонтальной илоскости), то в задаче (A) z (s)  $\sim s^{-1}$ , а в задаче (B)

$$z(s) = 1 + 4st^{-2}(t^2 - 2t + 2(1 - e^{-t}))(1 - e^{-t})^{-1} + o(s)$$
 (1.16)

В случае однородной плиты ( $\ell=0$ ) в задаче (В)

$$z(s) = 1 + 4s/3 + o(s)$$

Если параметр s стремится к бесконсчности при финсированных значениях параметра i (то есть при стремлении к нулю длины полны), то решения уравнении (1.14), (1.15) стремятся к решению уравнения (z + 1)-—  $=4z^{-12}$ , отличному от единицы, откуда z = 11.3565.

Если неограниченно возрастает толщина плиты / при фиксированных вначеннях параметра и и длине волны, возникающей в горизонтальной проскости, то решения уравнений (1.14), (1.15) приближаются к решению гравнения

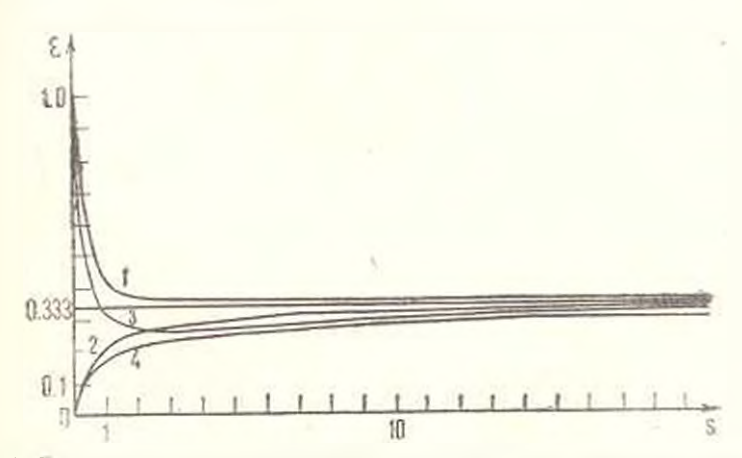
$$\ln n_3^2 - n_3 n_5 (z - 1) + x (x^2 - p^2) = h^2 (n_3 + n_3) (z - 1) + n_3 + n_5 = z = 0$$

в которого определяется критическое соотношение между  $\lambda$ , и  $\lambda$  в задаче стойчивости неоднородного полупространства.

Корин уравнений (1.14), (1.15) отыскивались численным методом. Результаты счета показали, что при конечных значениях параметра в и при малых или конечных значениях параметра в изгибные формы бифурнации равновесия возникают раньше, чем симметричные. При стремлении в бесконечности параметров в или в решения уравнений (1.14), (1.15) финатотически совпадают

Анния, составленияя из участкой кривых, наиболее близко располовенных к началу координат в плоскости  $\varepsilon$ ., ( $\varepsilon$  = 1 —  $\lambda_k$ ), отделяет ибласть устойчивости от области неустойчивости и называется пограничной. Оказывается, что пограничной является линия, составленная из кривой  $\varepsilon$  ( $\varepsilon$ ,) при  $\beta$  = 0 и  $\varepsilon$ <sub>1</sub> —  $\varepsilon$ , и кривой  $\varepsilon$ <sub>2</sub> ( $\varepsilon$ <sub>3</sub>) при  $\alpha$  = 0 и  $\varepsilon$ <sub>4</sub>  $> \varepsilon$ <sub>4</sub>. Повраничные кривые расположены симметрично относительно прямой  $\varepsilon$ <sub>5</sub> =  $\varepsilon$ <sub>62</sub>= $\varepsilon$ <sub>7</sub>. Точка пересечения пограничных кривых с прямой  $\varepsilon$ <sub>1</sub> =  $\varepsilon$ <sub>2</sub> связана с кориями уравиений (114), (1.15) соотношением  $\varepsilon$  = 1 ( $\varepsilon$ ( $\varepsilon$ <sub>1</sub>,  $\varepsilon$ <sub>2</sub>).

Зависимость r(s) показана на фиг. 1 для значений нараметра l=0 в l=1.



Фиг. 1. График зависимости є (s). Цифрами 1, 2 обозначены решения задач (A) и (B) для однородной плиты, цифрами 3, 4 — для веоднородной плиты.

С ростом параметра I точка  $I = -\epsilon$  как и задаче (A), так и в задаче (B), смещается к началу координат вдоль прямой  $\epsilon_1 - \epsilon_2$ , начиная от  $\epsilon = -\epsilon$  для однородной плиты (I = 0). Изменение положения пограничных ривых в зависимости от значений параметра — показано на фиг. 2 для изновных форм бифуркации равновесия плиты. Как следует из полученных изультатов, неоднородность уменьшает жесткость плиты в целом по сравенню с сднородной плитой.

Сравним полученное строгое решение задачи устойчивости с результатами прикладной теории выпучивания оболочек и пластии, основанной на гипотезах Кирхгофа [3]. В рамках этой теории анализ изгибных форм бифуркации равновесия сжатой плиты сводится к решению следующего уравнения дли прогиба срединной

поверхности  $w(x_1, x_2)$ :

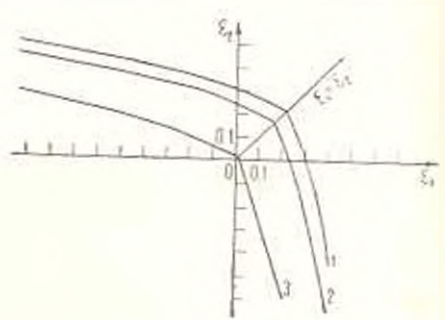
$$\left( (1 - \lambda_1^{-4} \lambda_2^{-2}) \frac{\partial^2 w}{\partial x_1^2} + \right.$$

$$+ (1 - \lambda_1^{-2} \lambda_2^{-4}) \frac{\partial^2 w}{\partial x_2^2} \right) \times$$

$$\times \int_0^h \mu(x_3) dx_3 - \left( (2 - \lambda_1 + \frac{1}{2} \lambda_2^{-1}) (\lambda_1 + \frac{1}{2} \lambda_2^{-1}) \times \right.$$

$$\times \lambda_1^{-2} \frac{\partial^3}{\partial x_1^2} \left( \lambda_1^{-2} \frac{\partial^3 w}{\partial x_1^2} + \lambda_2^{-1} \lambda_2^{-1} \right) \times$$

$$+ (2 - \lambda_2 + \lambda_1^{-1} \lambda_2^{-1}) \times$$



Фис. 2. Зависимость пограничных кривых от параметра t для изгибных форм бифуркации равновесия плиты. Кривая 1 соответствует запласиню t 0, 2-t=1, 3-t=30.

$$\times \left(i_{2}+i_{1}^{-1}i_{2}^{-1}i_{2}^{-1}i_{2}^{-1}\right)i_{2}^{-2}\frac{\partial^{2}}{\partial x_{2}^{2}}\left(i_{1}^{-2}\frac{\partial^{2}w}{\partial x_{1}^{2}}+i_{2}^{-1}\frac{\partial^{2}w}{\partial x_{2}^{2}}\right)\int_{0}^{t}v\left(x_{1}\right)x_{2}^{2}dx_{1}=0 \quad (1.17)$$

Если уравнение (1.17) линеаризовать относительно начальных деформаций  $\varepsilon_R = 1 - \lambda_e$ , то в случае однородной плиты (и – const) придем к классическому уравнению Сен-Венана [4].

$$4/3 h^2 r^4 w \alpha - \Delta \cdot T \cdot r \tau v = 0$$

где Т- тензор напряжений Коши.

Представляя w в виде  $w=w_0e^u$  из (1.17) получим уравнение для определения критического соотношения между  $\ell_1$  и  $\ell_2$  в принятых рансе обозначениях

$$(1-z) t^{2} (1-e^{-t}) + zs \left(z-2z \lambda_{1} \lambda_{2}-1+\frac{2}{s} (\lambda_{1}^{-1} z^{2}+\lambda_{2}^{-1} \beta^{2})\right) (t^{2}-2t+2(1-e^{-t})) = 0$$

$$(1.18)$$

При  $\lambda_1 = \lambda_2 = \lambda$  получим асимптотическую формулу

$$L(s) = 1 - \frac{2}{3} st^{-2} (t^2 - 2t + 2(1 - e^{-t})) (1 - e^{-t})^{-1} + o(s)$$
 (1.19)

которая совпадает с формулой (1.16), если последнюю записать отпосительно  $\lambda = z^{-1/6}$ .

Пусть  $t_1 \neq t_2$ . Обозначим  $t_2 = k t_1$  — где  $\tau$  произвольные фиксированные неличины. Тогда  $z = z_0$ , где  $z_0 = (1 + k^{-2})$   $\times (1 +$ 

Пусть  $\lambda_1 = \lambda_{10} + 1_{11} + 1_{12} + \dots$ . Приравнивая нулю члены порядка  $\mathfrak{a}^0$  и  $\mathfrak{a}_1$  из обоих уравнений (1.16) и (1.18) получим  $\lambda_{10} = k^{-2} \cdot z_0^{16}, \ \lambda_{11} = 0$ .

Рассмотрим теперь члены порядка α<sup>2</sup>. Из уравнения (1.16) будем иметь

$$V_{12} = -\frac{9}{3}t^{-2}(1 - e^{-t})^{-1}(t^2 - 2t + 2(1 - e^{-t}))(1 + \chi^2)V_{10}$$
 (1.20)

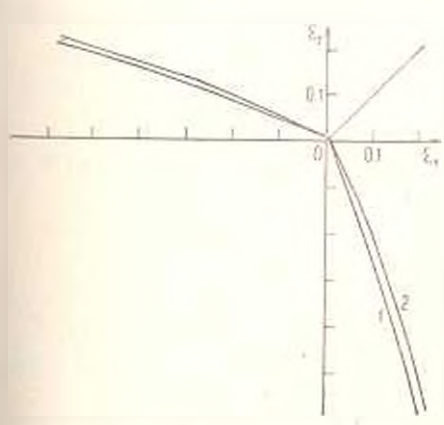
Уравнение (1.18) даст значение

$$\lambda_{12} = -\frac{1}{3} t^{-1} (1 - e^{-t})^{-1} (t^2 - 2t + 2(1 - e^{-t})) (1 - \gamma^2) + (k k_{10} - e^{-t})^{-1} (1 + \gamma^2)^{-1}$$

$$+ \lambda_{10} (1 + \gamma^2)^{-1} (1 + \gamma^2)^{-1}$$

$$(1.21)$$

Из формул (1.20) и (1.21) следует, что как при  $\beta=0$  (то есть  $\gamma=0$ ) и k=1, так и при  $\alpha=0$  (то есть  $\gamma\sim\infty$ ) и k<1,  $\lambda_{12}>\iota_{12}$ , следовательно,  $\varepsilon^k_{-2}>\iota_{1,2}$ , го есть пограничная кривая, полученная с использованием гипотез Кирхгофа, лежит выше истинной пограничной кривой, если  $\varepsilon,\neq\varepsilon$ . Эти две кривые имеют единственную общую точку  $\varepsilon=\varepsilon_2$ . Гаким образом, в случае равномерного сжатия тонкой плиты теория Кирхгофа зает результаты, близкие к истиниым, при комбинированном нагружении вта теория дает завышенные результаты для инзшей критической нагрузки даже в случае тонкой плиты. На фиг. 3 показаны истиниая пограничная



Фиг. 3. Цифрой 1 обозначена истипная пограничи и криван, цифрой 2 — криван, посчитация по гипотезии Кирхгофа.

криная и пограничная кривая, посчитанная по теории Кирхгофа для аначений параметров / 1, s 0.01.

Если определить критические значения параметров нагружения численным методом непосредственно из формулы (1.18), то даже в случае равномерного сжатия теория Кирхгофа дает занышенные результаты, погрешность которых увеличивается с ростом параметра s. Так, при  $s \sim 10^{-1}$  эта погрешность составляет около  $0.001^{\circ}/_{0}$ , при  $s \sim 10^{-2}$  около  $0.006^{\circ}/_{0}$ . при  $s \sim 10^{-1}$  около  $0.80^{\circ}/_{0}$  по сравнению с точным решением задачи.

2. Приведем примеры конкретных задач, которые можно решить описанным выше методом.

Негрудно показать, что, если

$$u_k = f_k(\zeta_3) \exp[i(2\zeta_1 - \beta\zeta_2)], \quad p = f_k(\zeta_3) \exp[i(2\zeta_3 + \beta\zeta_2)]$$

- решения системы (1.3), то  $v_k = \ell_1 \left( \frac{\pi}{4} \right) \exp \left[ i \left( \frac{\pi}{4} \right) \right] = \frac{2\pi i}{2\pi i}$ 

$$p = f_4(\zeta_3) \exp[i(\pm 1, 2, 3)]$$
  $(k = 1, 2, 3)$ 

и любая их линенная комбинация тоже является решением системы (1.3) В частности, решениями будут

$$u_1 = f_1(x_3) \sin x_1^2 \cos 3x_3, \quad u_2 = f_2(x_3) \cos x_3 \sin p_{-2}$$

$$u_3 = -f_3(x_3) \cos x_1^2 \cos 3x_2, \quad p = -f_4(x_3) \cos x_1^2 \cos 3x_2 \tag{2.1}$$

а также

$$u_1 = f_1(f_2)\cos - \sin X_2, \quad u_2 = f_2(f_3)\sin x_1 \cos$$

$$u_3 = f_1(f_3)\sin x_1 \sin 8f_2, \quad p = f_1(f_3)\sin x_2 \sin x_3 \cos$$
(2.2)

Рассмотрим прямоугольную илиту —  $b \in \mathbb{I}_2 \leq b$ . Положим  $a = m\pi_k^* a$ ,  $S = n\pi_k^* b$ . Тогда решения (2.1) удовлетворяют на боковой поверхности плиты следующим граничным условиям:

1) в задаче (А)

$$u_1 = 0$$
,  $R_{12} = 0$  при  $I_1 = -a$ 
 $u_2 = 0$ ,  $R_{21} = 0$  при  $I_2 = \pm b$ 

Здесь

$$\mathcal{R}_{pq} = R + \frac{1}{R_p} + \frac{1}{2}$$

$$\mathcal{K}^* = \mu \left( \nabla w + pU^{-1} + \kappa_1 \tilde{\nu}_2^{-2} U \right)$$

$$\mathcal{K}^{*T} + A^* \cdot \left| \frac{1}{R} D^* \left( R + \tilde{\eta} \tilde{\nu} \right) \right|_{T=0}$$
(2.3)

R — раднус-пектор частицы в докритическом состоянии, D — тенлор напряжений Пиола, ц — малый параметр;
2) в задаче (B)

$$u_3 = 0$$
,  $R_{13} = 0$  npu  $\frac{a}{3} = a$   
 $u_2 = 0$ ,  $R_{23} = 0$  npu  $\frac{a}{2} = a$ 

Следовательно, решения (2.1) описывают выпучивание плиты со «скольвящей заделкой».

Решення (2.2) удоваетворяют на боковой поверхности плиты следующим граничным условиям в задиче (В):

$$u_2 = 0$$
,  $u_3 = 0$ ,  $M_{11} = 0$  npx =  $u$   
 $u_1 = 0$ ,  $u_3 = 0$ .  $M_{22} = 0$  npx  $u$ 

LAC

$$M_{ij} = M_{ij}$$
  $\tilde{M}_{ij} = + \sqrt{\tilde{i}_{ij}} \cdot K^* \zeta_{ij} d_{ij}$ 

Таким образом, решения (2.2) описывают изгибные формы бифуркации равновесия шариирно опертой плиты.

Если  $\lambda_1=\lambda_2=\lambda_3$  то задача инвариантна относительно любого поворота координатных осен вокруг осн  $O_{p_2}^p$ . Кроме того, решение дависит от тараметров  $\alpha_1$  р только посредством комбинации  $\gamma=1$   $\alpha^2+|\gamma^2|$ . Из сказанного следует, в частности, что критическому зиачению  $\lambda$  соответствует понтинуум решений

$$p = f_{\ell}(\gamma) \exp(i\gamma \gamma)$$

где  $\frac{1}{2} = \cos \cos \phi$ ,  $\frac{1}{2} = r \sin \phi$ , а  $\phi$  — любое действительное число. Обозначи  $\zeta_1 = r \cos \phi$ ,  $\frac{1}{2} = r \sin \phi$  и новымем такую липейную комбинацию указанных решений:

$$p = \frac{1}{2} f_4(\zeta_3) \int_{\zeta_3 - 2\pi}^{\pi} \exp \left[ \dot{r}_1 r \sin \left( \psi - z_3 \right) \right] d\varphi = f_4(\zeta_3) f_0(\gamma_3)$$
 (2.4)

Здесь использовано известное [2] питегральное представление бесселевой рункции. Липейная комбинация (2.4) дает осесимметричные решения.

Рассмотрим задачу об осесимметричной бифуркации равновесия круглои плиты радиуса а из неогуковского материала, сжатой по боковой поверхности равномерным давлением.

Пусть r,  $\ell_1 = \mu_1$  дилиндрические координаты недеформированной плиты;  $e_{r_1} = e_{s_1}$ ,  $\ell_2 = 0$  соотнетствующие им базисные векторы.

Дли осесимметричных форм бифуркации = 70 . О Используя (2.4) и уравнения нейтрального равновесия в цилиндрических координатах [1], получим

$$u_1 = f_1(x_0) f_1(x_0)$$
  
 $u_2 = f_2(x_0) f_2(x_0)$ 

Если выбрать  $\gamma$  так, чтобы f(a) = 0, то ка боковой поверхности r = a  $u_1 = 0$ . Пусть  $\gamma_a = \alpha$  нули функции  $f(\gamma a)$ . Положим  $\gamma_a = \gamma_a$ . Тогда для каждого номера  $\alpha$  будем иметь решение

$$u_{1n} = f_{1n}(\zeta_3) \int_1 (\gamma_n r)$$

$$u_{3n} = f_{3n}(\zeta_3) \int_0 (\gamma_n r)$$

$$p_n = f_{4n}(\zeta_3) \int_0 (\gamma_n r)$$

Решения (2.5) удовлетворяют на боковой поверхности плиты следующим краевым условиям: в задаче (А)

$$u_{in} = 0$$
,  $M_{r0} = 0$  при  $r = a$ 

2) я задаче (В)

$$u_{t_0} = 0$$
,  $R_0 = 0$  при  $r = a$ 

где

$$R_{r3} = \tilde{R}_{r} \cdot i_{3}, \qquad M_{r3} = M_{r} \cdot i_{3}$$

$$R_{r} = \int_{-e^{-r}}^{1} e^{-r} K^{*} d_{3}^{r}, \qquad M_{r} = \int_{-e^{-r}}^{1} e^{-r} K^{*} f_{3} d_{3}^{r}$$

К определяется (2.3), где

$$\nabla = \frac{\partial}{\partial r} \stackrel{?}{e_i} + \frac{1}{r} \frac{\partial}{\partial \theta} \stackrel{?}{e_i} + \frac{\partial}{\partial z_3} \stackrel{?}{i_3}, \quad = i_2 = k$$

$$w = u_1 e_r + u_3 i_3; \quad U^{-1} = i^{-1} e_r e_r + i^2 i_3 i_3$$

Решения (2.5) описывают осесимметричную бифуркацию равновеска круглой плиты со скользящей заделкой» по боковой поверхности. При малой толщине плиты такие краевые условия соответствуют жестко защемленной пластинке.

Автор благодарит А. М. Зубова за постановку задачи и внимание к работе.

Ростолский государственный университет

Поступила 11 111 1980

#### Ա. Ե. ՔՈՏԱՐՉԵՆԿՈ

## ens Հանցութցան Անշատաներ ԱՌԱՉԳԱԿԱՆ ՍԱԼԻ ՈՒՌՈՒՑԻԿԱՆԱԼԸ

նռաշափ դրվածրով ուսումնասիրվում է ըստ Շաստաք<mark>կունը կոմրինաց-</mark> առաձվականու**կ**կան մոդուլով առաձղական սալի կայունու<mark>կկունը կոմրինաց-</mark> ված բեռնավորման դեպքում։

## BUCKLING OF AN ELASTIC PLATE NON-HOMOGENEOUS IN THICKNESS

#### S. I. BOYARCHENKO

### Summary

The stability of an elastic plate with a modulus of elasticity variable in thickness under combined loading is investigated in three-dimensional representation.

#### ANTEPATYPA

- 1. Зубов Л. М. Выпучивание пластинок из неогуковского материала при аффинной начальной деформации. ПММ, 1970, т. 34, вып. 4.
- 2. Никифоров А. Ф., Уваров В. Б. Освовы теории специальных функций. М., «Наука». 1974, стр. 178—180.
- 3. Зубов Л. М. Теория малых деформаций предварительно напряженных тоиких обслочек. ПММ, 1976, т. 40, вып. 1.
- 4. Тимошенко С. П. Устойчивость упругих систем. М., Гостехиздат, 1955.